

# Geometria e Topologia Differenziale

A.A. 2024-2025

SIMONE SACCANI

# CURVE

Curve e superfici = "buoni sottoinsiemi di  $\mathbb{R}^3$ "

Per le curve, conviene partire da

**Def.** Sia  $I \subseteq \mathbb{R}$  intervallo qualunque

$$\alpha: I \rightarrow \mathbb{R}^3 \quad C^\infty : \alpha(t) = (x(t), y(t), z(t)), t \in I$$

$x, y, z$  funzioni  $C^\infty$  (se  $I$  non è aperto, sono restrizioni di f.ni  $C^\infty$  su un aperto che contiene  $I$ )

$\alpha$  è una curva parametrizzata

$\alpha(I) \subseteq \mathbb{R}^3$  è la traccia

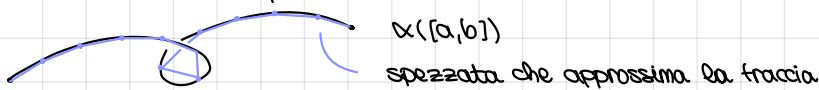
**Def.** Il vettore velocità è

$$\alpha'(t) = \lim_{\varepsilon \rightarrow 0} \frac{\alpha(t+\varepsilon) - \alpha(t)}{\varepsilon} = (x'(t), y'(t), z'(t))$$

**ESEMPIO**  $\alpha: [0,1] \rightarrow \mathbb{R}^3$ ,  $\alpha(t) = (t, t^2, t^3)$

$$\alpha'(t) = (1, 2t, 3t^2)$$

$\alpha: [a,b] \rightarrow \mathbb{R}^3$  curva parametrizzata



FATTO: se la lunghezza max di un segmento tende a 0

la lunghezza della spezzata tende a

$$l(\alpha) = \int_a^b \|\alpha'(u)\| du \quad (\text{lunghezza di } \alpha) \quad (*)$$

OSS: la lunghezza di  $\alpha$  dipende solo dalla traccia

Introduciamo la def. formale di lunghezza di  $\alpha$  tramite (\*)

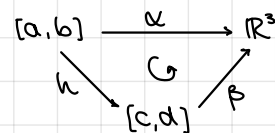
A aspettiamo che, se  $\beta: [c,d] \rightarrow \mathbb{R}^3$  c.p. con  $\beta([c,d]) = \alpha([a,b])$ ,

$$\text{allora } l(\alpha) = l(\beta)$$

Verifichiamolo quando  $\beta$  è una riparametrizzazione di  $\alpha$

**Def.**  $\beta$  c.p. si dice riparametrizzazione di  $\alpha$  c.p.

se  $\exists h: [a,b] \rightarrow [c,d] \subset \mathbb{R}$  con  $h'(t) \neq 0$  t.c.  $\beta \circ h = \alpha$



Verifichiamo che  $l(\alpha) = l(\beta)$ :

$$\alpha(t) = \beta(h(t)) \Rightarrow \alpha'(t) = h'(t) \beta'(h(t)) \quad \int_a^b \|\alpha'(u)\| du = \int_a^b \|h'(u)\| \|\beta'(h(u))\| du$$

$$l(\alpha) = \int_a^b \|\alpha'(u)\| du = \int_a^b \|h'(u)\| \|\beta'(h(u))\| du = \begin{cases} s=h(t) & \int_c^d \|\beta'(s)\| ds \\ h' > 0 & = l(\beta) \\ h' < 0 & = - \int_d^c \|\beta'(s)\| ds = l(\beta) \end{cases}$$

□

Se  $h' > 0$ ,  $h$  crescente, quindi  $h(a) = c, h(b) = d$

Se  $h' < 0$ ,  $h$  decrescente, quindi  $h(a) = d, h(b) = c$

**ESEMPIO** (1)  $P, Q \in \mathbb{R}^3, P \neq Q$

$$\alpha(t) = P + t(Q-P), t \in [0,1]$$

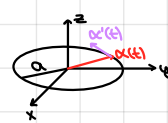
$$\alpha'(t) = Q - P = \overrightarrow{PQ} \quad \|\alpha'(t)\| = \|Q - P\|$$

$$l(\alpha) = \|Q - P\|$$

(2)  $\alpha: [0, 2\pi] \rightarrow \mathbb{R}^3, \alpha(t) = (a \cos t, a \sin t, 0), a > 0$

$$\alpha'(t) = (-a \sin t, a \cos t, 0) \quad \|\alpha'(t)\| = a$$

$$l(\alpha) = 2\pi a$$



**Def.** Una c.p.  $\alpha: [a, b] \rightarrow \mathbb{R}^3$  si dice **regolare**, se  $\alpha'(t) \neq 0 \quad \forall t \in [a, b]$

**Proposizione** Data  $\alpha: [a, b] \rightarrow \mathbb{R}^3$  curva regolare,  
esiste una riparametrizzazione  $\beta: [0, l(\alpha)] \rightarrow \mathbb{R}^3$   
t.c.  $\|\beta'(s)\| = 1 \quad \forall s \in [0, l(\alpha)]$

**DIMOSTRAZIONE**

Voglio  $[a, b] \xrightarrow{\alpha} \mathbb{R}^3$

$$\begin{array}{ccc} & s & \\ \searrow & & \nearrow \beta \\ & [0, l(\alpha)] & \end{array}$$

$$s(t) = \int_a^t \|\alpha'(u)\| du, \quad t \in [a, b]$$

$$s'(t) = \|\alpha'(t)\| > 0 \quad s(a) = 0, \quad s(b) = l(\alpha)$$

$$\Rightarrow \exists \varphi: [0, l(\alpha)] \rightarrow [a, b] \text{ C}^\infty \text{ t.c. } s(\varphi(s)) = s \quad \forall s, \varphi(s(t)) = t \quad \forall t$$

$$\text{Definisco } \beta(s) := \alpha(\varphi(s)) \quad \alpha(t) = \beta(s(t)) \quad \forall t \in [a, b]$$

$$\alpha'(t) = s'(t) \cdot \beta'(s(t))$$

$$\text{quindi } \|\beta'(s(t))\| = \frac{1}{|s'(t)|} \|\alpha'(t)\| = 1$$

□

**ESEMPIO** (1)  $\alpha(t) = P + t(Q - P)$

$$\alpha'(t) = Q - P \quad \text{quindi } \alpha \text{ è regolare} \Leftrightarrow P \neq Q$$

$$s(t) = \int_0^t \|Q - P\| du = t \|Q - P\| \quad \varphi(s) = \frac{s}{\|Q - P\|}$$

$$\beta(s) = \alpha(\varphi(s)) = P + s \frac{Q - P}{\|Q - P\|} \quad \text{è la rip. p.l.a. di } \alpha$$

(2)  $\alpha(t) = (\alpha \cos t, \alpha \sin t, 0) \quad \alpha'(t) = (-\alpha \sin t, \alpha \cos t, 0) \quad \|\alpha'(t)\| = \alpha > 0$

quindi  $\alpha$  è regolare e ammette rip. p.l.a.

$$s(t) = \int_0^t \|\alpha'(u)\| du = t\alpha, \quad \varphi(s) = \frac{s}{\alpha}$$

$$\beta(s) = \alpha(\varphi(s)) = (\alpha \cos(\frac{s}{\alpha}), \alpha \sin(\frac{s}{\alpha}), 0)$$

**Def.** Una curva par.  $\beta: I \rightarrow \mathbb{R}^3$  si dice **p.l.a.** (parametrizzata per lunghezza d'arco)

se  $\|\beta'(s)\| = 1 \quad \forall s \in I$

**Oss.** In generale, la rip. p.l.a. di una curva regolare non si può calcolare esplicitamente

**ESEMPIO**  $\alpha: [0, 1] \rightarrow \mathbb{R}^3 \quad \alpha(t) = (t, t^2, t^3) \quad \alpha'(t) = (1, 2t, 3t^2) \Rightarrow \alpha$  è regolare

quindi esiste rip. p.l.a.  $\beta: [0, l(\alpha)] \rightarrow \mathbb{R}^3$

$$s(t) = \int_0^t \sqrt{1+4u^2+9u^4} du \quad \text{non è semplice...}$$

**ESEMPIO** (elica)

$$F: \mathbb{R}^2 \rightarrow \mathbb{R}^3 \quad F(u, z) = (\alpha \cos u, \alpha \sin u, z) \quad \alpha > 0$$

$$\alpha: \mathbb{R} \rightarrow \mathbb{R}^3 \quad \alpha(t) = F(t, bt) \quad (b \text{ "passo" dell'elica})$$

$b > 0$  elica destrorsa,  $b = 0$  circonferenza,  $b < 0$  elica sinistrorsa

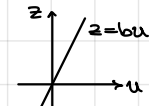
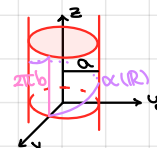
$$\alpha(t) = F(t, bt) = (\alpha \cos t, \alpha \sin t, bt)$$

$$\alpha'(t) = (-\alpha \sin t, \alpha \cos t, b) \quad \alpha'(t) \cdot \alpha'(t) = \alpha^2 + b^2 > 0 \Rightarrow \alpha \text{ regolare}$$

$$s(t) = \int_0^t \|\alpha'(u)\| du \quad S: \mathbb{R} \rightarrow \mathbb{R}, \quad S'(t) > 0 \quad \text{con inversa } \varphi: \mathbb{R} \rightarrow \mathbb{R}$$

$$\Rightarrow s(t) = t \sqrt{\alpha^2 + b^2} \quad \varphi(s) = \frac{s}{\sqrt{\alpha^2 + b^2}}$$

$$\beta(s) = \left( \alpha \cos \left( \frac{s}{\sqrt{\alpha^2 + b^2}} \right), \alpha \sin \left( \frac{s}{\sqrt{\alpha^2 + b^2}} \right), \frac{bs}{\sqrt{\alpha^2 + b^2}} \right)$$



NOTA Se  $\alpha: [a, b] \rightarrow \mathbb{R}^3$ , allora detto  $\ell(\alpha) = \int_a^b \|\alpha'(u)\| du$

Questo valore non dipende dalla traccia, ma serve che  $\alpha$  sia iniettiva.

**Def.** Sia  $\beta: [0, l] \rightarrow \mathbb{R}^3$  curva pla

Allora chiamiamo  $T(s) = \beta'(s)$  il versore tangente.

**Def.**  $K(s) = \|T'(s)\|$  è la curvatura di  $\beta$  in  $\beta(s)$

**ESEMPIO** (1)  $\beta: [0, 2\pi a] \rightarrow \mathbb{R}^3$ ,  $\beta(s) = (a \cos(\frac{s}{a}), a \sin(\frac{s}{a}), 0)$

Allora  $T(s) = \beta'(s) = (-\sin(\frac{s}{a}), \cos(\frac{s}{a}), 0)$

$$T'(s) = \frac{1}{a} (-\cos(\frac{s}{a}), -\sin(\frac{s}{a}), 0) \Rightarrow K(s) = \|T'(s)\| = \frac{1}{a} \text{ costante}$$

Quindi più grande è la circonferenza, più piccola è la curvatura, e viceversa.

(2)  $P, Q \in \mathbb{R}^3$ ,  $P \neq Q$ ,  $\beta: [0, \|P-Q\|] \rightarrow \mathbb{R}^3$ ,  $\beta(s) = P + s \frac{Q-P}{\|Q-P\|}$  segmento pla

Allora  $T(s) = \frac{Q-P}{\|Q-P\|}$  e dunque  $K(s) = \|T'(s)\| = 0$

**Oss.** Se  $\beta: [0, l] \rightarrow \mathbb{R}^3$  pla con  $K(s) = \|T'(s)\| > 0$ ,

il vettore  $N(s) = \frac{T'(s)}{\|T'(s)\|}$  è ben definito

**Def.**  $N(s)$  è il versore normale di  $\beta$  pla in  $\beta(s)$

**Lemma**  $f, g: [a, b] \rightarrow \mathbb{R}^3 \subset \mathbb{C}^\infty$ , allora

$$[f(t) \cdot g(t)]' = f'(t)g(t) + f(t)g'(t)$$

**DIMOSTRAZIONE**

$f = (f_1, f_2, f_3)$ ,  $g = (g_1, g_2, g_3)$ , allora basta derivare

$f(t) \cdot g(t) = \sum_{i=1}^3 f_i(t)g_i(t)$  e allora

$$[f(t) \cdot g(t)]' = [\sum_{i=1}^3 f_i(t)g_i(t)]' = \sum_{i=1}^3 f'_i(t)g_i(t) + f_i(t)g'_i(t) = f'(t)g(t) + f(t)g'(t)$$

□

Ora osserviamo che  $T(s) \cdot T(s) = 1$ , dunque  $[T(s) \cdot T(s)]' = 0$

e d'altra parte  $[T(s) \cdot T(s)]' = 2T'(s) \cdot T(s) = 2K(s)N(s) \cdot T(s)$

$$\Rightarrow N(s) \cdot T(s) = 0$$



I equazione di Frenet

$$T'(s) = K(s)N(s)$$

**Def.** Per  $K(s) > 0$ ,  $B(s) = T(s) \times N(s)$  è il versore binormale di  $\beta$  in  $\beta(s)$

NOTA

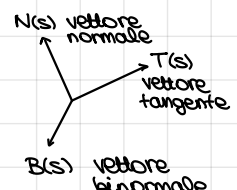
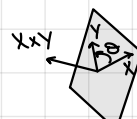
$$\mathbb{R}^3 \times \mathbb{R}^3 \rightarrow \mathbb{R}^3$$

$$\begin{pmatrix} x_1 \\ x_2 \\ x_3 \end{pmatrix} \times \begin{pmatrix} y_1 \\ y_2 \\ y_3 \end{pmatrix} = \begin{pmatrix} x_2y_3 - x_3y_2 \\ x_3y_1 - x_1y_3 \\ x_1y_2 - x_2y_1 \end{pmatrix}$$

$$\text{allora } (X \times Y) \cdot X = (X \times Y) \cdot Y = 0$$

$$\text{Inoltre } \|X \times Y\| = \|X\| \|Y\| \sin \theta \text{ dove } \theta \in [0, 2\pi]$$

Di conseguenza  $\|B\| = 1$



**Def.**  $(T(s), N(s), B(s))$  è una base ortonormale, detta **riferimento di Frenet**.

**Def.** Sia  $\alpha: [a, b] \rightarrow \mathbb{R}^3$  una curva regolare tale che la sua curva pla  $\beta: [0, l(\alpha)] \rightarrow \mathbb{R}^3$  ha curvatura positiva in ogni punto.

Allora diciamo che  $\alpha$  è una **curva di Frenet**.

Oss. La pla è unica

Quando useremo il parametro  $s$ , useremo la resp. pla

Dato  $\alpha$  curva di Frenet,  $N'(s) \in \text{Span}(T(s), N(s), B(s))$ , che è base ortonormale

Osserviamo che  $N(s) \cdot T(s) = 0 \Rightarrow N'(s) \cdot T(s) + N(s) \cdot T'(s) = 0$ , cioè

$$N'(s) \cdot T(s) + K(s) N(s) \cdot N(s) = 0, \text{ quindi } N'(s) \cdot T(s) = -K(s)$$

$$\text{Inoltre } N(s) \cdot N(s) = 1 \Rightarrow N'(s) \cdot N(s) = 0$$

$$\text{Abbiamo scoperto che } N'(s) = -K(s)T(s) + \tau(s)B(s) \text{ e } \tau \text{ è unico}$$

**Def.** Chiamiamo  $\tau(s)$  la **torsione** di  $\beta$  in  $\beta(s)$ .

II equazione di Frenet  $N'(s) = -K(s)T(s) + \tau(s)B(s)$

$$\text{Adesso } B(s) \cdot B(s) = 1 \Rightarrow B'(s) \cdot B(s) = 0$$

$$\text{Inoltre } B(s) \cdot T(s) = 0 \Rightarrow B'(s) \cdot T(s) + B(s) \cdot \cancel{T'(s)} = 0$$

$$\text{e } B(s) \cdot N(s) = 0 \Rightarrow B'(s) \cdot N(s) + B(s) \cdot (-K(s)T(s) + \tau(s)B(s)) = 0$$

III equazione di Frenet  $B'(s) = -\tau(s)N(s)$

Quindi le equazioni di Frenet sono

$$\begin{cases} T'(s) = K(s)N(s) \\ N'(s) = -K(s)T(s) + \tau(s)B(s) \\ B'(s) = -\tau(s)N(s) \end{cases} \quad \begin{pmatrix} T' \\ N' \\ B' \end{pmatrix} = \begin{pmatrix} 0 & K & 0 \\ -K & 0 & \tau \\ 0 & -\tau & 0 \end{pmatrix} \begin{pmatrix} T \\ N \\ B \end{pmatrix}$$

esercizio Verificare che l'elica è una curva di Frenet; calcolare curvatura, torsione e riferimento di Frenet in ogni punto.

SOLUZIONE  $\beta: \mathbb{R} \rightarrow \mathbb{R}^3, \beta(s) = (\alpha \cos(\frac{s}{c}), \alpha \sin(\frac{s}{c}), \frac{bs}{c})$  con  $a > 0$

$$T(s) = \beta'(s) = \frac{1}{c}(-\alpha \sin(\frac{s}{c}), \alpha \cos(\frac{s}{c}), b) \Rightarrow$$
 poiché  $T(s)$  è unitario,  $c = \sqrt{a^2 + b^2} > 0$

$$\text{Ora } T'(s) = \frac{1}{c^2}(-\alpha \cos(\frac{s}{c}), -\alpha \sin(\frac{s}{c}), 0), \text{ quindi } K(s) = \|T'(s)\| = \frac{\alpha}{c^2} = \frac{\alpha}{a^2 + b^2} > 0$$

$$\text{A questo punto } N(s) = -(\cos(\frac{s}{c}), \sin(\frac{s}{c}), 0)$$

$$B(s) = T(s) \times N(s) = -\frac{1}{c}(-b \sin(\frac{s}{c}), b \cos(\frac{s}{c}), -a) = \frac{1}{c}(b \sin(\frac{s}{c}), -b \cos(\frac{s}{c}), a)$$

Infine  $\tau = N' \cdot B$ :

$$N'(s) = \frac{1}{c}(\sin(\frac{s}{c}), -\cos(\frac{s}{c}), 0) \Rightarrow \tau(s) = N'(s) \cdot B(s) = \frac{b}{c^2} = \frac{b}{a^2 + b^2}$$

Vediamo allora che il segno della torsione è dato dalle

"regole della mano destra", ossia

$$b > 0 \Leftrightarrow \tau > 0 \text{ (elica destrorsa)} ; \quad b < 0 \Leftrightarrow \tau < 0 \text{ (elica sinistrorsa)}$$

$$b = 0 \Leftrightarrow \tau = 0 \text{ (curva planare)}$$

Oss Se  $b \rightarrow \infty$ , l'elica diventa simile a una retta  
e  $\tau \rightarrow 0$  (anche se la torsione non è definita per le rette)

esercizio  $\alpha: \mathbb{R} \rightarrow \mathbb{R}^3$ ,  $\alpha(t) = \left(\frac{1}{3}t^3, \sqrt{2}(tsint + cost), \frac{1}{2}(t + sint cost)\right)$

1. dimostrare che  $\alpha$  è di Frenet in un intorno di 0
2. calcolare curvatura e riferimento di Frenet in  $(0, \sqrt{2}, 0)$

sOLUZIONE 1.  $\alpha'(t) = (t^2, \sqrt{2}t cost, \cos^2 t)$

Allora  $\alpha(t) \cdot \alpha'(t) = t^4 + 2t^2 \cos^2 t + \cos^4 t = (t^2 + \cos^2 t)^2 > 0 \quad \forall t$

quindi  $\alpha$  è regolare

Adesso  $s(t) = \int_0^t \|\alpha'(u)\| du$ ,  $s'(t) = t^2 + \cos^2 t > 0$

Sia  $\beta$  la riparametrizzazione pla di  $\alpha$ , allora

per costruzione  $\beta(s(t)) = \alpha(t) \quad \forall t \in \mathbb{R}$ , quindi  $\beta'(s(t)) s'(t) = \alpha'(t)$

Ora  $T(s) = \beta'(s)$ ,  $s \in \mathbb{R}$

E' sufficiente mostrare che  $T'(0) \neq 0$  per il punto 1.

D'altra parte,  $s(0) = 0$ , quindi  $\beta'(0) s'(0) = \alpha'(0)$

(e  $s'(0) = 1$ , dato che  $\alpha'(0) = (0, 0, 1)$ )

Possiamo scrivere  $s'(t) T(s(t)) = \alpha'(t)$  (\*) e derivare rispettivamente rispetto a t:

$$s''(t) T(s(t)) + s'(t)^2 T'(s(t)) = \alpha''(t) \quad (**)$$

Oss  $x = \begin{pmatrix} x_1 \\ x_2 \\ x_3 \end{pmatrix}$ ,  $y = \begin{pmatrix} y_1 \\ y_2 \\ y_3 \end{pmatrix} \in \mathbb{R}^3$  Se  $\langle x \rangle = \langle y \rangle \Rightarrow x \times y = 0$

(anche perché  $\|x \times y\| = \|x\| \|y\| \sin \theta$ )

$$\Rightarrow \alpha'(t) \times \alpha''(t) = s'(t)^3 T(s(t)) \times T'(s(t))$$

$$s(0) = 0, \alpha'(0) = (0, 0, 1)$$

$$\alpha''(t) = (2t, \sqrt{2}(\cos t - tsint), -2costsint) \rightarrow \alpha''(0) = (0, \sqrt{2}, 0)$$

$$\Rightarrow \alpha'(0) \times \alpha''(0) = (0, 0, 1) \times (0, \sqrt{2}, 0) = (-\sqrt{2}, 0, 0) \Rightarrow T'(0) \neq 0$$

$\Rightarrow T'(s) \neq 0$  in un intorno di 0

$$k_\alpha(s) = \|T'(s)\| > 0 \quad \forall s \text{ in un intorno di } 0$$

$\Rightarrow \alpha$  è di Frenet in un intorno di 0

$$2. (0, \sqrt{2}, 0) = \alpha(0) \Rightarrow \text{calcoliamo per } t=s=0$$

$$s'(0) = 1, s''(t) = 2t - 2sintcost \Rightarrow s''(0) = 0$$

$$(*)|_{t=0} \quad T = T(0) = \alpha'(0) = (0, 0, 1)$$

$$(**)|_{t=0} \quad T'(0) = \alpha''(0) = (0, \sqrt{2}, 0)$$

$$k_\alpha(0) \cdot N(0) \Rightarrow k_\alpha(0) = \sqrt{2}, N(0) = (0, 1, 0)$$

$$B = B(0) = T \times N = (0, 0, 1) \times (0, 1, 0) = (-1, 0, 0)$$

Proviamo a trovare una formula per la curvatura di una curva

$\alpha(t)$  (regolare) di Frenet non necessariamente pla

$\alpha: [a, b] \rightarrow \mathbb{R}^3$  regolare,  $\beta: [0, l(\alpha)] \rightarrow \mathbb{R}^3$  rip. pla

$$\beta(s(t)) = \alpha(t) \Rightarrow (*) \quad S \cdot T = \alpha' \Rightarrow (***) \quad S'' T + S'^2 T' = \alpha''$$

$$(*) \times (***) : \alpha' \times \alpha'' = (S')^3 T \times T' = k(S')^3 T \times N \quad k = \|T'\| > 0$$

$$\Rightarrow \frac{\|\alpha' \times \alpha''\|}{(S')^3} = k \quad \text{ma } s(t) = \int_a^t \|\alpha'(u)\| du \Rightarrow s'(t) = \|\alpha'(t)\|$$

$$\Rightarrow k = \frac{\|\alpha' \times \alpha''\|}{\|\alpha'\|^3}$$

$$2^{\circ} \text{ eq. ne di Frenet: } N' = -kT + \tau B \Rightarrow T = N' \cdot B$$

$$1^{\circ} \text{ eq. ne di Frenet: } T'(s(t)) = k(s(t))N(s(t))$$

$$\Rightarrow S'(t)T''(s(t)) = S'(t)(k'(s(t))N(s(t)) + k(s(t))S'(t)N'(s(t)))$$

$$\cancel{S'} T' \cdot B = k S' N' \cdot B = \cancel{k} T$$

$$\frac{d}{dt}(**): S'' T + S'' S' T' + 2S' S'' T' + (S')^3 T'' = \alpha''$$

$$\alpha' \times \alpha'' = (S')^3 k T \times N$$

$$(\alpha' \times \alpha'') \cdot \alpha''' = (S')^6 k (T \times N) \cdot T''' = (S')^6 k^2 \tau$$

$$\tau = \frac{(\alpha' \times \alpha'') \cdot \alpha'''}{\|\alpha'\|^6 \|\alpha' \times \alpha''\|^2} = \frac{(\alpha' \times \alpha'') \cdot \alpha'''}{\|\alpha' \times \alpha''\|^2}$$

NOTA:  $x = \begin{pmatrix} x_1 \\ x_2 \\ x_3 \end{pmatrix}, y = \begin{pmatrix} y_1 \\ y_2 \\ y_3 \end{pmatrix}$ ,  $e_1, e_2, e_3$  base canonica di  $\mathbb{R}^3$

$$x \times y = \det \begin{pmatrix} e_1 & e_2 & e_3 \\ x_1 & x_2 & x_3 \\ y_1 & y_2 & y_3 \end{pmatrix}$$

$$\text{Se } z = \begin{pmatrix} z_1 \\ z_2 \\ z_3 \end{pmatrix}, (x \times y) \cdot z = \det \begin{pmatrix} z_1 & z_2 & z_3 \\ x_1 & x_2 & x_3 \\ y_1 & y_2 & y_3 \end{pmatrix}$$

esercizio:  $\alpha: \mathbb{R} \rightarrow \mathbb{R}^3$ ,  $\alpha(t) = (t, \frac{1}{\sqrt{2}}t^2, \frac{1}{3}t^3)$

1. dimostrare che  $\alpha$  è regolare

2. dimostrare che  $\alpha$  è di Frenet

Calcolare curvatura e torsione in ogni punto

SOLUZIONE: 1.  $\alpha'(t) = (1, \sqrt{2}t, t^2) \neq 0 \Rightarrow \alpha$  regolare

$$2. \|\alpha'\| = \sqrt{1+2t^2+t^4} = t^2+1$$

$$\alpha''(t) = (0, \sqrt{2}, 2t), \quad \alpha' \times \alpha'' = (\sqrt{2}t^2, -2t, \sqrt{2})$$

$$\|\alpha' \times \alpha''\| = (2t^4 + 4t^2 + 2)^{\frac{1}{2}} = \sqrt{2}(t^2 + 1)$$

$$k(s(t)) = \frac{\sqrt{2}(t^2 + 1)}{(t^2 + 1)^3} = \frac{\sqrt{2}}{(t^2 + 1)^2}$$

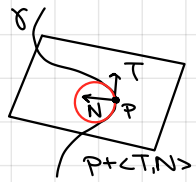
$$\alpha''' = (0, 0, 2)$$

$$(\alpha' \times \alpha'') \cdot \alpha''' = \det \begin{pmatrix} 0 & 0 & 2 \\ 1 & \sqrt{2}t & t^2 \\ 0 & \sqrt{2} & 2t \end{pmatrix} = 2\sqrt{2} \quad \Rightarrow \tau(s(t)) = \frac{2\sqrt{2}}{2(t^2 + 1)^2} > 0$$

**Def.**  $\gamma: I \rightarrow \mathbb{R}^3$  curva di Frenet pla

Definiamo il **cerchio osculatore** di  $\gamma$  in  $\gamma(s_0)$ ,  $s_0 \in I$ , come il cerchio  $C$  di centro  $P$  e raggio  $R$  contenuto nel piano osculatore (il piano affine  $\gamma(s_0) + \langle T(s_0), N(s_0) \rangle$ ) di  $\gamma$  in  $\gamma(s_0)$  che meglio approssima  $\gamma$  intorno a  $s_0$ , nel senso che

- $\gamma(s_0) \in C$
- $f(s) := \| \gamma(s) - P \|^2 - R^2$  è tale che  $f'(s_0), f''(s_0) = 0$



**Esercizio** Mostrare che il cerchio osculatore esiste ed è unico, esprimendo  $P$  e  $R$  in funzione di  $\gamma$

SOLUZIONE Unicità:  $f(s) = (\gamma(s) - P) \cdot (\gamma(s) - P) - R^2$

$$f'(s) = 2T(s) \cdot (\gamma(s) - P)$$

$$f''(s) = 2T'(s) \cdot (\gamma(s) - P) + 2T(s) \cdot T(s)$$

$$0 = f'(s_0) \iff \gamma(s) - P \in T(s_0)^\perp = \langle N(s_0), B(s_0) \rangle$$

$$C \subseteq \gamma(s_0) + \langle T(s_0), N(s_0) \rangle$$

$$\Rightarrow \gamma(s_0) - P \in \langle T(s_0), N(s_0) \rangle \Rightarrow \gamma(s_0) - P \in \langle N(s_0) \rangle$$

$$\Rightarrow P = \gamma(s_0) + \lambda N(s_0)$$

$$\|\gamma(s_0) - P\| = R \Rightarrow R = |\lambda|$$

Ora  $T'(s) = k(s)N(s)$ , quindi

$$f''(s_0) = 2[k(s_0)N(s_0) \cdot (-\lambda N(s_0)) + 1] = -2k(s_0)\lambda + 2 = 0$$

$$\Rightarrow \lambda = \frac{1}{k(s_0)} > 0$$

$$\Rightarrow R = \lambda = \frac{1}{k(s_0)} \quad P = \gamma(s_0) + \frac{1}{k(s_0)}N(s_0)$$

Esistenza: Sia  $C$  la circonferenza contenuta in  $\gamma(s_0) + \langle T(s_0), N(s_0) \rangle$  di centro  $P = \gamma(s_0) + \frac{1}{k(s_0)}N(s_0)$  e raggio  $R = \frac{1}{k(s_0)}$

$$\bullet \gamma(s_0) \in C$$

$$\bullet f(s) = \|\gamma(s) - \gamma(s_0) - \frac{1}{k(s_0)}N(s_0)\|^2 - R^2$$

$$f'(s_0) = 2T(s_0) \cdot (\gamma(s_0) - \gamma(s_0) - \frac{1}{k(s_0)}N(s_0)) = 0$$

$$f''(s_0) = 2[k(s_0)N(s_0) \cdot (\gamma(s_0) - \gamma(s_0) - \frac{1}{k(s_0)}N(s_0))] + T(s_0) \cdot T(s_0) = 0$$

**Esercizio**  $\alpha: [a, b] \rightarrow \mathbb{R}^3$  curva regolare, allora

$$K_\alpha \equiv 0 \iff \text{traccia}(\alpha) \subseteq \text{retta affine}$$

SOLUZIONE: E' sufficiente fare la verifica per la curva pla associata,  $\beta: [0, l(\alpha)] \rightarrow \mathbb{R}^3$

$$\Leftrightarrow T(s) = \beta'(s) \Rightarrow T'(s) = \beta''(s) \Rightarrow K_\alpha(s) = \|\beta''(s)\|$$

$$K_\alpha \equiv 0 \iff \beta'' \equiv 0 \iff \beta'(s) = v \in \mathbb{R}^3 \text{ costante}$$

Quindi  $\beta(s) = p + sv \in p + \langle v \rangle$  retta affine

$$\Leftrightarrow \text{traccia}(\beta) \subseteq p + \langle v \rangle$$
 retta affine ( $v$  versore)

$$\Rightarrow \beta(s) = p + f(s)v \quad \beta'(s) = f'(s)v = T(s) \Rightarrow |f'(s)| = 1$$

$f': [0, l(\alpha)] \rightarrow \mathbb{R}$ , si  $\Rightarrow f'(s) \in \{\pm 1\}$ , ma  $f \in C^\infty$  e  $[0, l(\alpha)]$  è connesso,

quindi  $f'([0, l(\alpha)]) = \{-1\}$ . A meno di considerare  $-v$ ,

posso supporre che  $f'(s) \equiv 1 \Rightarrow f(s) = s_0 + s$

$$\Rightarrow \beta(s) = p + s_0v + sv \Rightarrow T(s) \equiv v \Rightarrow T'(s) \equiv 0 \Rightarrow K_\alpha \equiv 0$$

esercizio Sia  $\alpha: [a, b] \rightarrow \mathbb{R}^3$  una curva di Frenet, allora

$$\tau_\alpha = 0 \iff \text{traccia}(\alpha) \subseteq \text{piano affine}$$

soluzione E' sufficiente fare la verifica per la curva pla associata,  $\beta: [0, l(\alpha)] \rightarrow \mathbb{R}^3$

$$\Rightarrow 3^\circ \text{ eq. ne di Frenet } B' = -\kappa N \Rightarrow B \equiv V \in \mathbb{R}^3 \text{ costante}$$

$$0 \equiv T(s) \cdot V = \beta'(s) \cdot V = (\beta(s) \cdot V)' \Rightarrow \beta(s) \cdot V = c \quad \forall s \in [0, l(\alpha)]$$

$$\Rightarrow \text{traccia}(\beta) \subseteq \{x \in \mathbb{R}^3 \mid x \cdot V = c\} \text{ piano affine}$$

$$\Leftarrow \beta(s) \cdot V = c, \|V\| = 1, c \in \mathbb{R}$$

$$\Rightarrow T(s) \cdot V = 0 \Rightarrow T'(s) \cdot V = K(s)N(s) \cdot V = 0 \text{ e } K(s) > 0$$

$$\Rightarrow V^\perp = \langle T(s), N(s) \rangle \iff \langle V \rangle = \langle B(s) \rangle$$

$$\Rightarrow B(s) = \varphi(s)V \text{ con } \varphi(s) \in \{\pm 1\} \Rightarrow \varphi([0, l(\alpha)]) = \begin{cases} \{1\} \\ \{-1\} \end{cases}$$

$$\Rightarrow B(s) = \begin{cases} V \\ -V \end{cases} \Rightarrow B'(s) = -T(s)N(s) = 0 \Rightarrow \tau = 0$$

esercizio S' sfera di raggio  $R$  in  $\mathbb{R}^3$ ,  $S = \{x \in \mathbb{R}^3 \mid \|x - P\| = R\}$

Mostrare che se  $\alpha: [a, b] \rightarrow \mathbb{R}^3$  curva regolare

$$\text{con traccia}(\alpha) \subseteq S, \text{allora } k_\alpha(s) \geq \frac{1}{R}$$



soluzione E' sufficiente fare la verifica per la curva pla associata,  $\beta: [0, l(\alpha)] \rightarrow \mathbb{R}^3$

$$\text{traccia}(\beta) \subseteq \{x \in \mathbb{R}^3 \mid \|x - P\|^2 = R^2\} \Rightarrow (\beta(s) - P) \cdot (\beta(s) - P) = R^2$$

$$\Rightarrow 2T(s) \cdot (\beta(s) - P) = 0$$

$$\Rightarrow T'(s) \cdot (\beta(s) - P) + T(s) \cdot T(s) = 0$$

$$|\langle T'(s) \cdot (\beta(s) - P) \rangle| \leq \|T'(s)\| \|\beta(s) - P\| = k_\alpha(s) R$$

$$\Rightarrow |\langle T'(s) \cdot (\beta(s) - P) \rangle| = 1 \Rightarrow k_\alpha R \geq 1 \Rightarrow k_\alpha \geq \frac{1}{R}$$

Sia  $\beta: [0, l] \rightarrow \mathbb{R}^3$  curva pla di Frenet. Sia  $A \in SO(3)$ ,  $b \in \mathbb{R}^3$

$$\tilde{\beta}(s) := A\beta(s) + b$$

$$\Rightarrow T_{\tilde{\beta}}(s) = AT(s) \Rightarrow k_{\tilde{\beta}}(s) N_{\tilde{\beta}}(s) = A k_\beta(s) N_\beta(s)$$

Passando alle norme,  $k_{\tilde{\beta}}(s) = k_\beta(s)$ , quindi  $N_{\tilde{\beta}}(s) = AN_\beta(s)$

$$B_{\tilde{\beta}}(s) = T_{\tilde{\beta}}(s) \times N_{\tilde{\beta}}(s) = AT_\beta(s) \times AN_\beta(s) = A(T_\beta(s) \times N_\beta(s)) = AB_\beta(s)$$

NOTA  $AX \times AY = A(X \times Y)$

$$\text{Infatti } AX = A^1x_1 + A^2x_2 + A^3x_3, AY = A^1y_1 + A^2y_2 + A^3y_3$$

$$A^1 \times A^2 = A^3, A^2 \times A^3 = A^1, \text{ etc...}$$

Quindi

$$-T_{\tilde{\beta}}(s)N_{\tilde{\beta}}(s) = -T_\beta(s)AN_\beta(s) \Rightarrow T_{\tilde{\beta}}(s) = T_\beta(s)$$

**Teorema fondamentale delle curve**

Siano  $\tilde{\beta}, \beta: [0, l] \rightarrow \mathbb{R}^3$  due curve p.l.a. di Frenet.

Se  $k_{\tilde{\beta}}(s) = k_{\beta}(s)$  e  $\tau_{\tilde{\beta}}(s) = \tau_{\beta}(s) \quad \forall s \in [0, l]$ , allora

$\exists b \in \mathbb{R}^3, A \in SO(3)$  t.c.  $\tilde{\beta}(s) = A\beta(s) + b \quad \forall s \in [0, l]$

**DIMOSTRAZIONE**

$(T_{\beta}(0), N_{\beta}(0), B_{\beta}(0))$  e  $(T_{\tilde{\beta}}(0), N_{\tilde{\beta}}(0), B_{\tilde{\beta}}(0))$  sono due basi ortonormali (positive) di  $\mathbb{R}^3 \Rightarrow \exists! A \in SO(3)$  che manda  $B_1$  in  $B_2$

Pongo  $b = \tilde{\beta}(0) - A\beta(0)$

$\beta^*(s) := A\beta(s) + b$  è sufficiente dimostrare che  $\beta^*(s) = \tilde{\beta}(s)$

Pongo  $\tilde{T} = T_{\tilde{\beta}}, T^* = T_{\beta^*}$ , analogo per gli altri

$$f(s) := \tilde{T}(s) \cdot T^*(s) + \tilde{N}(s) \cdot N^*(s) + \tilde{B}(s) \cdot B^*(s) \leq 3$$

$$\text{se } [0, l] \quad f(0) = 3$$

$$\begin{aligned} f'(s) &= \tilde{T}' \cdot T^* + \tilde{T} \cdot T^{*\prime} + \tilde{N}' \cdot N^* + \tilde{N} \cdot N^{*\prime} + \tilde{B}' \cdot B^* + \tilde{B} \cdot B^{*\prime} = \\ &= K \tilde{N} \cdot T^* + K \tilde{T} \cdot N^* + (-K \tilde{T} + \tau \tilde{B}) \cdot N^* + \tilde{N} \cdot (-K T^* + \tau B^*) - \tau \tilde{N} \cdot \tilde{B} - \tau \tilde{B} \cdot N^* = 0 \end{aligned}$$

Quindi  $f \equiv 3 \Rightarrow \forall s \quad \tilde{T}(s) = T^*(s)$ , cioè  $\tilde{\beta}'(s) = \beta^*(s)$

Inoltre  $\tilde{\beta}(0) = \beta^*(0)$ , quindi  $\tilde{\beta} \equiv \beta^*$

□

$$\begin{array}{l} \text{costruz.} \\ \left. \begin{array}{l} K^* = K_{\beta^*} = K_{\beta} = K_{\tilde{\beta}} =: K \\ \tau^* = \tau_{\beta^*} = \tau_{\beta} = \tau_{\tilde{\beta}} =: \tau \end{array} \right\} \text{hp} \end{array}$$

**esercizio**  $\beta: [0, l] \rightarrow \mathbb{R}^3$  curva p.l.a. con  $K_{\beta}(s) \equiv K_0, \tau_{\beta}(s) \equiv \tau_0$

Allora  $\beta(s) = A\tilde{\beta}(s) + b, A \in SO(3), b \in \mathbb{R}^3$ , dove

$\tilde{\beta}: [0, l] \rightarrow \mathbb{R}^3$  soddisfa traccia( $\tilde{\beta}$ )  $\subseteq$  elica

**SOLUZIONE** Per il teorema, è sufficiente mostrare che esiste

un'elica  $\tilde{\beta}: [0, l] \rightarrow \mathbb{R}^3$  con curvatura  $K_0$  e torsione  $\tau_0$ .

$$\tilde{\beta}(s) = (a \cos(\frac{s}{c}), a \sin(\frac{s}{c}), \frac{bs}{c}), \text{ con } c = \sqrt{a^2 + b^2}$$

$$K_{\tilde{\beta}} = \frac{a}{a^2 + b^2}, \quad \tau_{\tilde{\beta}} = \frac{b}{a^2 + b^2}$$

$$\begin{cases} \frac{a}{a^2 + b^2} = K_0 \\ \frac{b}{a^2 + b^2} = \tau_0 \end{cases} \iff K_0^2 + \tau_0^2 = \frac{1}{a^2 + b^2} \iff \begin{cases} a = \frac{K_0}{\sqrt{K_0^2 + \tau_0^2}} \\ b = \frac{\tau_0}{\sqrt{K_0^2 + \tau_0^2}} \end{cases}$$

**esercizio**  $\alpha: [a, b] \rightarrow \mathbb{R}^3$  curva di Frenet ha curvatura costante e torsione nulla  $\iff$  traccia( $\alpha$ )  $\subseteq$  circonferenza

**SOLUZIONE** Supponiamo  $\alpha$  p.l.a.

$\Rightarrow$  Per quanto visto,  $\alpha$  è una rototraslazione di un'elica, e tale elica è una circonferenza avendo torsione nulla

$\Leftarrow$  Sia  $C$  la circonferenza di centro  $P$  contenuta in  $P + \langle v \rangle^\perp$ . Poiché la curva è planare, la torsione è nulla.

Ora  $(\alpha(s) - P) \cdot v \equiv 0 \Rightarrow T(s) \cdot v \equiv 0$  e  $N(s) \cdot v \equiv 0$  pertanto  $\langle v \rangle^\perp = \langle T(s), N(s) \rangle$

quindi  $\forall s \quad \alpha(s) + \langle T(s), N(s) \rangle$  è il piano osculatore

Allora  $C$  deve coincidere con il cerchio osculatore  $\Rightarrow K = \frac{1}{R}$

esercizio Sia  $\alpha: (0, +\infty) \rightarrow \mathbb{R}^3$  data da  $\alpha(t) = \left( \frac{t^2}{2}, \sqrt{t}, \log t \right)$

1. Mostrare che  $\alpha$  è regolare
2. Calcolare  $K_\alpha$  in ogni punto e mostrare che  $\alpha$  è di Frenet
3. Calcolare il riferimento di Frenet in ogni punto

soluzione 1.  $\alpha'(t) = (t, \sqrt{t}, \frac{1}{t}) \Rightarrow \alpha'(t) \cdot \alpha'(t) = (t + \frac{1}{t})^2 > 0$

2.  $s(t) = \int_1^t \|\alpha(u)\| du$  e  $s'(t) = t + \frac{1}{t} > 0$ ,  $s''(t) = 1 - \frac{1}{t^2}$   
 $\exists \beta : \beta(s(t)) = \alpha(t)$  p.l.a.

$$\Rightarrow T(s(t)) s'(t) = \alpha'(t) = (t, \sqrt{t}, \frac{1}{t}) \Rightarrow T(s(t)) = \frac{1}{t^2+1} (t^2, \sqrt{t}, 1)$$

$$\Rightarrow T'(s(t)) (s'(t))^2 + T(s(t)) s''(t) = \alpha''(t) = (1, 0, -\frac{1}{t^2})$$

$$\Rightarrow T'(s(t)) (s'(t))^2 = (1, 0, -\frac{1}{t^2}) - \frac{t^2-1}{t^2} \frac{1}{t^2+1} (t^2, \sqrt{t}, 1) = \frac{1}{t^2+1} (2, -\frac{\sqrt{t}(t^2-1)}{t}, -2) \neq 0$$

quindi la curva è di Frenet

Ora  $K(s(t)) N(s(t)) = T'(s(t)) = \frac{t^2}{(t^2+1)^3} (2, -\frac{\sqrt{t}(t^2-1)}{t}, -2)$

$$\Rightarrow K(s(t)) = \left\| \frac{t^2}{(t^2+1)^3} (2, -\frac{\sqrt{t}(t^2-1)}{t}, -2) \right\| = \frac{\sqrt{2}t}{(t^2+1)^2}$$

Adesso  $N(s(t)) = \frac{1}{K(s(t))} T'(s(t)) = \frac{1}{1+t^2} (\sqrt{2}t, 1-t^2, -\sqrt{2}t)$

Infine  $B(s(t)) = T(s(t)) \times N(s(t)) = \frac{1}{(1+t^2)^2} \begin{pmatrix} t^2 \\ \sqrt{2}t \\ 1-t^2 \end{pmatrix} \times \begin{pmatrix} \sqrt{2}t \\ 1-t^2 \\ -\sqrt{2}t \end{pmatrix} = \frac{1}{1+t^2} \begin{pmatrix} -1 \\ 0 \\ 0 \end{pmatrix}$

# SUPERFICI

Vogliamo definire un sottoinsieme  $S \subseteq \mathbb{R}^3$  che corrisponde alla nostra idea di superficie liscia.

$U \subseteq \mathbb{R}^2$  aperto,  $\underline{\chi}: U \rightarrow \mathbb{R}^3$  applicazione buona

- se  $\underline{\chi}$  non fosse iniettiva, si potrebbe avere

- non vogliamo  $\underline{\chi} = \Delta$

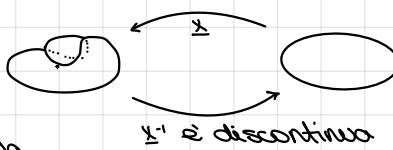
Ora  $\underline{\chi}(u, v) = (x(u, v), y(u, v), z(u, v))$

$$\underline{\chi}_u(u, v) := \left( \frac{\partial \chi}{\partial u}(u, v), \frac{\partial y}{\partial u}(u, v), \frac{\partial z}{\partial u}(u, v) \right), \quad \underline{\chi}_v(u, v) := \left( \frac{\partial \chi}{\partial v}(u, v), \frac{\partial y}{\partial v}(u, v), \frac{\partial z}{\partial v}(u, v) \right)$$

Chiediamo che  $\underline{\chi}(u, v)$ ,  $\underline{\chi}_v(u, v)$  abbiano rango massimo (cioè 2)

Ossia  $\underline{\chi}_u \times \underline{\chi}_v \neq 0$  (o anche  $\underline{\chi}_u, \underline{\chi}_v$  lin. indip.)

- non vogliamo cose del tipo



cioè vogliamo  $\underline{\chi}^{-1}: \underline{\chi}(U) \rightarrow U$  continua

**Def.** Sia  $U \subseteq \mathbb{R}^2$  aperto, una mappa  $\underline{\chi}: U \rightarrow \mathbb{R}^3$   $C^\infty$  è

una parametrizzazione regolare se

$\underline{\chi}$  è iniettiva

•  $\underline{\chi}_u \times \underline{\chi}_v \neq 0$

•  $\underline{\chi}^{-1}$  è continua

**Def.**  $S \subseteq \mathbb{R}^3$  è una superficie liscia se  $\forall p \in S$  esiste

una parametrizzazione regolare  $\underline{\chi}: U \rightarrow \mathbb{R}^3$

tale che  $\underline{\chi}(U) \subseteq S$  è un intorno di  $p$

In particolare  $\underline{\chi}: U \rightarrow \mathbb{R}^3$  par. regolare  $\Rightarrow S = \underline{\chi}(U)$  superficie

**ESEMPIO 1)**  $U \subseteq \mathbb{R}^2$ ,  $f: U \rightarrow \mathbb{R}^3$   $C^\infty$ ,  $I_f = \{(u, v, f(u, v)) \mid (u, v) \in U\}$  grafico di  $f$

$$\underline{\chi}: U \rightarrow \mathbb{R}^3 \quad \underline{\chi}(u, v) = I_f$$

$$(u, v) \mapsto (u, v, f(u, v))$$

Chiaramente  $\underline{\chi}$  è iniettiva; inoltre  $\underline{\chi}_u = (1, 0, \frac{\partial f}{\partial u})$ ,  $\underline{\chi}_v = (0, 1, \frac{\partial f}{\partial v})$   
che sono indipendenti

$$\underline{\chi}^{-1} = \pi|_{\underline{\chi}(U)}: \underline{\chi}(U) \rightarrow \mathbb{R}^2 \text{ dove } \pi(x, y, z) = (y, z)$$

e la restrizione preserva la continuità

(2) Elicoide

$$U = \{(u, v) \in \mathbb{R}^2 \mid u > 0\}$$

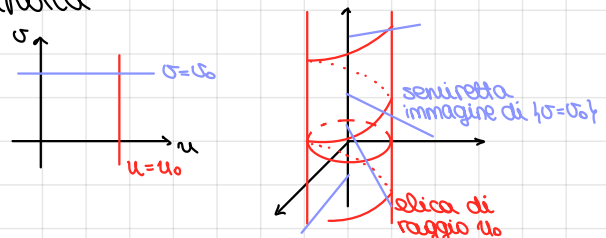
$$\underline{\chi}(u, v) = (u \cos v, u \sin v, bv), b \neq 0, \in C^\infty$$

$$\underline{\varphi}: \mathbb{R}^2 \setminus \text{asse } z \rightarrow U \quad \in C^\infty$$

$$(x, y, z) \mapsto ((x^2 + y^2)^{\frac{1}{2}}, z/b)$$

$$\text{e } \underline{\varphi}(\underline{\chi}(u, v)) = (u, v)$$

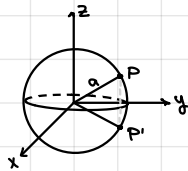
Quindi  $\underline{\chi}$  è omomorfismo iniettivo, la cui inversa è  $\underline{\varphi}|_{\underline{\chi}(U)}$   
e  $\underline{\chi}_u = (\cos v, \sin v, 0)$ ,  $\underline{\chi}_v = (-u \sin v, u \cos v, b)$  sono indipendenti



(3) La sfera  $S^2_\alpha$  di raggio  $\alpha > 0$

$$S^2_\alpha = \{(x, y, z) \in \mathbb{R}^3 \mid x^2 + y^2 + z^2 = \alpha^2\}$$

$$\Leftrightarrow z = \pm \sqrt{\alpha^2 - x^2 - y^2}$$



$$S^2_\alpha \setminus \{z=0\} = (S^2_\alpha \cap \{z>0\}) \cup (S^2_\alpha \cap \{z<0\})$$

$$A_2^+ \quad A_2^-$$

$$\text{cioè } A_2^\pm = \{(x, y, z) \in \mathbb{R}^3 \mid z = \pm \sqrt{\alpha^2 - x^2 - y^2}, x^2 + y^2 < \alpha^2\}$$

$$A_2^+ = I_{\sqrt{\alpha^2 - x^2 - y^2}}, \quad A_2^- = I_{-\sqrt{\alpha^2 - x^2 - y^2}}$$

$$U = S^2_\alpha = \{(x, y) \in \mathbb{R}^2 \mid x^2 + y^2 < \alpha^2\} \xrightarrow{x} \mathbb{R}^3$$

$$(u, v) \mapsto (u, v, \sqrt{\alpha^2 - u^2 - v^2})$$

$\Rightarrow$  Tutti i punti di  $A_2^+$  hanno intorni fatti da immagine per par. regolare  
lo stesso vale per  $A_2^-$

Si può fare lo stesso con  $A_x^\pm, A_y^\pm$

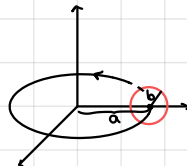
$$\Rightarrow S^2_\alpha = A_x^+ \cup A_x^- \cup A_y^+ \cup A_y^- \cup A_2^+ \cup A_2^-$$

Oss Una sola par. regolare non basta per tutti i punti di  $S^2_\alpha$

$S^2_\alpha$  è compatta, quindi non può essere omomorfa ad un aperto di  $\mathbb{R}^2$

(4) Il toro  $T^2_{a,b}$  con  $a > b > 0$  (a raggio maggiore, b raggio minore)

$T^2_{a,b}$  è ottenuto ruotando la circonferenza  
attorno all'asse z



Quindi  $T^2_{a,b} = \chi(\mathbb{R}^2)$

$$\chi: \mathbb{R}^2 \longrightarrow \mathbb{R}^3$$

$$(u, v) \mapsto ((a+b\cos u)\cos v, (a+b\cos u)\sin v, b\sin u)$$

$\chi$  non è iniettiva: basta un quadrato di lato  $2\pi$

$\chi|_{(u_0, u_0+2\pi) \times (v_0, v_0+2\pi)}$  è iniettiva  $\forall (u_0, v_0) \in \mathbb{R}^2$ :

$$(x, y, z) = \chi(u, v) \in T^2_{a,b}$$

$$a+b\cos u = \sqrt{x^2 + y^2} \rightarrow \cos u = \frac{\sqrt{x^2 + y^2} - a}{b}, \sin u = \frac{z}{b}$$

$$\sin v = \frac{y}{\sqrt{x^2 + y^2}}, \cos v = \frac{x}{\sqrt{x^2 + y^2}}$$

Dimostriamo che  $\chi|_{(u_0, u_0+2\pi) \times (v_0, v_0+2\pi)}$  è una parametrizzazione regolare

$$\chi_u = (-b\sin u \cos v, -b\sin u \sin v, b\cos u)$$

$$\chi_v = ((-a+b\cos u) \sin v, (a+b\cos u) \cos v, 0)$$

Se fosse  $\chi_u \parallel \chi_v$ , allora  $\cos u = 0 \Rightarrow \sin u = \pm 1$

$$\Rightarrow \chi_u = \pm b(\cos v, \sin v, 0) \quad \chi_v = a(-\sin v, \cos v, 0) \text{ non nulli}$$

$$\chi_u \cdot \chi_v = 0 \quad \diamond$$

Per la continuità di  $\chi|_{(u_0, u_0+2\pi) \times (v_0, v_0+2\pi)}$

Una funzione è continua se è in ogni suo punto

$$a) u \neq k\pi \Rightarrow u = \arccos((\sqrt{x^2 + y^2} - a)/b)$$

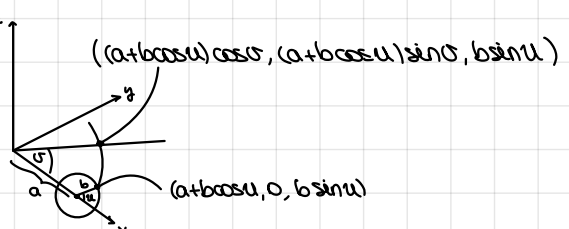
$$b) u \neq \frac{\pi}{2} + k\pi \Rightarrow u = \arcsin(z/b)$$

$$c) v \neq k\pi \Rightarrow v = \arccos(x/\sqrt{x^2 + y^2})$$

$$d) v \neq \frac{\pi}{2} + k\pi \Rightarrow v = \arcsin(y/\sqrt{x^2 + y^2})$$

Per ogni  $(x, y, z) = \chi(u, v) \in T^2_{a,b}$  valgono:  $a-c \leq a-d \leq b-c \leq b-d$

In ciascun caso  $(u, v)$  si scrive in termini di  $(x, y, z)$  tramite funzioni continue



### (5) Superficie di rotazione

$I \subseteq \mathbb{R}$  intervallo aperto

$\alpha: I \rightarrow \mathbb{R}^3$  curva regolare

$$\alpha(u) = (f(u), 0, g(u))$$

t.c.  $\alpha$  è iniettiva,  $\alpha'$  è continua,  $f'(u) > 0$

$$\underline{x}: I \times \mathbb{R} \rightarrow \mathbb{R}^3$$

$$\underline{x}(u, v) = (f(u) \cos v, f(u) \sin v, g(u))$$

$$S := \underline{x}(I \times \mathbb{R})$$

$$(x, y, z) = \underline{x}(u, v) \in S$$

$$\Rightarrow f(u) = \sqrt{x^2 + y^2}, g(u) = z, \cos v = \frac{x}{\sqrt{x^2 + y^2}}, \sin v = \frac{y}{\sqrt{x^2 + y^2}}$$

$\underline{x}|_{I \times (v_0, v_0 + 2\pi)}$  è iniettiva

$$\underline{x}_u = (f(u) \cos v, f(u) \sin v, g(u)) \quad \underline{x}_u \cdot \underline{x}_u = f'(u)^2 + g'(u)^2 = \alpha'(u) \cdot \alpha'(u) > 0$$

$$\underline{x}_v = (-f(u) \sin v, f(u) \cos v, 0) = f(u) (-\sin v, \cos v, 0) \quad \underline{x}_v \cdot \underline{x}_v = f'(u)^2 > 0$$

$$\underline{x}_u \cdot \underline{x}_v = 0 \Rightarrow \underline{x}_u \perp \underline{x}_v \Rightarrow \underline{x}_u \times \underline{x}_v \neq 0$$

Continuità di  $\underline{x}'$ :

$$u = \alpha^{-1}(\sqrt{x^2 + y^2}, 0, z)$$

$$\cdot v \neq k\pi : \sigma = \arccos\left(\frac{x}{\sqrt{x^2 + y^2}}\right)$$

$$\cdot v \neq \frac{\pi}{2} + k\pi : \sigma = \arcsin\left(\frac{y}{\sqrt{x^2 + y^2}}\right)$$

Def.  $a \in \mathbb{R}$  si dice valore regolare per  $f$  se

$$f^{-1}(a) = \emptyset \text{ oppure } \forall p \in f^{-1}(a) \quad \nabla f(p) \neq 0$$

### (6) Superficie di livello

$V \subseteq \mathbb{R}^3$  aperto,  $f: V \rightarrow \mathbb{R} \subset \mathbb{C}^\infty$

Sia  $a \in \mathbb{R}$  un valore regolare per  $f$  con  $f^{-1}(a) \neq \emptyset$

Allora  $S := f^{-1}(a)$  è una superficie

Sia  $p \in f^{-1}(a)$ . Per ipotesi,  $\nabla f(p) \neq 0$ .

$$\text{Vogliamo supporre} \quad \frac{\partial f}{\partial z}(p) \neq 0 \quad p = (x_0, y_0, z_0)$$

$$S = f^{-1}(a) = \{(x, y, z) \in \mathbb{R}^3 \mid f(x, y, z) = a\}$$

$$\begin{cases} f(x_0, y_0, z_0) = a \\ f_z(x_0, y_0, z_0) \neq 0 \end{cases} \quad \text{Per il teorema della funz. implicita,}$$

$$\exists V \subseteq \mathbb{R}^2 \text{ aperto, } (x_0, y_0) \in V, \exists U \text{ intorno di } z_0, \text{ t.c.}$$

$$\forall (u, v) \in V \quad \exists! z = z(u, v) \in U \text{ t.c. } f(u, v, z(u, v)) = a$$

Inoltre  $V \rightarrow \mathbb{R}: (u, v) \mapsto z(u, v)$  è  $C^\infty$

$\Rightarrow$  ogni punto di  $S$  abbastanza vicino a  $p$  è della forma  $(u, v, z(u, v))$

$\Rightarrow \underline{x}: V \rightarrow \mathbb{R}^3, \underline{x}(u, v) = (u, v, z(u, v))$  è una par. regolare t.c.

$$\underline{x}(V) \subseteq S \text{ ed è un intorno di } p$$

Se  $f_x(p) \neq 0 \text{ o } f_y(p) \neq 0$ , è analogo

$\Rightarrow S = f^{-1}(a)$  è una superficie

Ridimostriamo che  $S^2_a$  è una superficie

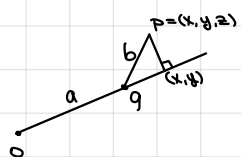
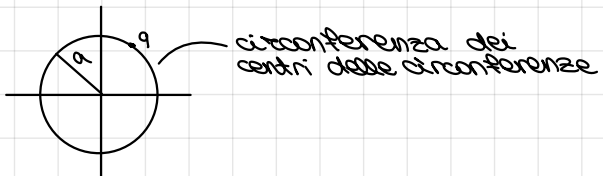
$$S^2_a = f^{-1}(a^2), \quad f: \mathbb{R}^3 \rightarrow \mathbb{R}$$

$$(x, y, z) \mapsto x^2 + y^2 + z^2$$

$$f^{-1}(a^2) \neq \emptyset \text{ se } a > 0$$

$$\nabla f(x, y, z) = (2x, 2y, 2z) \quad \text{e} \quad \nabla f = 0 \iff (x, y, z) = (0, 0, 0) \notin S^2_a$$

$\Pi_{a,b}^2$ :



$$b^2 = (\sqrt{x^2 + y^2} - a)^2 + z^2$$

$$\Pi_{a,b}^2 = f^{-1}(b^2), \quad f(x, y, z) = (\sqrt{x^2 + y^2} - a)^2 + z^2$$

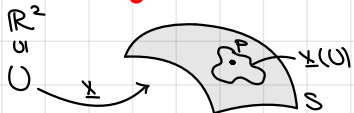
$$(x, y, z) = p \in \Pi_{a,b}^2$$

$$\nabla f = (2(\sqrt{x^2 + y^2} - a) \frac{2x}{2\sqrt{x^2 + y^2}}, 2(\sqrt{x^2 + y^2} - a) \frac{2y}{2\sqrt{x^2 + y^2}}, 2z)$$

$$\nabla f = 0 \Rightarrow z = 0 \Rightarrow (\sqrt{x^2 + y^2} - a)^2 = b^2 > 0 \Rightarrow x = y = 0 \quad \text{ma} \quad 0 \notin \Pi_{a,b}^2$$

Quindi  $\Pi_{a,b}^2$  è una superficie

### Piano tangente



$$p = \underline{x}(u_0, v_0)$$

$$\underline{x}_u(u_0, v_0) \times \underline{x}_v(u_0, v_0) \neq 0$$

$$\underline{x}_u(p) \quad \underline{x}_v(p)$$

Provo a definire

$$T_p S = \langle \underline{x}_u(p), \underline{x}_v(p) \rangle$$

Ma esistono altre parametrizzazioni regolari "intorno" a p

Se  $\underline{y}: V \rightarrow \mathbb{R}^3$  è un'altra par. regolare, con  $\underline{y}(s_0, t_0) = p$ ,

$$\text{è vero che } \langle \underline{x}_u(p), \underline{x}_v(p) \rangle = \langle \underline{y}_s(p), \underline{y}_t(p) \rangle ?$$

Sarebbe sufficiente dimostrare ( $\Rightarrow$ ):

$$\text{se } \underline{x} \circ \underline{y} \text{ fosse } C^\infty, \quad f(s, t) := \underline{x} \circ \underline{y}(s, t) = (u(s, t), v(s, t))$$

$$\Rightarrow \underline{y}(s, t) = \underline{x}(u(s, t), v(s, t)) \quad (\text{funzione di transizione})$$

$$\Rightarrow \underline{y}_s = u_s \underline{x}_u + v_s \underline{x}_v$$

$$\underline{y}_t = u_t \underline{x}_u + v_t \underline{x}_v$$

Volutando in  $(s_0, t_0)$ , si ottiene la tesi

Fatto:  $\underline{x} \circ \underline{y} \in C^\infty$

$$\underline{x}(u, v) = (x(u, v), y(u, v), z(u, v))$$

$$\underline{x}_u = \begin{pmatrix} x_u \\ y_u \\ z_u \end{pmatrix}, \quad \underline{x}_v = \begin{pmatrix} x_v \\ y_v \\ z_v \end{pmatrix}$$

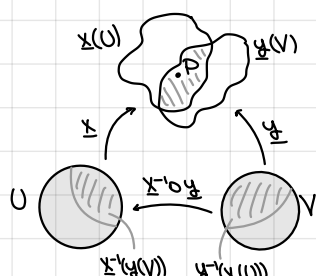
$$\underline{x}_u(p) \times \underline{x}_v(p) \neq 0 \quad \text{mk} \begin{pmatrix} x_u & x_v \\ y_u & y_v \\ z_u & z_v \end{pmatrix}(u_0, v_0) = 2$$

$\Rightarrow$  un minore  $2 \times 2$  è non singolare

$$\text{negl sia } \det \begin{pmatrix} x_u & x_v \\ y_u & y_v \end{pmatrix}(u_0, v_0) \neq 0$$

$$U \xrightarrow{\underline{x}} \mathbb{R}^3 \xrightarrow{\pi} \mathbb{R}^2$$

$$(u, v) \mapsto (x(u, v), y(u, v)) \in C^\infty$$



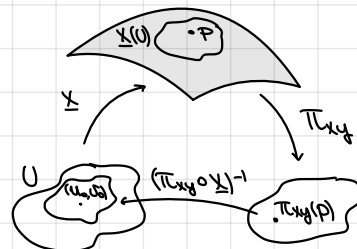
Per il teorema della funzione inversa,  $\pi_{xy} \circ \underline{\chi}$  è localmente invertibile intorno a  $(u_0, v_0)$

$$(\pi_{xy} \circ \underline{\chi}) \circ (\pi_{xy} \circ \underline{\chi})^{-1}(x, y) = (x, y)$$

$$\Rightarrow \underline{\chi}(\pi_{xy} \circ \underline{\chi})^{-1}(x, y) = (x, y, z(x, y))$$

Dato per superficie, intorno a  $p$  è il grafico di una funzione  $C^\infty$  rispetto a una delle 3 proiezioni  $\pi_{xy}, \pi_{yz}, \pi_{xz}$

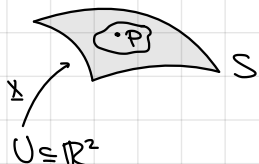
$$\underline{\chi}^{-1} \circ \underline{\gamma} = \underbrace{(\pi_{xy} \circ \underline{\chi})^{-1}}_{C^\infty} \underbrace{(\pi_{xy} \circ \underline{\chi})}_{C^\infty} \circ \underline{\chi}^{-1} \circ \underline{\gamma} = \underbrace{\underline{\chi}^{-1} \circ \underline{\gamma}}_{C^\infty}$$



$$T_p S = \langle \underline{\gamma}_u(p), \underline{\gamma}_v(p) \rangle$$

$$= \langle \underline{\gamma}_u(p), \underline{\gamma}_v(p) \rangle$$

Oss



P posso supporre  $U = D_\epsilon(0)$  con  $\underline{\chi}(0) = p$

$$t_{(u_0, v_0)} : \mathbb{R}^2 \longrightarrow \mathbb{R}^2$$

$$(u, v) \longmapsto (u+u_0, v+v_0)$$

$\Rightarrow \underline{\chi} \circ t_{(u_0, v_0)}$  è ancora una par. regolare intorno a  $p$ , con  $\underline{\chi} \circ t_{(u_0, v_0)}(0) = p$

esempio f.  $\mathbb{R}^3 \longrightarrow \mathbb{R}$

$$f(x, y, z) = x^2 + y^2 - z^2$$

$S = f^{-1}(0) = \{(x, y, z) : x^2 + y^2 - z^2 = 0\}$  è una superficie?

$$\nabla f = (2x, 2y, -2z)$$

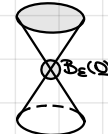
$$\nabla f(0) = 0 \in \Omega \subset S$$

intorno di 0,  $\{0\} = (S \cap \{z > 0\}) \cup (S \cap \{z < 0\})$  aperti nel cono non vuoti

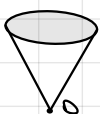
Ma se  $S$  fosse una superficie,  $0$  avrebbe un intorno della forma  $\underline{\chi}(D_\epsilon(0))$  omomorfo a  $D_\epsilon(0)$

Ma  $\underline{\chi}(D_\epsilon(0)) \setminus \{0\} = \underline{\chi}(D_\epsilon(0) \setminus \{0\})$  è connesso

Quindi  $S$  non è una superficie



$$S_+ := S \cap \{z \geq 0\}$$



è una superficie?

Se  $S_+$  fosse una superficie, un intorno di 0 in  $S_+$  sarebbe il grafico di una funzione  $C^\infty$  rispetto a una delle proiezioni  $\pi_{xy}, \pi_{yz}, \pi_{xz}$ . I punti di tale intorno sarebbero della forma, rispettivamente:

$$(u, v, Q(u, v)) \quad (Q(u, v), u, v) \quad (u, Q(u, v), v)$$

$$\text{Ma } (x, y, z) \in B_\epsilon(0) \cap S^+ \subseteq S^+ \Rightarrow (\pm x, \pm y, z) \in B_\epsilon(0) \cap S^+$$

Quindi gli ultimi due casi non sono possibili

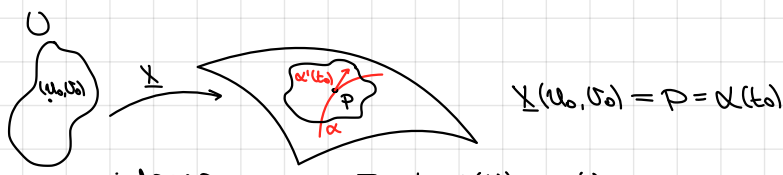
$$u^2 + v^2 - Q^2(u, v) = 0 \longrightarrow Q(u, v) = \sqrt{u^2 + v^2} \text{ che non è } C^\infty \text{ intorno a } 0$$

## curve su superfici

$\alpha: I \rightarrow \mathbb{R}^3$  curva regolare,  $I$  intervallo

sop  $\alpha(I) \subseteq S$  superficie

$t_0 \in I \quad \alpha'(t_0) \in T_{\alpha(t_0)}S$ ?



intorno a  $P \quad \exists \underline{\chi}^{-1}: \underline{\chi}(U) \rightarrow U$

A meno di considerare un piccolo intervallo intorno a  $t_0 \in I$ ,

posso supporre  $\alpha(I) \subseteq \underline{\chi}(U)$

$\underline{\chi}^{-1} \circ \alpha: I \rightarrow \mathbb{R}^2$

$\underline{\chi}^{-1} \circ \alpha(t) = (u(t), v(t))$

Considero una proiezione  $\pi: \mathbb{R}^3 \rightarrow \mathbb{R}^2$  t.c.  $\pi \circ \underline{\chi}$  è invertibile

con inversa  $C^\infty$  intorno a  $\pi(P = \underline{\chi}(u_0, v_0) = \alpha(t_0))$

$$\underline{\chi}^{-1} \circ \alpha = (\pi \circ \underline{\chi})^{-1} \circ (\pi \circ \underline{\chi}) \circ \underline{\chi}^{-1} \circ \alpha$$

$$\Rightarrow \underline{\chi}^{-1} \circ \alpha \in C^\infty$$

$\alpha(t) = \underline{\chi}(u(t), v(t))$  sempre vero localmente per una curva su una superficie

$$\Rightarrow \alpha'(t) = u'(t) \underline{\chi}_u(u(t), v(t)) + v'(t) \underline{\chi}_v(u(t), v(t))$$

$$\text{Valutando in } t_0, \text{ troviamo } \alpha'(t_0) = u'(t_0) \underline{\chi}_u(p) + v'(t_0) \underline{\chi}_v(p) \in T_p S$$

**proposizione**  $S \subseteq \mathbb{R}^3$  superficie,  $p \in S$ .

$$T_p S = \{ \alpha'(0) \mid \alpha: (-\varepsilon, \varepsilon) \rightarrow \mathbb{R}^3, \text{ traccia}(\alpha) \subseteq S, \alpha(0) = p \}.$$

DIMOSTRAZIONE

( $\supseteq$ ) appena visto

( $\subseteq$ )  $\underline{\chi}: D_\varepsilon(0) \rightarrow \mathbb{R}^3$  par. regolare intorno a  $p$ ,  $\underline{\chi}(0) = p$

$$\xi = a \underline{\chi}_u(p) + b \underline{\chi}_v(p) \in T_p S$$

$$\alpha(t) = \underline{\chi}(at, bt) \quad \alpha(0) = \underline{\chi}(0, 0) = p, \quad \alpha'(0) = a \underline{\chi}_u(p) + b \underline{\chi}_v(p) = \xi \quad \square$$

**esercizio**  $S \subseteq \mathbb{R}^3$  superficie connessa t.c.  $\exists q \in \mathbb{R}^3, q \notin S$ , tale che

ogni retta affine per  $p \in S$ , ortogonale a  $T_p S$ , passa per  $q$ .

Dimostrare che  $S \subseteq$  sfera.

**soluzione** Sia  $p \in S$ , sia  $R = \|p - q\| > 0$

$$S = \{ r \in S : \|r - q\| = R \} \cup \{ r \in S : \|r - q\| \neq R \} \\ p \in B \neq \emptyset \quad \text{A questo}$$

Basta mostrare che  $B$  è aperto

$r \in B, \underline{\chi}: U \rightarrow S \subseteq \mathbb{R}^3$  par. regolare intorno a  $r$ ,  $r = \underline{\chi}(u_0, v_0)$ ,  $U$  connesso

Basta far vedere che  $\underline{\chi}(U) \subseteq B$

$$f(u, v) = \|\underline{\chi}(u, v) - q\|^2 \quad f(u_0, v_0) = R^2$$

$$f_u = 2 \underline{\chi}_u \cdot (\underline{\chi} - q) \quad f_v = 2 \underline{\chi}_v \cdot (\underline{\chi} - q)$$

Per ipotesi,  $f_u = f_v = 0 \Rightarrow f$  è costante su  $U$ ,  $f = R^2$

### versore normale

$S \subseteq \mathbb{R}^3$  superficie,  $\underline{\chi}: U \rightarrow S$  par. regolare

In ogni punto  $\underline{\chi}(u, v)$  di  $\underline{\chi}(U)$ ,  $T_{\underline{\chi}(u,v)} S = \langle \underline{\chi}_u(u, v), \underline{\chi}_v(u, v) \rangle$

$\underline{\chi}_u(u, v) \times \underline{\chi}_v(u, v) \neq 0$  è normale

Definiamo  $\underline{n}_{\underline{\chi}}(u, v) := \frac{\underline{\chi}_u(u, v) \times \underline{\chi}_v(u, v)}{\|\underline{\chi}_u(u, v) \times \underline{\chi}_v(u, v)\|}$  versore normale

Fisso  $p \in S$ ,  $\underline{\chi}: U \rightarrow S$ ,  $\underline{\chi}(u_0, v_0) = p$ ,  $\underline{n}_{\underline{\chi}}(p) = \underline{n}_{\underline{\chi}}(u_0, v_0)$

$\underline{n}_{\underline{\chi}}$  può cambiare, cambiando parametrizzazione

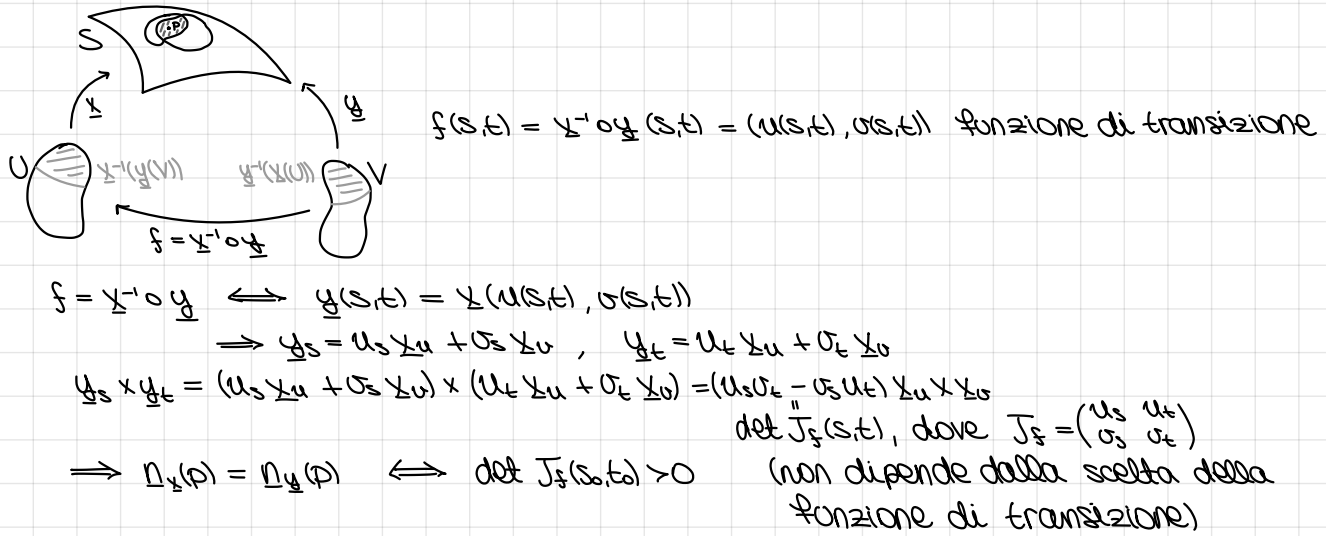
$$U = D_\varepsilon(Q) \xrightarrow{\underline{\chi}} S \text{ par. reg., } \underline{\chi}(Q) = p \rightarrow \underline{n}_{\underline{\chi}}(p)$$

$$D_\varepsilon(Q) \xrightarrow{\underline{\psi}} S$$

$$(u, v) \mapsto \underline{\chi}(u, -v)$$

$$\Rightarrow \underline{\chi}_u(Q) = \underline{\chi}_u(Q), \underline{\chi}_v(Q) = -\underline{\chi}_v(Q) \Rightarrow \underline{n}_{\underline{\chi}}(p) = -\underline{n}_{\underline{\chi}}(p)$$

Più in generale,  $\underline{\chi}: U \rightarrow S$ ,  $\underline{\chi}(u_0, v_0) = p$ ,  $\underline{\psi}: V \rightarrow S$ ,  $\underline{\psi}(s_0, t_0) = p$



**Def.**  $S \subseteq \mathbb{R}^3$  superficie si dice **orientabile** se esiste

$\{\underline{\chi}: U \rightarrow S\}$  par. regolari t.c.  $S = \bigcup \underline{\chi}(U)$  (con  $U$  connessi)

e due qualsiasi par. regolari hanno funzioni di transizione

con  $\det J_f > 0$ . Le par. regolari si dicono **compatibili** tra loro.

**ESEMPIO** Piani affini, grafici ed elicoidi sono orientabili perché immagini di un'unica par. regolare

**OSS**  $S \subseteq \mathbb{R}$ ,  $f: S \rightarrow \mathbb{R}$  è continua  $\iff \forall \underline{\chi}: U \rightarrow S$  par. regolare  $f \circ \underline{\chi}: U \rightarrow \mathbb{R}$  è continua

DIMOSTRAZIONE

$f: S \rightarrow \mathbb{R}$  è continua se lo è in ogni punto  $p \in S$

Se  $\underline{\chi}: U \rightarrow S$  par. regolare,  $f \circ \underline{\chi}$  è continua (composizione di continue)

Viceversa,  $f = (f \circ \underline{\chi}) \circ \underline{\chi}^{-1}$  è continua. □

**proposizione** Una superficie  $S \subseteq \mathbb{R}^3$  è orientabile se e solo se  
 $\exists \underline{n}: S \rightarrow \mathbb{R}^3$  continua t.c.  $\|\underline{n}(p)\| = 1$  e  
 $\text{Span}(\underline{n}(p)) = (T_p S)^\perp \quad \forall p \in S$  (mappa versore normale).

DIMOSTRAZIONE

$\Rightarrow \{\underline{x}: U \rightarrow S\}$  par regolari compatibili con  $S = \bigcup \underline{x}(U)$   
 $\forall p \in S$ , scelgo  $\underline{x}$  par. regolare intorno a  $p = \underline{x}(u_0, v_0)$  nella famiglia  
e pongo  $\underline{n}(p) = \underline{n}_{\underline{x}}(p)$ : è ben definito  
Per la continuità:  $\underline{n} \circ \underline{x}(u, v) = \underline{n}_{\underline{x}}(u, v) = \frac{\underline{x}_u(u, v) \times \underline{x}_v(u, v)}{\|\underline{x}_u(u, v) \times \underline{x}_v(u, v)\|} \in C^\infty$

$\Leftarrow \underline{n}: S \rightarrow \mathbb{R}$  mappa versore normale  
 $\forall p \in S$ ,  $\underline{x}: D_\Sigma(p) \rightarrow S$  par. regolare,  $\underline{x}(p) = p$   
 $\underline{n}_{\underline{x}}(p) = \pm \underline{n}(p)$ : se c'è il -, sostituisco  $\underline{x}$  con  $\underline{x}'(u, v) = \underline{x}(u, -v)$   
Facendolo  $\forall p \in S$ , si ottiene che  $S$  è orientabile.  $\square$

**esempio** le superfici di livello sono orientabili

$U \subseteq \mathbb{R}^2$  aperto,  $f: U \rightarrow \mathbb{R} C^\infty$ ,  $a \in \mathbb{R}$  valore regolare per  $f$   
 $\forall p \in f^{-1}(a)$ ,  $\underline{x}: U \rightarrow f^{-1}(a)$  par. regolare,  $\underline{x}(u_0, v_0) = p \quad \underline{x}(u, v) = (x(u, v), y(u, v), z(u, v))$   
 $f(\underline{x}(u, v)) = a \quad \forall (u, v) \in U$   
 $f(x(u, v), y(u, v), z(u, v))$   
 $\Rightarrow (\frac{\partial f}{\partial x} \circ \underline{x}) x_u + (\frac{\partial f}{\partial y} \circ \underline{x}) y_u + (\frac{\partial f}{\partial z} \circ \underline{x}) z_u = 0$   
 $(\frac{\partial f}{\partial x} \circ \underline{x}) x_v + (\frac{\partial f}{\partial y} \circ \underline{x}) y_v + (\frac{\partial f}{\partial z} \circ \underline{x}) z_v = 0$   
 $\Rightarrow \nabla f(\underline{x}(u, v)) \perp T_{\underline{x}(u, v)} f^{-1}(a) \Rightarrow \nabla f(p) \perp T_p f^{-1}(a) \quad \forall p \in f^{-1}(a)$   
 $\Rightarrow \underline{n}_p := \frac{\nabla f(p)}{\|\nabla f(p)\|} \in C^\infty$  mappa versore normale  $\Rightarrow f^{-1}(a)$  è orientabile

**proposizione**  $S \subseteq \mathbb{R}^3$  superficie orientabile

$\alpha: [a, b] \rightarrow S$  curva chiusa.

Se  $N: [a, b] \rightarrow \mathbb{R}^3$  è t.c.  $N(t)$  versore,  
 $N(a) \perp T_{\alpha(a)} S$ , allora  $N(b) = N(a)$ .

DIMOSTRAZIONE

$\underline{n}: S \rightarrow \mathbb{R}$  mappa versore normale

$\varphi: [a, b] \rightarrow \{-1, 1\}$

$$t \longmapsto \underline{n}(\alpha(t)) \cdot N(t)$$

Per connessione,  $\varphi(t) = \begin{cases} 1 \\ -1 \end{cases}$

$$\Rightarrow N(t) = \varepsilon \underline{n}(\alpha(t)), \varepsilon \in \{-1, 1\}$$

$$N(a) = \varepsilon \underline{n}(\alpha(a)) = \varepsilon \underline{n}(\alpha(b)) = N(b) \quad \square$$

esempio nastro di Möbius

$$\Pi_{2,1} = \underline{\gamma}(\mathbb{R}^2), \underline{\gamma}: \mathbb{R}^2 \longrightarrow \mathbb{R}^3$$

$$\underline{\gamma}(u,v) = ((2+\cos u)\cos v, (2+\cos u)\sin v, \sin u)$$

$\alpha(v) = (2\cos v, 2\sin v, 0)$  circonferenza dei centri

$$\beta(u) = (\cos \frac{u}{2} \cos u, \cos \frac{u}{2} \sin u, \sin \frac{u}{2})$$

$$\underline{\gamma}: \mathbb{R} \times (-1,1) \longrightarrow \mathbb{R}^3$$

$$(u,s) \longmapsto \alpha(u) + s\beta(u)$$

$M = \underline{\gamma}(\mathbb{R} \times (-1,1)) = \bigcup_{v \in \mathbb{R}} \underline{\gamma}([v] \times (-1,1))$  è il nastro di Möbius (è una superficie)

$$N: [0, 2\pi] \longrightarrow M$$

$$N(v) = \frac{\underline{\gamma}_v(0,0) \times \underline{\gamma}_v(0,0)}{\|\underline{\gamma}_v(0,0) \times \underline{\gamma}_v(0,0)\|}$$

$$\alpha: [0, 2\pi] \longrightarrow M \text{ e } \alpha(0) = \alpha(2\pi)$$

Se  $M$  fosse orientabile, allora dovrebbe valere  $N(0) = N(2\pi)$

Vogliamo confrontare  $N(v)$  con  $N(v+2\pi)$

$$\underline{\gamma}(v+2\pi, s) = \alpha(v+2\pi) + s\beta(v+2\pi) = \alpha(v) - s\beta(v) = \underline{\gamma}(v, -s)$$

$$\Rightarrow \underline{\gamma}_v(v+2\pi, s) = \underline{\gamma}_v(v, -s) \text{ e } \underline{\gamma}_s(v+2\pi, s) = -\underline{\gamma}_s(v, -s)$$

$$\text{Per } v=0, s=0: \underline{\gamma}_v(2\pi, 0) = \underline{\gamma}_v(0, 0) \text{ e } \underline{\gamma}_s(2\pi, 0) = -\underline{\gamma}_s(0, 0)$$

$$\Rightarrow N(2\pi) = -N(0) \Rightarrow M \text{ non è orientabile}$$

## operatore forma

**Def.** Data  $S \subseteq \mathbb{R}^3$  superficie,  $f: S \rightarrow \mathbb{R}^3$  è  $C^\infty$   
 se  $f \circ \underline{\chi}$  è  $C^\infty$   $\forall \underline{\chi}: U \rightarrow S$  par. regolare

$f: S \rightarrow \mathbb{R}^3$ ,  $p \in S$ ,  $\xi \in T_p S$  ( $\xi = \alpha'(0)$  con  $\alpha: (-\varepsilon, \varepsilon) \rightarrow S$ ,  $\alpha(0) = p$ )

$$D_\xi f := (f \circ \alpha)'(0) \in \mathbb{R}^3$$

$\underline{\chi}: U \rightarrow S$  par. regolare,  $\underline{\chi}(u_0, v_0) = p$

$$\alpha(t) = \underline{\chi}(u(t), v(t))$$
 con  $u, v \in C^\infty$

$$\dot{\xi} = \alpha'(0) = u'(0) \underline{\chi}_u(p) + v'(0) \underline{\chi}_v$$

$$D_\xi f = (f \circ \alpha)'(0) = \frac{d}{dt} f(\underline{\chi}(u(t), v(t))) \Big|_{t=0} = u'(0) (f \circ \underline{\chi})_u(u_0, v_0) + v'(0) (f \circ \underline{\chi})_v(u_0, v_0)$$

(non dipende da  $\alpha$ )

Inoltre  $\xi \mapsto D_\xi f$  è lineare in  $\xi$

Inoltre il membro di sinistra non dipende da  $\underline{\chi}$ .

**Oss** Se  $\underline{n}: S \rightarrow \mathbb{R}^3$  mappa versore normale,

intorno ad ogni punto  $p \in S$ ,  $\underline{n}(q) = \underline{n}_{\underline{\chi}}(q)$ ,  $\forall q \in \underline{\chi}(U)$ ,  $\underline{\chi}: U \rightarrow S$  par. regolare,  $p \in \underline{\chi}(U)$

$$\Rightarrow \underline{n} \circ \underline{\chi}: U \rightarrow \mathbb{R}^3, \quad \underline{n}(\underline{\chi}(u, v)) = \underline{n}_{\underline{\chi}}(u, v) = \frac{\underline{\chi}_u(u, v) \times \underline{\chi}_v(u, v)}{\|\underline{\chi}_u(u, v) \times \underline{\chi}_v(u, v)\|} \in C^\infty \text{ su } U$$

$\Rightarrow \underline{n} \in C^\infty$ .

$\underline{n}: S \rightarrow \mathbb{R}^3$  mappa versore normale,  $p \in S$ ,  $\xi \in T_p S$

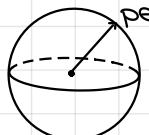
$$D_\xi \underline{n} = (\underline{n} \circ \alpha)'(0) \quad \text{con } \alpha: (-\varepsilon, \varepsilon) \rightarrow S, \alpha(0) = p$$

$$\underline{n}(\alpha(t)) \cdot \underline{n}'(\alpha(t)) = 1 \Rightarrow 2 D_\xi \underline{n} \cdot \underline{n}'(\alpha(0)) = 0 \Leftrightarrow D_\xi \underline{n} \in T_p S$$

$$\Rightarrow \text{Sp}: T_p S \longrightarrow T_p S \quad \underline{n}: S \rightarrow \mathbb{R}^3 \text{ versore normale}$$

$\xi \mapsto -D_\xi \underline{n}$  è l'**operatore forma**

**ESEMPIO**  $S_a^2 = \{x \in \mathbb{R}^3 \mid \|x\| = a > 0\}$



$p \perp T_p S_a^2: \xi = \alpha'(0) \in T_p S_a^2$ , con  $\alpha: (-\varepsilon, \varepsilon) \rightarrow S_a^2$ ,  $\alpha(0) = p$

$$\alpha(t) \cdot \alpha'(t) = 1 \Rightarrow 2 \xi \cdot p = 0$$

Perciò  $\underline{n}: S_a^2 \rightarrow \mathbb{R}^3$

$$p \mapsto \frac{1}{a} p$$

$$D_\xi \underline{n} = \frac{d}{dt} \underline{n}(\alpha(t)) \Big|_{t=0} = \frac{d}{dt} \frac{1}{a} \alpha(t) \Big|_{t=0} = \frac{1}{a} \alpha'(0) = \frac{1}{a} \xi$$

$$\text{Quindi } \text{Sp}(\xi) = -D_\xi \underline{n} = -\frac{1}{a} \xi$$

$$\text{ossia } \text{Sp}: T_p S_a^2 \longrightarrow T_p S_a^2, \quad \text{Sp} = -\frac{1}{a} \text{Id}_{T_p S_a^2}.$$

**Proposizione**  $S \subseteq \mathbb{R}^3$  superficie,  $\eta: S \rightarrow \mathbb{R}^3$  versore normale  
 Allora  $\forall \xi, \eta \in T_p S$ ,  $p \in S$  qualunque  
 $S_p \xi \cdot \eta = \xi \cdot S_p \eta$ , ovvero  
 $S_p$  è autoaggiunto rispetto al prodotto  
 scalare standard

DIMOSTRAZIONE

$\underline{\chi}: U \rightarrow S$  per. regolare,  $\underline{\chi}(u_0, v_0) = p$

E' sufficiente verificare che

$$S_p \underline{\chi}_u(p) \cdot \underline{\chi}_v(p) = \underline{\chi}_u(p) \cdot S_p \underline{\chi}_v(p) \quad (\text{per linearità})$$

$$\underline{\chi}_u(p) = \underline{\chi}_u(u_0, v_0) = \frac{d}{du} \underline{\chi}(u, v_0) \Big|_{u=u_0}$$

$$\underline{\chi}_v(p) = \underline{\chi}_v(u_0, v_0) = \frac{d}{dv} \underline{\chi}(u_0, v) \Big|_{v=v_0}$$

$$-S_p \underline{\chi}_u(p) = \frac{d}{du} \Big|_{u=u_0} \underline{\chi}(u, v_0) = D \underline{\chi}_u(p) \underline{\chi}$$

$$\frac{d}{du} (\underline{\chi}(u, v_0)) \cdot \underline{\chi}_v(u, v_0) \equiv 0 \quad u \in (u_0 - \varepsilon, u_0 + \varepsilon)$$

$$\Leftrightarrow -S_p \underline{\chi}_u(p) \cdot \underline{\chi}_v(p) + \underline{\chi}(p) \cdot S_p \underline{\chi}_v(p) = 0$$

$$-S_p \underline{\chi}_v(p) = \frac{d}{dv} \Big|_{v=v_0} \underline{\chi}(u_0, v) =$$

$$\frac{d}{dv} (\underline{\chi}(u_0, v)) \cdot \underline{\chi}_u(u_0, v) \equiv 0 \quad \left. \right)$$

$$\Leftrightarrow -S_p \underline{\chi}_v(p) \cdot \underline{\chi}_u(p) + \underline{\chi}(p) \cdot S_p \underline{\chi}_u(p) = 0$$

Facendo la differenza membro a membro

$$S_p \underline{\chi}_u(p) \cdot \underline{\chi}_v(p) = \underline{\chi}_u(p) \cdot S_p \underline{\chi}_v(p)$$

□

$\Sigma \subseteq \mathbb{R}^3$  superficie,  $p \in \Sigma$ ,  $\underline{\eta}: \Sigma \rightarrow \mathbb{R}^3$  versore normale

Arriveremo a interpretare i numeri  $S_p w \cdot w \quad \forall w \in T_p \Sigma, \|w\|=1$

Vogliamo studiare  $\pi \cap \Sigma$  con  $\pi$  piano affine passante per  $p$   
 contenente  $p + \langle w \rangle$

$\underline{\chi}: U \rightarrow \Sigma, \underline{\chi}(u_0, v_0) = p$

$$\pi = \{x \in \mathbb{R}^3 \mid (a, b, c) \cdot x = d\}$$

$$\underline{\chi}^{-1}(\pi \cap \Sigma) = \{(u, v) \in U \mid (a, b, c) \cdot \underline{\chi}(u, v) = d\} \\ f(u, v)$$

$$f(u, v) = d \Rightarrow 0 = f_u(u_0, v_0) = (a, b, c) \cdot \underline{\chi}_u(p)$$

$$0 = f_v(u_0, v_0) = (a, b, c) \cdot \underline{\chi}_v(p)$$

$$\pi \neq T_p \Sigma \iff (a, b, c) \notin T_p \Sigma, \text{ cioè } (f_u(u_0, v_0), f_v(u_0, v_0)) \neq (0, 0)$$

una delle due derivate parziali è diversa da 0 in  $(u_0, v_0)$

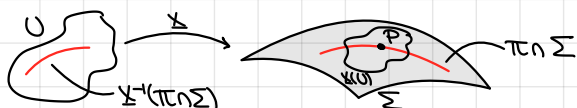
Se ad esempio  $f_v(u_0, v_0) \neq 0$ , per il Teorema della funzione implicita,

$$\exists v = v(u) \text{ t.c. } v(u_0) = v_0, \quad f(u, v(u)) = d \quad \text{con } u \text{ vicino a } u_0$$

In particolare, vicino a  $(u_0, v_0)$ ,  $\underline{\chi}^{-1}(\pi \cap \Sigma)$  è parametrizzato da  $u \mapsto (u, v(u))$

$\Rightarrow \pi \cap \Sigma$  è parametrizzato da  $\alpha(u) = \underline{\chi}(u, v(u))$ ,  $\alpha(u_0, v_0) = \underline{\chi}(u_0, v_0) = p$

$$\alpha'(u_0) = \underline{\chi}_u(p) + v'(u_0) \underline{\chi}_v(p) \neq 0$$

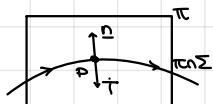


$$\text{Oss} \quad (a, b, c)^\perp = \text{giac}(\pi)$$

Abbiamo verificato che vicino a  $p$ ,  $\pi \cap \Sigma$  puo' essere parametrizzata da una curva regolare  $\alpha: I \rightarrow \Sigma$ ,  $\alpha(u_0) = p$ ,  $\alpha$  pla (se  $\pi \neq T_p \Sigma$ ) Possiamo supporre  $\alpha'(u_0) = w = T_\alpha(u_0)$

$$\begin{aligned} n(\alpha(u)) \cdot \alpha'(u) &= 0 \\ \Rightarrow -S_p w \cdot w + \Omega(p) \cdot T_\alpha(u_0) &= 0 \\ \text{cioè } S_p w \cdot w = \Omega(p) \cdot T_\alpha(u_0) &=: K_n(p, w) \quad \text{curvatura normale (nella direzione } w) \\ &\text{dipende solo da } \Sigma, p, w \text{ non da } \pi \end{aligned}$$

Se scegliamo  $\pi \perp T_p \Sigma$



La curva  $\alpha$  è planare: tutte le direzioni di  $\alpha$  stanno nella giacitura di  $\pi$

$$T_\alpha(u_0) \parallel \Omega(p) \quad (\text{stanno in } \pi \text{ e sono } \perp T_\alpha(u_0))$$

$$\text{quindi } |K_n(p, w)| = |\Omega(p) \cdot T_\alpha(u_0)| = |T_\alpha(u_0)| = k_\alpha(u_0) \quad \text{curvatura della sezione normale}$$

**Def.** Gli autospazi (ortogonali se ho per autovectori) di  $S_p: T_p \Sigma \rightarrow T_p \Sigma$  si dicono **direzioni principali**.

Gli autovectori corrispondenti si dicono **curvature principali**.

Se  $e$  è  $S_p$ -autovettore con  $\|e\|=1$  e  $S_p e = k e$ , allora

$$K_n(p, e) = S_p e \cdot e = k e \cdot e = k$$

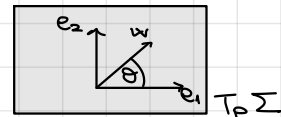
### Formula di Euler

$p \in \Sigma$ ,  $\Omega: \Sigma \rightarrow \mathbb{R}^3$ ,  $S_p: T_p \Sigma \rightarrow T_p \Sigma$  e supponiamo  $S_p \neq \lambda \text{Id}_{T_p \Sigma}$

Allora ci sono  $e_1, e_2 \in T_p \Sigma$  autovettori ortonormali:  $S_p e_i = k_i e_i$ ,  $\|e_i\|=1$

Sia  $w \in T_p \Sigma$ ,  $\|w\|=1 \Rightarrow w = \cos \theta e_1 + \sin \theta e_2$ ,  $\theta \in [0, 2\pi]$

$$\text{Allora } K_n(p, w) = S_p w \cdot w = \cos^2 \theta k_1 + \sin^2 \theta k_2$$



**proposizione** Nelle ipotesi precedenti,

$$K_n(p, w) = \cos^2 \theta k_1 + \sin^2 \theta k_2, \quad \theta \in [0, 2\pi]$$

Supponiamo  $k_1 \leq k_2$ :

$$\cos^2 \theta k_1 + \sin^2 \theta k_2 = k_1 + (k_2 - k_1) \sin^2 \theta \in [k_1, k_2]$$

**corollario**  $\{K_n(p, w) \mid w \in T_p \Sigma, \|w\|=1\} = [k_1, k_2]$

**Def.**  $p \in \Sigma$ ,  $\Omega: \Sigma \rightarrow \mathbb{R}^3$ ,  $S_p: T_p \Sigma \rightarrow T_p \Sigma$

La **curvatura gaussiana** di  $\Sigma$  in  $p$  è  $K(p) := \det(S_p)$

La **curvatura media** di  $\Sigma$  in  $p$  è  $H(p) := \frac{1}{2} \text{tr}(S_p)$

Se  $K=0$ ,  $\Sigma$  si dice **piatta**. Se  $H=0$ ,  $\Sigma$  si dice **minima**.

Oss Se  $\Sigma = S^2_\alpha$ ,  $S_p = -\frac{1}{\alpha} \text{Id}_{T_p S^2_\alpha}$   
allora  $K = \frac{1}{\alpha^2}$ ,  $H = -\frac{1}{\alpha}$

**Def.**  $\Sigma \subseteq \mathbb{R}^3$  superficie, allora chiamiamo I forma fondamentale di  $\Sigma$  la famiglia

$$\left. \begin{array}{l} I_p : T_p \Sigma \times T_p \Sigma \longrightarrow \mathbb{R} \\ (\xi, \eta) \longmapsto \xi \cdot \eta \end{array} \right\}_{p \in \Sigma}$$

Se abbiamo  $\eta : \Sigma \rightarrow \mathbb{R}^3$ ,  $S_p : T_p \Sigma \rightarrow T_p \Sigma$ , chiamiamo II forma fondamentale di  $\Sigma$  la famiglia

$$\left. \begin{array}{l} II_p : T_p \Sigma \times T_p \Sigma \longrightarrow \mathbb{R} \\ (\xi, \eta) \longmapsto S_p \xi \cdot \eta \end{array} \right\}_{p \in \Sigma}$$

Oss Cosa succede se passiamo da  $\eta$  a  $-\eta$ ?

$$S_p \mapsto -S_p$$

le curvature normali cambiano segno, le curvature principali cambiano segno,  
 $K$  non cambia segno,  $H$  cambia segno. La Iff non cambia, la IIf non cambia, la IIff si

### Classificazione dei punti sulle superfici

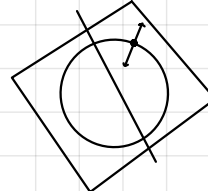
$p \in \Sigma$	1. $K(p) > 0$	$p$ ellittico
	2. $K(p) < 0$	$p$ iperbolico
	3. $K(p) = 0$ , $S_p \neq 0$	$p$ parabolico
	4. $K(p) = 0$ , $S_p = 0$	$p$ planare

non serve prendere una normale

#### Esempio (1) piano affine

$\exists \Omega : \pi \rightarrow \mathbb{R}^3$  costante  $\Rightarrow S_p \equiv 0$ , cioè ogni punto è planare:  $S_p W \cdot W \equiv 0$ ,  $K_n(p, W) \equiv 0$

(2)  $S^2_\alpha(\Omega)$ , allora per  $p \in S^2_\alpha$  vale  $K(p) = \frac{1}{\alpha^2} > 0$ : punti ellittici  
 $|K_n(p, W)| = \frac{1}{\alpha}$  a seconda della normale scelta



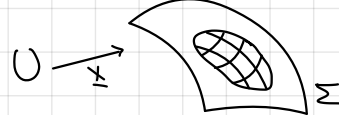
$p \in \Sigma$ ,  $\eta : \Sigma \rightarrow \mathbb{R}^3$ ,  $\chi : U \rightarrow \Sigma$ ,  $\chi(u_0, v_0) = p$   
 $\chi(u, v) \in \chi(U)$ :  $(\chi_u(u, v), \chi_v(u, v))$  base di  $T_{\chi(u,v)} \Sigma$

Ora in tale base

$I_p$  ha matrice associata  $\begin{pmatrix} E & F \\ F & G \end{pmatrix}$  dove  $E, F, G : U \rightarrow \mathbb{R} C^\infty$   
coeffienti di I

$II_p$  ha matrice associata  $\begin{pmatrix} l & m \\ m & n \end{pmatrix}$  dove  $l, m, n : U \rightarrow \mathbb{R} C^\infty$   
coeffienti di II

$S_p$  ha matrice associata  $\begin{pmatrix} a & c \\ b & d \end{pmatrix}$  dove  $a, b, c, d : U \rightarrow \mathbb{R} C^\infty$   
coeffienti di  $S_p$



come forme quadratiche

$$I_p(\xi, \eta) = \langle S_p \xi, \eta \rangle = I_p(S_p \xi, \eta) = I_p(\xi, S_p \eta)$$

Scevrendo tutto in coordinate rispetto a  $\chi_u(p), \chi_v(p)$

$$\begin{aligned} X \text{ vettore colonna delle coordinate di } \xi, Y \text{ vettore colonna delle coordinate di } \eta \\ \text{Quindi } t_X \begin{pmatrix} l & m \\ m & n \end{pmatrix} Y = t_X \begin{pmatrix} E & F \\ F & G \end{pmatrix} \begin{pmatrix} a & c \\ b & d \end{pmatrix} Y \implies \begin{pmatrix} l & m \\ m & n \end{pmatrix} = \begin{pmatrix} E & F \\ F & G \end{pmatrix} \begin{pmatrix} a & c \\ b & d \end{pmatrix} \implies l_n - m^2 = (EG - F^2) K \\ \implies K = \frac{l_n - m^2}{EG - F^2} \end{aligned}$$

Formule per  $\underline{e}, \underline{m}, \underline{n}$  e  $E, F, G$ :

$$E(u, v) = I(\underline{x}(u, v), \underline{x}_u(u, v)) = \underline{x}_u \cdot \underline{x}_u$$

$$\text{Analogamente } F = \underline{x}_u \cdot \underline{x}_v \quad G = \underline{x}_v \cdot \underline{x}_v$$

$$P = \underline{x}(u_0, v_0), \quad \underline{n} : \Sigma \rightarrow \mathbb{R}^3 \text{ versore normale}$$



$$0 = \underline{n}(\underline{x}(u, v)) \cdot \underline{x}_u(u, v)$$

$$\xrightarrow{\frac{\partial}{\partial u}|_{u=u_0}} -S_p \underline{x}_u(P) \cdot \underline{x}_u(P) + \Omega(P) \cdot \underline{x}_{uu}(P) = 0 \implies \Omega = \underline{n} \cdot \underline{x}_{uu}$$

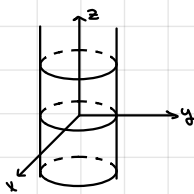
$$\text{Derivando in } u \quad 0 = \Omega(\underline{x}(u, v)) \cdot \underline{x}_v(u, v) \text{ troviamo } m = \underline{n} \cdot \underline{x}_{uv}$$

$$\text{Derivando in } v \quad 0 = \Omega(\underline{x}(u_0, v)) \cdot \underline{x}_v(u_0, v) \text{ troviamo } n = \underline{n} \cdot \underline{x}_{vv}$$

esercizio Cilindro di raggio R

$$C = \underline{x}(\mathbb{R}^2), \quad \underline{x} : \mathbb{R}^2 \rightarrow \mathbb{R}^3$$

SOLUZIONE



$$(u, v) \mapsto (R \cos u, R \sin u, v)$$

$$\underline{n}(\underline{x}(u, v)) = (\cos u, \sin u, 0)$$

$$\text{Infatti } \underline{x}_u = (-R \sin u, R \cos u, 0), \quad \underline{x}_v = (0, 0, 1)$$

$$\underline{x}_u \cdot \underline{x}_v = (R \cos u, R \sin u, 0) = R(\cos u, \sin u, 0)$$

$$\text{Iff: } \begin{pmatrix} R^2 & 0 \\ 0 & 1 \end{pmatrix}$$

$$\underline{x}_{uu} = -R(\cos u, \sin u, 0) \quad \underline{x}_{uv} = 0, \quad \underline{x}_{vv} = 0$$

$$\implies \Omega = \underline{n} \cdot \underline{x}_{uu} = -R, \quad m = 0, \quad n = 0$$

$$\text{IIff: } \begin{pmatrix} -R & 0 \\ 0 & 0 \end{pmatrix}$$

$$\begin{pmatrix} a & c \\ b & d \end{pmatrix} = \begin{pmatrix} \frac{1}{R^2} & 0 \\ 0 & 1 \end{pmatrix} \begin{pmatrix} -R & 0 \\ 0 & 0 \end{pmatrix} = \begin{pmatrix} -\frac{1}{R^2} & 0 \\ 0 & 0 \end{pmatrix}$$

$$\text{Curvature principali: } -\frac{1}{R}, 0$$

$$\implies \text{curvature normali } k_n(p, v) : [-\frac{1}{R}, 0]$$

$$K = k_1 k_2 = 0, \quad S_p \neq 0 \implies \text{tutti i punti sono parabolici}$$

↪ C è piatta

esercizio Classificare i punti dell'elissoide

$$\text{SOLUZIONE } \underline{x}(\mathbb{R}^2 \times \mathbb{R}) \quad \underline{x}(u, v) = (u \cos v, u \sin v, bv), \quad b > 0$$

$$\underline{x}_u = (\cos v, \sin v, 0) \quad \underline{x}_v = (-u \sin v, u \cos v, b)$$

$$\text{Iff: } \begin{pmatrix} 1 & 0 \\ 0 & u^2 + b^2 \end{pmatrix}$$

$$\underline{x}_u \times \underline{x}_v = (b \sin v, -b \cos v, u) \quad \|\underline{x}_u \times \underline{x}_v\|^2 = b^2 + u^2$$

$$\implies \Omega(\underline{x}(u, v)) = \frac{1}{\sqrt{u^2 + b^2}} (b \sin v, -b \cos v, u)$$

$$\underline{x}_{uu} = 0, \quad \underline{x}_{uv} = (-\sin v, \cos v, 0) \quad \underline{x}_{vv} = -u(\cos v, \sin v, 0)$$

$$\Omega = \underline{n} \cdot \underline{x}_{uu} = 0, \quad m = \underline{x}_{uv} \cdot \underline{n} = \frac{-b}{\sqrt{u^2 + b^2}}, \quad n = \underline{x}_{vv} \cdot \underline{n} = 0$$

$$S_p = \begin{pmatrix} a & c \\ b & d \end{pmatrix} = \begin{pmatrix} 1 & 0 \\ 0 & \frac{1}{u^2 + b^2} \end{pmatrix} \begin{pmatrix} 0 & -\frac{b}{\sqrt{u^2 + b^2}} \\ -\frac{b}{\sqrt{u^2 + b^2}} & 0 \end{pmatrix} = \begin{pmatrix} 0 & -\frac{b}{(u^2 + b^2)^{1/2}} \\ -\frac{b}{(u^2 + b^2)^{1/2}} & 0 \end{pmatrix}$$

$$K = -\frac{b^2}{(u^2 + b^2)^2} < 0 \implies \text{ogni punto è iperbolico}$$

$$H = \frac{1}{2} \text{tr } S_p = 0 = \frac{1}{2} (k_1 + k_2) \implies k_1 = -k_2, \quad k_1 k_2 = K$$

$$k_{1,2} = \pm \frac{b}{u^2 + b^2} \quad \text{curvature principali}$$

↪ L'elissoide è una superficie minima

esercizio Classificare i punti del toro  $T_{a,b}$ ,  $a>b>0$

soluzione  $T_{a,b} = \underline{\gamma}(R^3)$   $\underline{\gamma}(u,v) = ((a+b\cos u)\cos v, (a+b\cos u)\sin v, b\sin u)$

$$\underline{\gamma}_u = (-b\sin u \cos v, -b\sin u \sin v, b\cos u)$$

$$\underline{\gamma}_v = -(a+b\cos u)\sin v, (a+b\cos u)\cos v, 0) = (a+b\cos u)(-\sin v, \cos v, 0)$$

$$\underline{\gamma}_u \times \underline{\gamma}_v = (a+b\cos u)(-b\cos u \cos v, -b\cos u \sin v, -b\sin u) = -b(a+b\cos u)(\cos u \sin v, \cos u \cos v, \sin u)$$

$$\Rightarrow \underline{n}(\underline{\gamma}(u,v)) = -(a\cos u \cos v, a\cos u \sin v, \sin u)$$

$$I_p = \begin{pmatrix} b^2 & 0 \\ 0 & (a+b\cos u)^2 \end{pmatrix}$$

$$l = \underline{\gamma}_{uu} \cdot \underline{n} = -b(\cos u \cos v, \cos u \sin v, \sin u) \cdot \underline{n} = b$$

$$m = \underline{\gamma}_{uv} \cdot \underline{n} = -b\cos u(\cos v, -\sin v, 0) \cdot \underline{n} = 0$$

$$n = \underline{\gamma}_{vv} \cdot \underline{n} = -(a+b\cos u)(\cos v, \sin v, 0) \cdot \underline{n} = \cos u(a+b\cos u)$$

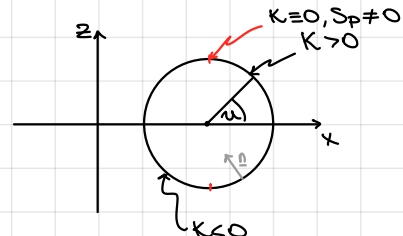
$$S_p = \begin{pmatrix} a & c \\ b & d \end{pmatrix} = \begin{pmatrix} \frac{1}{b^2} & 0 \\ 0 & \frac{1}{(a+b\cos u)^2} \end{pmatrix} \begin{pmatrix} b & 0 \\ 0 & \cos u(a+b\cos u) \end{pmatrix} = \begin{pmatrix} \frac{1}{b} & 0 \\ 0 & \frac{\cos u}{a+b\cos u} \end{pmatrix}$$

$$\text{Curvature principali: } \frac{1}{b}, \frac{\cos u}{a+b\cos u}$$

$$\text{Punti ellittici: } -\frac{\pi}{2} < u < \frac{\pi}{2}$$

$$\text{Punti parabolici: } u = \pm \frac{\pi}{2}$$

$$\text{Punti iperbolici: } \frac{\pi}{2} < u < \frac{3\pi}{2}$$



esercizio  $\Sigma \subseteq R^3$  superficie connessa

Se  $S_p = K(p) \text{ Id}_{T_p \Sigma} \forall p \in \Sigma$ , allora

(1)  $K$  è costante

(2)  $K \neq 0 \Rightarrow \Sigma \subseteq$  sfera

(3)  $K=0 \Rightarrow \Sigma \subseteq$  piano

soluzione E' sufficiente mostrare che  $K$  è localmente costante

$p \in \Sigma$ ,  $A = \{q \in \Sigma \mid K(q) = K(p)\}$  è aperto non vuoto

$B = \{q \in \Sigma \mid K(q) \neq K(p)\}$  è aperto  $\Rightarrow B = \emptyset$

Sia  $p \in \Sigma \subset \underline{\gamma}: U \rightarrow \Sigma$  per. regolare,  $\underline{\gamma}(U) \ni p_0$ ,  $U$  connesso

Per ipotesi,  $\forall p \in \underline{\gamma}(U)$   $S_p \underline{\gamma}_u = K(p) \underline{\gamma}_u$ ,  $S_p \underline{\gamma}_v = K(p) \underline{\gamma}_v$  (è equivalente all'ipotesi)

$$(*) \left\{ \begin{array}{l} (\underline{n} \circ \underline{\gamma})_u + K \underline{\gamma}_u = 0 \xrightarrow{\partial_u} (\underline{n} \circ \underline{\gamma})_{uu} + K_u \underline{\gamma}_u + K \underline{\gamma}_{uu} = 0 \\ (\underline{n} \circ \underline{\gamma})_v + K \underline{\gamma}_v = 0 \xrightarrow{\partial_v} (\underline{n} \circ \underline{\gamma})_{vv} + K_v \underline{\gamma}_v + K \underline{\gamma}_{vv} = 0 \end{array} \right. \quad \begin{array}{l} -(\underline{n} \circ \underline{\gamma})_u \\ -(\underline{n} \circ \underline{\gamma})_v \end{array}$$

$$\begin{aligned} &\Rightarrow K_u \underline{\gamma}_u - K_v \underline{\gamma}_v = 0 \Rightarrow K_u = K_v = 0 \\ &\Rightarrow K \text{ localmente costante} \Rightarrow K = K_0 \end{aligned}$$

Ora

$$(*) \iff \begin{cases} (\underline{n} \circ \underline{\gamma} + K_0 \underline{\gamma})_u = 0 \\ (\underline{n} \circ \underline{\gamma} + K_0 \underline{\gamma})_v = 0 \end{cases}$$

$\Rightarrow \underline{n} \circ \underline{\gamma} + K_0 \underline{\gamma}: \Sigma \rightarrow R^3$  è localmente costante quindi costante

Se  $K_0 = 0$ ,  $\underline{n}(\underline{\gamma}(u,v)) = \underline{n}_0$

$$\begin{cases} \underline{n}_0 \cdot \underline{\gamma}_u = 0 \\ \underline{n}_0 \cdot \underline{\gamma}_v = 0 \end{cases} \iff \begin{cases} (\underline{n}_0 \cdot \underline{\gamma})_u = 0 \\ (\underline{n}_0 \cdot \underline{\gamma})_v = 0 \end{cases} \Rightarrow \underline{n}_0 \text{ loc. cost}$$

$$\Rightarrow \Omega_0 \cdot \chi = d \Rightarrow \chi(U) \subseteq \text{piano affine}$$

$$\text{Se } k_0 \neq 0, \quad \Omega_0 \cdot \chi + k_0 \cdot \chi = p_0 \in \mathbb{R}^3$$

$$\text{Su } \chi(U): \quad \chi(u, v) = p_0 - \frac{1}{k_0} \Omega(\chi(u, v))$$

$$\Rightarrow \|\chi(u, v) - p_0\| = \frac{1}{|k_0|} H(u, v) \in U$$

$$\Rightarrow \chi(U) \subseteq S_{p_0}^2(\frac{1}{|k_0|})$$

$$\text{Poiché } \Sigma \text{ è connessa, } \Sigma \subseteq S_{p_0}^2(\frac{1}{|k_0|})$$

esercizio  $\Sigma \subseteq \mathbb{R}^3$  superficie compatta

Allora  $\Sigma$  ha almeno un punto ellittico.

soluzione  $f: \mathbb{R}^3 \rightarrow \mathbb{R}, f(p) = p \cdot p = \|p\|^2$

$f|_\Sigma$  ammette un punto di massimo  $p_0$

Idea: mostriamo che tutte le curvature normali hanno lo stesso segno

$$\Rightarrow K(p_0) = k_1(p_0) \cdot k_2(p_0) > 0$$

$\alpha: (-\varepsilon, \varepsilon) \rightarrow \Sigma, \alpha(0) = p_0$  curva pla

$g(t) = f(\alpha(t)): (-\varepsilon, \varepsilon) \rightarrow \mathbb{R} C^\infty$  ha massimo in 0

$$\Rightarrow g'(0) = 0, g''(0) \leq 0$$

$$f'(\alpha(t)) = \alpha(t) \cdot \alpha'(t) \Rightarrow g'(t) = 2\alpha'(t) \cdot \alpha(t)$$

$$0 = g'(0) = 2\alpha'(0) \cdot p_0 \quad \forall \alpha \Rightarrow p_0 \perp T_{p_0} \Sigma$$

In versore normale intorno a  $p_0$  t.c.  $p_0 = \|p_0\| \Omega(p_0)$

$$g''(t) = 2\alpha''(t) \cdot \alpha(t) + 2\alpha'(t) \cdot \alpha'(t) = 2\alpha''(t) \cdot \alpha(t) + 2$$

$$0 \geq g''(0) = 2 \underbrace{[\|p_0\| T_\alpha \cdot \Omega(p_0) + 1]}_{K_n(p_0, \alpha'(0))}$$

$$\Rightarrow K_n(p_0, \alpha'(0)) \leq -\frac{1}{\|p_0\|} < 0$$

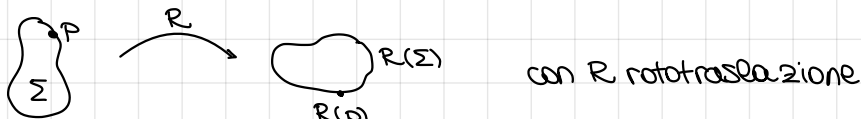
esercizio  $\Sigma \subseteq \mathbb{R}^3$  superficie

(a)  $p \in \Sigma$  ellittico  $\Rightarrow \exists$  intorno di  $p$  in  $\Sigma$  contenuto dalla stessa parte di  $p + T_p \Sigma$

(b)  $p \in \Sigma$  iperbolico  $\Rightarrow \exists$  intorno di  $p$  in  $\Sigma$  contenuto dalla stessa parte di  $p + T_p \Sigma$

(c)  $p \in \Sigma$  parabolico  $\Rightarrow$  entrambe le possibilità sono realizzate o planare

soluzione



con  $R$  rototraslazione

Poiché le rototraslazioni non alterano le curvature delle curve,

le curvature normali in  $p$  coincidono (a meno del segno)

con le curvature normali in  $R(p) \Rightarrow K_\Sigma(p) = K_{R(\Sigma)}(R(p))$

Applicando una rototraslazione  $R$ , posso portare  $\Sigma$  in  $R(\Sigma)$

in modo che:  $p \in \Sigma$  qualunque  $\Rightarrow R(p) = 0, T_0 R(\Sigma) = \text{piano xy}$ ,  
in modo che l'asse  $x$  e l'asse  $y$  siano direzioni principali

$\underline{x}: U \rightarrow \Sigma$ ,  $\underline{x}(U) \ni \underline{0}$ , par. regolare

$\underline{x}_u, \underline{x}_v \in T_{\underline{0}} \Sigma \Rightarrow \underline{x}_u, \underline{x}_v$  hanno 3<sup>o</sup> componente nulla

ma  $\text{rk } J_{\underline{x}} = 2 \Rightarrow \Sigma$  è un grafico rispetto alla proiezione  
sul piano in un intorno di  $\underline{0}$

$\Rightarrow \exists$  par. regolare  $\underline{y}: V \rightarrow \Sigma$ ,  $\underline{y}(V) \ni \underline{0}$ , con  $\underline{y}(u, v) = (u, v, f(u, v))$ ,  $f: V \rightarrow \mathbb{R} \subset \mathbb{C}^{\infty}$   
posso anche imporre  $\underline{0} \in V$ ,  $\underline{y}(\underline{0}) = \underline{0}$ , cioè  $f(\underline{0}, \underline{0}) = 0$

$$\underline{y}_u = (1, 0, f_u), \underline{y}_v = (0, 1, f_v)$$

$\Rightarrow \underline{y}_u(\underline{0}), \underline{y}_v(\underline{0})$  hanno 3<sup>o</sup> coordinata nulla  $\Rightarrow f_u(\underline{0}, \underline{0}) = f_v(\underline{0}, \underline{0}) = 0$

Sviluppo di Taylor in un intorno di  $\underline{0}$

$$f(u, v) = f(\underline{0}, \underline{0}) + f_{uu}(\underline{0})u + f_{uv}(\underline{0})v + \frac{1}{2}(f_{uuu}(\underline{0})u^2 + f_{uvv}(\underline{0})uv + f_{vvv}(\underline{0})v^2) + \varepsilon(u, v)$$

$$\underline{y}_u(\underline{0}) = (1, 0, 0), \underline{y}_v(\underline{0}) = (0, 1, 0) \text{ autovettori di } S_p(\underline{0})$$

$$\Omega(\underline{0}) = (0, 0, 1)$$

$$L(\underline{0}) = \Omega(\underline{0}) \cdot \underline{y}_{uu}(\underline{0}) = f_{uu}(\underline{0})$$

$$M(\underline{0}) = \Omega(\underline{0}) \cdot \underline{y}_{uv}(\underline{0}) = f_{uv}(\underline{0})$$

$$N(\underline{0}) = \Omega(\underline{0}) \cdot \underline{y}_{vv}(\underline{0}) = f_{vv}(\underline{0})$$

$$E(\underline{0}) = 1, F(\underline{0}) = 0, G(\underline{0}) = 1 \Rightarrow I_p = I$$

Quindi la matrice di  $S_p(\underline{0})$  è

$$\begin{pmatrix} k_1 & 0 \\ 0 & k_2 \end{pmatrix} = \begin{pmatrix} f_{uu}(\underline{0}) & f_{uv}(\underline{0}) \\ f_{uv}(\underline{0}) & f_{vv}(\underline{0}) \end{pmatrix} \Rightarrow f_{uv}(\underline{0}) = 0 \\ f_{uu}(\underline{0}) = k_1, f_{vv}(\underline{0}) = k_2$$

Quindi intorno a  $\underline{0}$ :

$$f(u, v) = \frac{1}{2}(k_1 u^2 + k_2 v^2) + \varepsilon(u, v) \quad \text{con} \quad \frac{\varepsilon(u, v)}{u^2 + v^2} \xrightarrow{(u, v) \rightarrow \underline{0}} 0$$

Dove studiare il segno di  $f$  intorno a  $\underline{0}$ , a seconda dei casi

(a)  $\underline{0}$  ellittico:  $k_1 \stackrel{(1)}{>} k_2 > 0$  o  $k_2 \stackrel{(2)}{\leq} k_1 < 0$

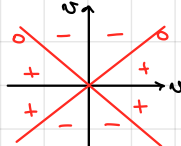
$$\frac{f(u, v)}{u^2 + v^2} = \frac{k_1 u^2 + k_2 v^2}{2(u^2 + v^2)} + \frac{\varepsilon(u, v)}{u^2 + v^2} \quad \begin{cases} (1) & \geq \frac{k_2}{2} + \frac{\varepsilon(u, v)}{u^2 + v^2} > 0 \text{ per } (u, v) \sim (0, 0) \\ (2) & \leq \frac{k_1}{2} + \frac{\varepsilon(u, v)}{u^2 + v^2} < 0 \text{ per } (u, v) \sim (0, 0) \end{cases}$$

$\Rightarrow$  in intorno di  $\underline{0}$  in  $\Sigma$  sta dalla stessa parte del piano tangente affine in  $\underline{0}$

(b)  $\underline{0}$  iperbolico:  $k_2 < 0 < k_1$

$$(*) \frac{f(u, v)}{u^2 + v^2} = \frac{k_1 u^2 + k_2 v^2}{2(u^2 + v^2)} + \frac{\varepsilon(u, v)}{u^2 + v^2}$$

$$k_1 u^2 + k_2 v^2 = (\sqrt{k_1} u - \sqrt{-k_2} v)(\sqrt{k_1} u + \sqrt{-k_2} v)$$



$$(*)|_{u=0} = \frac{k_1}{2} + \frac{\varepsilon(u, 0)}{u^2} > 0 \text{ per } (u, 0) \sim (0, 0)$$

$$(*)|_{v=0} = \frac{k_2}{2} + \frac{\varepsilon(0, v)}{v^2} < 0 \text{ per } (0, v) \sim (0, 0)$$

(c) Caso parabolico e planare

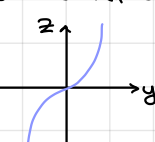
•  $\Sigma$  piano:  $\Sigma$  coincide con ogni piano tangente

•  $\Sigma$  cilindro: sta tutto dalla stessa parte dei piani tangentii

Caso parabolico: una e una sola tra  $k_1$  e  $k_2$  è nulla

$$\Sigma := \{z = x^2 + y^3\}$$

$$\Sigma \cap \{x=0\}$$



Caso planare:  $k_1 = k_2 = 0$

$\Sigma := \{z = y^3\} \rightarrow$   $\exists$  intorno della stessa parte del piano tangente

$\Sigma := \{z = y^4\} \rightarrow$   $\exists$  intorno della stessa parte del piano tangente

esercizio  $\Sigma \subseteq \mathbb{R}^3$  superficie ottenuta ruotando attorno all'asse  $z$   
 La traccia della curva  $\alpha(u) = (0, f(u), g(u))$ ,  $f > 0$   
 supponendo  $\alpha$  iniettiva, p.l.a.,  $\alpha^{-1}$  continua

Mostrare che, rispetto alla par. regolare,  $\underline{\chi}(u, v) = (f(u) \cos v, f(u) \sin v, g(u))$ ,  
 le curve coordinate  $u=u_0$  e  $v=v_0$  sono linee di curvatura  
 (ovunque tangenti alle direzioni principali).

Calcolare le curvature principali e la curvatura gaussiana  
 in funzione di  $f$  e  $g$ .

$$\underline{\chi}_u = (f_u \cos v, f_u \sin v, g_u), \underline{\chi}_v = (-f \sin v, f \cos v, 0)$$

$$E = \underline{\chi}_u \cdot \underline{\chi}_u = f_u^2 + g_u^2 = 1, \quad F = \underline{\chi}_u \cdot \underline{\chi}_v = 0, \quad G = \underline{\chi}_v \cdot \underline{\chi}_v = f^2$$

$$\underline{\chi}_{uu} = (f_{uu} \cos v, f_{uu} \sin v, g_{uu}), \underline{\chi}_{uv} = (-f_u \sin v, f_u \cos v, 0), \underline{\chi}_{vv} = -f(\cos v, \sin v, 0)$$

$$\underline{\chi}_u \times \underline{\chi}_v = (-f g_u \cos v, -f g_u \sin v, f g_u) \quad \| \underline{\chi}_u \times \underline{\chi}_v \| = f \sqrt{f_u^2 + g_u^2} = f$$

$$\Rightarrow \Omega = (-g_u \cos v, -g_u \sin v, f u)$$

$$l = \Omega \cdot \underline{\chi}_{uu} = -g_u f_{uu} + f_u g_{uu}, \quad m = \Omega \cdot \underline{\chi}_{uv} = 0, \quad n = \Omega \cdot \underline{\chi}_{vv} = f g_u$$

$$\Rightarrow S_p = \begin{pmatrix} 1 & 0 \\ 0 & 1/f^2 \end{pmatrix} \begin{pmatrix} -f' f'' + f' g'' & 0 \\ 0 & f g'_1 \end{pmatrix} = \begin{pmatrix} -f' f'' + f' g'' & 0 \\ 0 & g'_1 / f \end{pmatrix}$$

$$K = \frac{(f' g'' - f'' g') g'_1}{f} = -\frac{f'' ((f')^2 + (g')^2)}{f} = -\frac{f''}{f}$$

$$(f')^2 + (g')^2 = 1 \Rightarrow f' f'' + g' g'' = 0$$

curvature principali

### Teorema Egregium

Gauß si chiedeva se fosse possibile creare carte geografiche che permettano di calcolare le distanze.

Generalizzando e formalizzando:  $\underline{\chi}: U \rightarrow \Sigma$ , par. regolare, che proprietà deve avere per conservare la lunghezza delle curve?

$$[a, b] \xrightarrow{\bar{\alpha}} U \xrightarrow{\underline{\chi}} \Sigma \subseteq \mathbb{R}^3$$

$$\alpha = \underline{\chi} \circ \bar{\alpha}$$

Hi chiedo quando  $l(\alpha) = l(\bar{\alpha})$ ?

$$\bar{\alpha}(t) = (u(t), v(t)) \quad \alpha(t) = \underline{\chi}(u(t), v(t))$$

$$\int_a^b \| \bar{\alpha}'(u) \| du = \int_a^b \| \alpha'(u) \| du \quad \forall t \in [a, b]$$

$$\frac{d}{dt} \| \bar{\alpha}'(t) \|^2 = \| \alpha'(t) \|^2 \quad \text{cioè} \quad u'(t)^2 + v'(t)^2 = \| u'(t) \underline{\chi}_u(\alpha(t)) + v'(t) \underline{\chi}_v(\alpha(t)) \|^2$$

$$u'(t) \cdot \alpha'(t) = (u'(t) \ v'(t)) \begin{pmatrix} E & F \\ F & G \end{pmatrix} \begin{pmatrix} u'(t) \\ v'(t) \end{pmatrix} = Eu'(t)^2 + Fu'(t)v'(t) + G(v'(t))^2$$

in  $(u(t), v(t))$

Poiché l'applicazione  $(\mathbb{R}^2, \cdot) \mapsto (\text{Tori}, \Sigma, \text{Iare})$

$$(a, b) \mapsto a \underline{\chi}_u(\alpha(t)) + b \underline{\chi}_v(\alpha(t))$$

è un'isometria per ogni  $t \Rightarrow E=G=1, F=0$

Viceversa, è chiaro che se  $\begin{pmatrix} E & F \\ F & G \end{pmatrix} = \begin{pmatrix} 1 & 0 \\ 0 & 1 \end{pmatrix}$ , allora  $l(\alpha) = l(\bar{\alpha})$

Quindi  $\underline{\chi}: U \rightarrow \Sigma(U)$  conserva le lunghezze delle curve  $\Leftrightarrow E=G=1, F=0$

In questo caso, diciamo che  $\underline{\chi}$  è un'isometria locale del piano euclideo  $\mathbb{R}^2$  a  $\Sigma$

Problema di Gauß: esistono delle isometrie locali da  $\mathbb{R}^2$  a  $S^2_\alpha(O)$ ?

Il teorema egregium dice di NO, perché in nessun punto

$S^2_\alpha(O)$  ha curvatura gaussiana 0.

**Def.** Date superfici  $\Sigma$  e  $\Sigma^*$  e punti  $p \in \Sigma, p^* \in \Sigma^*$ ,  $\Sigma$  e  $\Sigma^*$  si dicono localmente isometriche intorno a  $p$  e  $p^*$  se esistono

$$\underline{\chi}: U \rightarrow \Sigma, \underline{\chi}^*: U \rightarrow \Sigma^* \text{ con } p \in \underline{\chi}(U), p^* \in \underline{\chi}^*(U) \text{ t.c. } E=E^*, F=F^*, G=G^*$$

In questa situazione

$$\begin{array}{ccc} \alpha = \underline{\chi} \circ \bar{\alpha} & & \underline{\chi}(U) \subseteq \Sigma \\ [a, b] \xrightarrow{\bar{\alpha}} U & \xrightarrow{\underline{\chi}} & \downarrow f = \underline{\chi}^* \circ \underline{\chi}^{-1} \\ & \xrightarrow{\underline{\chi}^*} & \underline{\chi}^*(U) \subseteq \Sigma^* \\ \alpha^* = \underline{\chi}^* \circ \bar{\alpha} & & \end{array}$$

$$\text{allora } f \circ \alpha = \underline{\chi}^* \circ \bar{\alpha} = \alpha^*$$

usando  $\star$  ricaviamo che  $f$  conserva la lunghezza

Osserviamo che ogni superficie  $\Sigma \subseteq \mathbb{R}^3$  è localmente isometrica (anzi globalmente) a  $\Sigma^* = R(\Sigma)$  con  $R$  rototraslazione

$$\begin{array}{ccc} \underline{\chi} & \xrightarrow{\quad} & \underline{\chi}(U) \subseteq \Sigma \\ U & \xrightarrow{\quad R \quad} & \downarrow R \\ & \xrightarrow{\underline{\chi}^* = R \circ \underline{\chi}} & \underline{\chi}^*(U) \subseteq \Sigma^* \end{array} \quad \text{cioè } R=f$$

Basta osservare che vale il viceversa di quanto detto prima:

se  $f$  conserva le lunghezze,  $E=E^*, F=F^*, G=G^*$  e  $f$  è isometria locale.

**Teorema Egregium  
di GAUß**

$\Sigma \subseteq \mathbb{R}^3$ ,  $\underline{\gamma}: U \rightarrow \Sigma$  par. regolare su  $\Sigma$ .

Allora la curvatura gaussiana nei punti di  $\underline{\gamma}(U)$   
è esprimibile in termini di  $E, F, G$  e delle loro derivate.

Oss Il teorema ostruisce l'esistenza di isometrie locali.

**DIMOSTRAZIONE**

$\underline{\gamma}_{uu}, \underline{\gamma}_{uv}, \underline{\gamma}_{vv}$  sono combinazione lineare dei vettori  $\underline{\gamma}_u, \underline{\gamma}_v, \underline{n} (= \Omega_{\gamma})$

$$\begin{cases} \underline{\gamma}_{uu} = I_{uu}^u \underline{\gamma}_u + I_{uv}^v \underline{\gamma}_v + l \underline{n} \\ \underline{\gamma}_{uv} = I_{uv}^u \underline{\gamma}_u + I_{vv}^v \underline{\gamma}_v + m \underline{n} \\ \underline{\gamma}_{vv} = I_{vv}^v \underline{\gamma}_u + I_{uv}^u \underline{\gamma}_v + n \underline{n} \end{cases} \quad \text{con } I_{jk}^i : U \rightarrow \mathbb{R} \text{ simboli di Christoffel}$$

$$\text{Vediamo da prima equazione: } \underline{\gamma}_u \cdot \underline{\gamma}_{uu} = EI_{uu}^u + FI_{uv}^v \iff (\underline{\gamma}_u \cdot \underline{\gamma}_{uu}) = (E \ F) (I_{uu}^u) \\ \underline{\gamma}_v \cdot \underline{\gamma}_{uu} = FI_{uu}^u + GI_{vv}^v \iff (\underline{\gamma}_v \cdot \underline{\gamma}_{uu}) = (F \ G) (I_{uu}^u)$$

Se  $\underline{\gamma}_u \cdot \underline{\gamma}_{uu}$  e  $\underline{\gamma}_v \cdot \underline{\gamma}_{uu}$  si ricavano da  $E, F, G$ , lo stesso vale per  $I_{uu}^u$  e  $I_{uv}^v$

$$\text{Ora } E_u = (\underline{\gamma}_u \cdot \underline{\gamma}_{uu})_u = 2\underline{\gamma}_u \cdot \underline{\gamma}_{uu} \quad E_v = 2\underline{\gamma}_u \cdot \underline{\gamma}_{uv}$$

$$F_u = (\underline{\gamma}_u \cdot \underline{\gamma}_{uv})_u = \underline{\gamma}_{uu} \cdot \underline{\gamma}_v + \underline{\gamma}_u \cdot \underline{\gamma}_{vv} \\ \Rightarrow \underline{\gamma}_{uu} \cdot \underline{\gamma}_v = F_u - \frac{1}{2} E_v$$

Analogo per gli altri

$$\text{Sappiamo che } \begin{pmatrix} l & m \\ m & n \end{pmatrix} = \begin{pmatrix} E & F \\ F & G \end{pmatrix} \begin{pmatrix} a & c \\ b & d \end{pmatrix}$$

$$\text{quindi } \begin{pmatrix} a & c \\ b & d \end{pmatrix} = \frac{1}{EG-F^2} \begin{pmatrix} G-F & -F \\ -F & E \end{pmatrix} \begin{pmatrix} l & m \\ m & n \end{pmatrix} \quad \text{e } ld - bm = \frac{1}{EG-F^2} (l(-Fm+E_n) - m(-Fl+E_m)) =$$

$$= E \frac{ln - m^2}{EG - F^2} = EK$$

Adesso  $ld - bm$  si ottiene dai simboli di Christoffel, e quindi concludiamo.

Per vedere, cogliamo le seconde coordinate di  $\underline{\gamma}_{uv}$  e  $\underline{\gamma}_{uu}$  rispetto a  $\underline{\gamma}_u, \underline{\gamma}_v, \underline{n}$

$$\underline{\gamma}_{uu} = (I_{uu}^u \underline{\gamma}_u + I_{uv}^v \underline{\gamma}_v + l \underline{n})_v$$

guardiamo il coefficiente di  $\underline{\gamma}_v$ :

$$( \dots ) \underline{\gamma}_u + (I_{uu}^u I_{uv}^v + (I_{uv}^v)_u + I_{uv}^v I_{vv}^v - ld) \underline{\gamma}_v + ( \dots ) \underline{n}$$

$$n_v = -S(\underline{\gamma}_v) = -c \underline{\gamma}_u - d \underline{\gamma}_v \quad \text{coeff di } \underline{\gamma}_v \text{ in } n_v$$

la seconda viene:

$$\begin{aligned} \underline{\gamma}_{uv} &= (I_{uv}^u \underline{\gamma}_u + I_{uv}^v \underline{\gamma}_v + m \underline{n})_u \\ &= ( \dots ) \underline{\gamma}_u + (I_{uv}^u I_{uu}^u + (I_{uv}^u)_u + I_{uv}^u I_{vv}^v - mb) \underline{\gamma}_v + ( \dots ) \underline{n} \\ &\quad b_u = -S(\underline{\gamma}_u) = -a \underline{\gamma}_u - b \underline{\gamma}_v \end{aligned}$$

A questo punto cogliendo termine a termine

troviamo  $ld - bm$  come funzione dei simboli di Christoffel.

□

**ESEMPIO** (1)  $\underline{\gamma}: \mathbb{R}^2 \rightarrow \mathbb{R}^3 \quad C_R := \underline{\gamma}(\mathbb{R}^2)$  cilindro di raggio  $R$

$$(u, v) \mapsto (R \cos u, R \sin u, v)$$

$$\underline{\gamma}_u = R(-\sin u, \cos u, 0)$$

$$\underline{\gamma}_v = (0, 0, 1) \quad \Rightarrow (E \ F) = \begin{pmatrix} R^2 & 0 \\ 0 & 1 \end{pmatrix} \neq \begin{pmatrix} 1 & 0 \\ 0 & 1 \end{pmatrix} \text{ non posso dedurre nulla}$$

Se prendo  $\underline{\gamma}(u, v) = (R \cos \frac{u}{R}, R \sin \frac{u}{R}, v)$  trovo  $(E \ F) = I$

$\Rightarrow C_R$  e il piano euclideo sono localmente isometrici

(2) Poiché un'ellisse ha  $K < 0$  in ogni punto, essa non è localmente isometrica né ad un piano affine ( $K=0$ ) né ad una sfera ( $K>0$ )

## Trasporto parallelo

**Def.**  $\Sigma \subseteq \mathbb{R}^3$  superficie,  $X: \Sigma \rightarrow \mathbb{R}^3$  è un campo vettoriale tangente se  $X(p) \in T_p \Sigma \quad \forall p \in \Sigma$

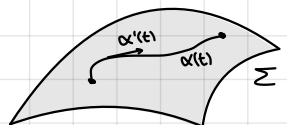
**Def.** Se  $X: \Sigma \rightarrow \mathbb{R}^3$  è un campo vettoriale tangente,  $v \in T_p \Sigma$ , allora

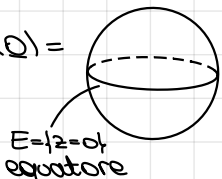
$\nabla_v X := D_v X - (D_v X \cdot \underline{n}(p)) \underline{n}(p) = (D_v X)^T \in T_p \Sigma$  si dice **derivate covariante** (non dipende dalla normale scelta)

**Oss.** Data  $\alpha: (-\varepsilon, \varepsilon) \rightarrow \Sigma$  t.c.  $\alpha(0) = p$  e  $\alpha'(0) = v$ , allora ricordiamo che  $D_v \alpha = \frac{d}{dt} \Big|_{t=0} \alpha(\alpha(t))$

E' sufficiente che  $X$  sia definito solo lungo traccia ( $\alpha$ ) (e  $X \circ \alpha \in C^\infty$ )

**Def.**  $\alpha: I \rightarrow \Sigma$  curva regolare,  $X: \Sigma \rightarrow \mathbb{R}^3$  campo vettoriale tangente su  $\Sigma$  (o anche  $X \circ \alpha \in C^\infty(I, \mathbb{R}^3)$ ),  $X$  è **parallelo lungo  $\alpha$**  se  $\nabla_{\alpha'(t)} X = 0 \quad \forall t$



**Esempio** (1)  $S_a^2(0) =$    $\subseteq \mathbb{R}^3$

$$\alpha: [0, 2\pi] \rightarrow S_a^2(0)$$

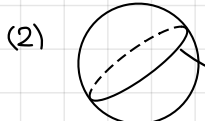
$$\alpha(u) = (a \cos u, a \sin u, 0)$$

$\gamma: (-\varepsilon, \varepsilon) \rightarrow S_a^2(0)$  con  $\gamma(0) = P$ ,  $\gamma(t) \cdot \gamma'(t) = a^2$ ,  $2\gamma'(0) \cdot P = 0$   
cioè  $P^\perp = T_P S_a^2(0)$  per contenimento e dimensione

Definisco  $X: E \rightarrow \mathbb{R}^3$

$$X(p) = (0, 0, 1) \in T_p S_a^2(0) \quad \forall p \in E$$

$X$  è parallelo perché è costante  $\Rightarrow D_v X = 0$



cerchio massimo  $C = S_a^2(0) \cap \pi$ ,  $\pi$  piano affine per  $\underline{n}$

$\alpha: [0, 2\pi] \rightarrow S_a^2(0)$  parametrizzazione di  $C$  a velocità costante:  $\alpha'(t) \cdot \alpha'(t) = \text{cost}$  (\*)

$X(\alpha(t)) := \alpha'(t)$  lungo  $\alpha$  è parallelo lungo  $\alpha$

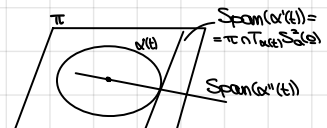
$$\frac{d}{dt} (\alpha'(t)) = 2\alpha''(t) \cdot \alpha'(t) = 0$$

Vogliamo  $\nabla_{\alpha''(t)} \alpha'(t) = \frac{d}{dt} (\alpha'(t))^T = (\alpha''(t))^T \equiv 0$

traccia ( $\alpha$ )  $\subset \pi \iff \alpha(t) \cdot v_0 = 0 \Rightarrow \alpha''(t) \cdot v_0 = 0 \Rightarrow \alpha''(t) \parallel \pi$

$$\Rightarrow \alpha''(t) \perp T_{\alpha(t)} S_a^2(0)$$

$\Rightarrow X$  è parallelo lungo  $C$



**proposizione**  $\alpha: [0,1] \rightarrow \Sigma$ ,  $\Sigma$  superficie,  $\alpha$  regolare,  $X_0 \in T_{\alpha(0)}\Sigma$ .  
Allora  $\exists!$  campo vettoriale tangente  $X$  parallelo lungo  $\alpha$  t.c.  $X(0) = X_0$

DIMOSTRAZIONE

Per completezza, traccia ( $\alpha$ ) = unione finita di aperti  $\mathcal{U}(U)$   
con  $X$  per regolare

Per l'unicità, è sufficiente mostrarlo nel caso di traccia ( $\alpha$ )  $\subset \mathcal{U}(U)$

$X$  campo vettoriale lungo  $\alpha$ ,  $\alpha(t) = \underline{x}(u(t), v(t))$

$$X(\alpha(t)) = a(t) \underline{x}_u(\alpha(t)) + b(t) \underline{x}_v(\alpha(t)), \quad X_0 = a_0 \underline{x}_u + b_0 \underline{x}_v$$

$$\begin{aligned} 0 &= \frac{d}{dt} (X(\alpha(t)))^T = [a' \underline{x}_u \circ \alpha + a(u' \underline{x}_{uu} \circ \alpha + u' \underline{x}_{uv} \circ \alpha) + b' \underline{x}_v \circ \alpha + (u' \underline{x}_{vu} \circ \alpha + v' \underline{x}_{vv} \circ \alpha)]^T = \\ &= a' \underline{x}_u \circ \alpha + a[u'(I_{uu}^u \underline{x}_u \circ \alpha + I_{uv}^u \underline{x}_v \circ \alpha) + v'(I_{uv}^v \underline{x}_u \circ \alpha + I_{vv}^v \underline{x}_v \circ \alpha)] + \\ &\quad + b[u'(I_{vu}^u \underline{x}_u \circ \alpha + I_{vv}^u \underline{x}_v \circ \alpha) + v'(I_{vv}^v \underline{x}_u \circ \alpha + I_{vu}^v \underline{x}_v \circ \alpha)] \end{aligned}$$

$$\begin{cases} a' + a(u'I_{uu}^u + v'I_{uv}^u) + b(u'I_{vu}^u + v'I_{vv}^u) = 0 \\ b' + a(u'I_{uv}^v + v'I_{vv}^v) + b(u'I_{vu}^v + v'I_{vu}^v) = 0 \end{cases} \text{ è un sistema di EDO omogenee}$$

e  $a(0) = a_0, b(0) = b_0$

$\Rightarrow$  la soluzione esiste ed è unica e globale

□

Oss Il sistema è lineare omogeneo

$\Rightarrow$  la mappa trasporto parallelo lungo  $\alpha: T_{\alpha(0)}\Sigma \rightarrow T_{\alpha(1)}\Sigma$  è lineare

**proposizione** Il trasporto parallelo rispetta i prodotti scalari.

DIMOSTRAZIONE

$X, Y$  campi vettoriali tangenti paralleli lungo  $\alpha$

$$X(\alpha(t)) = X_0, \quad Y(\alpha(t)) = Y_0 \quad (\text{con } \alpha: [0,1] \rightarrow \Sigma)$$

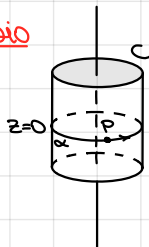
E' sufficiente mostrare che  $X(\alpha(t)) \cdot Y(\alpha(t)) = \text{cost}$

$$\begin{aligned} \frac{d}{dt} (X(\alpha(t)) \cdot Y(\alpha(t))) &= D_{\alpha'(t)} X(\alpha(t)) \cdot Y(\alpha(t)) + X(\alpha(t)) \cdot D_{\alpha'(t)} Y(\alpha(t)) = \\ &= \nabla_{\alpha'(t)} X(\alpha(t)) \cdot Y(\alpha(t)) + X(\alpha(t)) \cdot \nabla_{\alpha'(t)} Y(\alpha(t)) = 0 \end{aligned}$$

□

Dunque i trasporti paralleli sono isomorfismi di spazi euclidei

esempio



Qual è il trasporto parallelo lungo  $\alpha$  da  $p$  a  $p'$ ?

$$X := (0, 0, 1) \in T_{\alpha(p)} C$$

$$\nabla_{\alpha'(t)} X = \left( \frac{d}{dt} X(\alpha(t)) \right)^T = 0 \Rightarrow X \text{ è parallelo lungo } \alpha$$

Anche un vettore tangente ad  $\alpha$  in  $p$  va in sé stesso

$\Rightarrow$  il trasporto parallelo è l'identità

Esempio

Calcoliamo il trasporto parallelo lungo un parallelo di  $S^2(\Omega)$

$$\alpha(u) = (\sin u, 0, \cos u), \quad u \in (0, \pi)$$

$$\Sigma = S^2(\Omega) \setminus \{\text{poli}\} = \{(0, \pi) \times \mathbb{R}\}$$

$$\underline{x}(u, v) = (\sin u \cos v, \sin u \sin v, \cos u)$$

Un parallelo  $u = u_0$  se  $S^2$  è la traccia di  $t \mapsto \underline{x}(u_0, t + v_0)$ , cioè  $u(t) \equiv u_0, v(t) = t + v_0$ .  
Campo parallelo lungo  $\beta$

$$\underline{x}(\beta(t)) = a(t) \underline{x}_u(\beta(t)) + b(t) \underline{x}_v(\beta(t)) \quad \text{e } \underline{x}(\beta(0)) = \beta'(0) = \underline{x}_v(u_0, v_0)$$

$$\begin{cases} a' + a(u^u I_{uu}^u + v^u I_{uv}^u) + b(u^v I_{vu}^u + v^v I_{vv}^u) = 0 \\ b' + a(u^v I_{uu}^v + v^v I_{uv}^v) + b(u^u I_{vu}^v + v^u I_{vv}^v) = 0 \end{cases}$$

$$\underline{x}_u = (\cos u \cos v, \cos u \sin v, -\sin u)$$

$$\underline{x}_v = (-\sin u \cos v, \sin u \cos v, 0) \quad F = \underline{x}_u \cdot \underline{x}_v = 0$$

$$\beta(t) = \underline{x}(u_0, t + v_0) \Rightarrow u'(t) = 0, v'(t) = 1$$

$$X_{uv} = I_{uv}^u \underline{x}_u + I_{uv}^v \underline{x}_v + mI \quad \Rightarrow \quad EI_{uv}^u = \underline{x}_{uv} \cdot \underline{x}_u$$

$$\underline{x}_{uv} = (-\sin u \cos v, \cos u \cos v, 0) \Rightarrow \underline{x}_{uv} \cdot \underline{x}_u = 0 \Rightarrow I_{uv}^u = 0$$

$$\text{Analogamente, } GI_{vv}^v = \underline{x}_{vv} \cdot \underline{x}_v = 0 \Rightarrow I_{vv}^v = 0$$

$$\underline{x}_{vv} = (-\sin u \cos v, -\sin u \sin v, 0)$$

$$GI_{vv}^v = \underline{x}_{vv} \cdot \underline{x}_v = \sin u_0 \cos u_0 \quad G = \underline{x}_v \cdot \underline{x}_v = 2u^2 u_0 + 0$$

$$\Rightarrow I_{vv}^v = \frac{\cos u_0}{\sin u_0}$$

$$EI_{vv}^v = \underline{x}_{vv} \cdot \underline{x}_u = -\sin u_0 \cos u_0$$

$$E = \underline{x}_u \cdot \underline{x}_u = 1$$

$$\Rightarrow I_{vv}^v = -\sin u_0 \cos u_0$$

$$\begin{cases} a' - b \sin u_0 \cos u_0 = 0 \\ b' + a \frac{\cos u_0}{\sin u_0} = 0 \end{cases} \quad \text{con } a(0) = 0, b(0) = 1$$

$$\text{Per } \cos u_0 = 0 \Rightarrow u_0 = \frac{\pi}{2} \Rightarrow \begin{cases} a' = 0 \\ b' = 0 \end{cases} \Rightarrow \underline{x}(\beta(v)) = \underline{x}_v(u_0, v) = \beta'(v)$$

Per  $\cos u_0 \neq 0$ :  $\frac{dt}{du}$  della 2° equazione

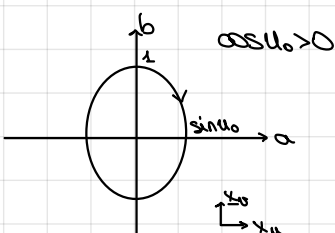
$$0 = b'' + a' \frac{\cos u_0}{\sin u_0} = b'' + b \cos^2 u_0 \quad k = \cos u_0$$

$$\text{Soluzione: } b(t) = C_1 \cos(kt) + C_2 \sin(kt)$$

Condizioni iniziali:  $b(0) = C_1 = 1$

$$b'(0) = -a(0) \frac{\cos u_0}{\sin u_0} = 0 = kC_2 \Rightarrow b(t) = \cos(\cos u_0 t)$$

$$a(t) = \sin u_0 \sin(\cos u_0 t)$$



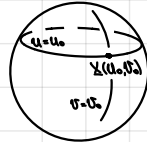
Il campo parallelo  $X$  ruota in senso orario nell'emisfero superiore, non ruota sull'equatore e ruota in senso anti-orario nell'emisfero inferiore

Per  $|u = u_0| \subseteq S^2 \Rightarrow$  trasporto parallelo  $T_p S^2 \rightarrow T_p S^2$ ?

rotazione  $SO(2) \quad \mathbb{E}^2 \quad \mathbb{E}^2$

$\Rightarrow$  è un'isometria

non rotazione  $O(2)$



$v_1, v_2$  base di  $T_p \Sigma$ ,  $\Sigma$  superficie,  $n: \Sigma \rightarrow \mathbb{R}^3$  normale  
 $(v_1 \times v_2) \cdot n > 0 \iff v_1, v_2$  è una base positiva

$v_1, v_2'$  altra base di  $T_p \Sigma$  è positiva  $\iff \det A > 0$ , con  $A$  matrice di cambiamento di base  
da  $v_1, v_2'$  a una base positiva

Se  $n: \Sigma \rightarrow \mathbb{R}^3$  normale, i trasporti paralleli su  $\Sigma$  conservano il segno di ogni base  
 $(v_1 \times v_2) \cdot n > 0 \quad X(\alpha(t)) \times Y(\alpha(t)) \cdot n(\alpha(t))$  non cambia segno

Perciò quanto detto sopra, il trasporto  $T_p \Sigma \rightarrow T_p \Sigma$   
è una rotazione degli stessi angoli.

### Geodetiche

**Def.** Una curva  $\alpha: I \rightarrow \Sigma$ ,  $\Sigma$  superficie,  $\alpha$  curva regolare,  
 $\alpha$  è una **geodetica** se  $\nabla_{\alpha'} \alpha' = 0$  lungo  $\alpha$ , cioè  $(\alpha'')^T = 0$

Oss  $\alpha$  geodetica su  $\Sigma \Rightarrow$  la velocità di  $\alpha$  è costante  
 $\frac{d}{dt} (\alpha' \cdot \alpha') = 2\alpha'' \cdot \alpha' = 0$   
 $(T_{\alpha(t)} \Sigma)^{\perp} \cap T_{\alpha(t)} \Sigma$

Esempio Quali sono le geodetiche su  $S^2_a(0)$ ?

Abbiamo già verificato  $\alpha: I \rightarrow S^2_a(0)$  parametrizzata  
una porzione di cerchio massimo,  $\alpha' \cdot \alpha' = \text{cost}$ ,  
 $\alpha'$  è parallelo lungo  $\alpha \Rightarrow \alpha$  è una geodetica

Viceversa, sia  $\alpha: I \rightarrow S^2_a(0)$  una geodetica:  $\alpha'' \perp T_{\alpha(t)} S^2_a(0) = (\alpha(t))^\perp$   
 $\iff \alpha'' \times \alpha' = 0 \iff (\alpha' \times \alpha')' = \alpha'' \times \alpha' + \alpha' \times \alpha'' = 0$   
 $\iff \alpha' \times \alpha' = v_0 \neq 0 \iff \alpha \cdot v_0 = 0$   
 $\Rightarrow \alpha(t) \in v_0^\perp \cap S^2_a(0)$  cerchio massimo

Quindi le geodetiche su  $S^2_a(0)$  sono tutti e soli i cerchi  
massimi parametrizzati a velocità costante

## Esistenza delle geodetiche

$p \in \Sigma$ ,  $\Sigma \rightarrow \Sigma$  par. regolare intorno a  $p$

$$\alpha: I \rightarrow \Sigma, \alpha(t) = (\alpha^u(t), \alpha^v(t))$$

$X(\alpha(t)) = \alpha(t) X_u(\alpha(t)) + b(t) X_v(\alpha(t))$  campo tangente lungo  $\alpha$   
Abbiamo visto che  $X$  è parallelo lungo  $\alpha \Leftrightarrow a, b$  soddisfano

$$(*) \begin{cases} a' + a(u, v, I_{uv}) + b = 0 \\ b' + a(v, u) + b = 0 \end{cases}$$

$$\alpha'(t) = u'(t) X_u(\alpha(t)) + v'(t) X_v(\alpha(t))$$

$$\Rightarrow \nabla_{X'} \alpha' = 0 \Leftrightarrow \text{vale } (*) \text{ con } a = u, b = v'$$

$$\begin{cases} u'' + (u')^2 I_{uu}'' + 2u'v' I_{uv}'' + (v')^2 I_{vv}'' = 0 \\ v'' + (u')^2 I_{uu}'' + 2u'v' I_{uv}'' + (v')^2 I_{vv}'' = 0 \end{cases} \quad \begin{matrix} \text{sistema non lineare di} \\ \text{EDO del 2° ordine} \end{matrix}$$

### proposizione

$\Sigma$  superficie,  $q \in \Sigma$ ,  $v \in T_q \Sigma$ , allora

$\exists!$  geodetica  $r_v: (-\varepsilon, \varepsilon) \rightarrow \Sigma, r_v(0) = q,$

$$r'_v(0) = v \text{ per qualche } \varepsilon > 0.$$

Oss Sia  $r_v: (-\varepsilon, \varepsilon) \rightarrow \Sigma$  la geodetica della proposizione

Fisso una costante  $t_0 \in [0, 1]$

Possiamo considerare  $r_{v_0}(t_0)$ , se  $(-\varepsilon, \varepsilon)$

$$\frac{d}{dt} \Big|_{t=0} r_{v_0}(t_0) = S r'_{v_0}(t_0) \Big|_{t=0} = S r'_{v_0}(0) = S v$$

$$\frac{d^2}{dt^2} r_{v_0}(t_0) = S^2 r''_{v_0}(t_0) \perp T_{r_{v_0}(t_0)} \Sigma$$

$\beta(t) := r_{v_0}(t_0), \beta(0) = q, \beta'(0) = S v$  è una geodetica

$$\Rightarrow r_{v_0}(t_0) = \beta(t) = r_{v_0}(t)$$

$$\Rightarrow r_{v_0}: [0, 1] \rightarrow \Sigma \text{ geodetica}$$

Se fissiamo  $q$ , considero solo  $\{v \in T_q \Sigma \mid \|v\| = 1\}$

quindi esiste  $\varepsilon$  t.c.  $r_v: (-\varepsilon, \varepsilon) \rightarrow \Sigma, r_v(0) = q, r'_v(0) = v$

è definita  $\forall v \in T_q \Sigma, \|v\| = 1$

Per ogni  $v \in T_q \Sigma$  t.c.  $\|v\| < \varepsilon$ , esiste la geodetica

$$r_v: [0, 1] \rightarrow \Sigma, r_v(0) = q, r'_v(0) = v, \|v\| < \varepsilon$$

**Def.** Fisso  $q \in \Sigma, \varepsilon > 0$  come sopra

la mappa esponenziale

$$\exp_q: U_q = \{v \in T_q \Sigma \mid \|v\| < \varepsilon\} \rightarrow \Sigma$$

$$\exp_q(v) := r_v(1) \in \Sigma$$

$$\text{Oss } \exp_q(0) = q = r_v(0) \quad (r_v = q)$$

$e_1, e_2 \in T_q \Sigma$  base fissata :  $T_q \Sigma \longleftrightarrow \mathbb{R}^2$   
 $U_q \longleftrightarrow U'_q$

$\chi : U'_q \longrightarrow \Sigma$

$$(u, v) \mapsto \exp_q(u e_1 + v e_2)$$

$$\chi_u(0) = \frac{d}{dt}|_{t=0} \exp_q(t e_1) = \frac{d}{dt}|_{t=0} \gamma_{e_1}(t) = \frac{d}{dt}|_{t=0} \gamma_{e_1}(t) = \gamma'_{e_1}(0) = e_1$$

$$\chi_v(0) = e_2$$

$\text{rk } (\chi_u | \chi_v) = 2 \Rightarrow$  Sia  $\pi : \Sigma \rightarrow \mathbb{R}^3$  la proiezione corrispondente

ad un minore  $2 \times 2$  non singolare che esprime intorno  
a  $q \in \Sigma$  come grafico

$$\begin{array}{ccc} & \chi & \\ U'_q & \begin{array}{c} \nearrow \\ \downarrow \pi \\ \searrow \end{array} & \Sigma \\ & \pi \circ \chi & \mathbb{R}^2 \end{array}$$

$D_{\mathbf{v}}(\pi \circ \chi)$  è la sottomatrice scelta  
 $\Rightarrow \exists$  inversa  $C^{\infty}$  di  $\pi \circ \chi$

d'inversa di  $\chi$  è  $(\pi \circ \chi)^{-1} \circ \pi$

$\Rightarrow \chi$  è una parametrizzazione regolare

$\Rightarrow \exp_q(U_q) = \chi(U_q)$  intorno di  $q$

" $N_q$  intorno normale di  $q$



$$q = \exp_q(uv) = \gamma_{uv}(1)$$

$$\|uv\| < \varepsilon, 0 \leq u \leq 1$$

**Lemma di Gauß**

$q \in \Sigma$ . Nell'intorno normale  $N_q$

le geodetiche  $\gamma_{uv}(u) = \exp_q(uv)$ ,  $-1 < u < 1$ ,  $\|uv\| < \varepsilon$ ,

è ortogonale alle curve  $\{\exp_q(v) | \|v\| = \text{cost} < \varepsilon\}$

DIMOSTRAZIONE

Sia  $0 < k < \varepsilon$

Considero  $v : \mathbb{R} \rightarrow T_q \Sigma$ ,  $\|v(t)\| = k$

$$\alpha(u, t) := \exp_q(u \cdot v(t)) \in \Sigma, -1 < u < 1$$

$$\text{Tesi } \alpha_u \cdot \alpha_t \equiv 0 \quad \forall (u, t)$$

Basta dimostrare che  $(\alpha_u \cdot \alpha_t)_u = 0$ ,  $\alpha_u \cdot \alpha_t(0, t) = 0$

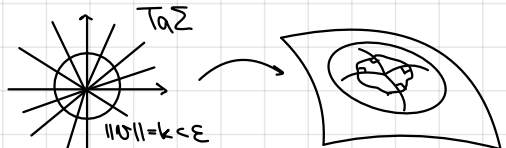
$$(\alpha_u \cdot \alpha_t)_u = \alpha_{uu} \cdot \alpha_t + \alpha_u \cdot \alpha_{ut}$$

$$T_{\alpha(u,t)} \Sigma^{\perp} \cap T_{\alpha(u,t)} \Sigma$$

$$0 = (\alpha_u \cdot \alpha_u)_t = 2\alpha_u \cdot \alpha_{ut}$$

cost

$$\alpha(0, t) = \exp_q(0) = q \implies \alpha_t(0, t) = 0$$



□

le geodetiche minimizzano localmente le lunghezze

**corollario** qe  $\Sigma$ ,  $Nq = \exp_q(q)$  intorno normale.

Se  $q' = \exp_q(v)$ ,  $v \in U_q$ , allora la geodetica

$\gamma_v : [0,1] \rightarrow \Sigma$ ,  $\gamma_v(u) = \exp_q(uv)$  minimizza le lunghezze:

se  $c : [0,1] \rightarrow Nq$  curva regolare,  $c(0)=q$ ,  $c(1)=q'$ , allora  $L(c) \geq L(\gamma_v)$

DIMOSTRAZIONE

Possiamo supporre  $c(t)=q \Leftrightarrow t=0$

$c(t) = \exp_q(u(t)v(t))$  per  $0 < t \leq 1$ ,  $\|v(t)\| = \|v\|$ ,  $u(t) > 0$

$c(t) = u(u(t), t)$

$c'(t) = u' \cdot \alpha_u + \alpha_t$

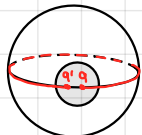
$$c'(t) \cdot c'(t) = (u')^2 \alpha_u \cdot \alpha_u + \alpha_t \cdot \alpha_t \geq (u')^2 \|v\|^2$$

$$\Rightarrow L(c) = \int_0^1 \|c'(t)\| dt \geq \|v\| \int_0^1 |u'(t)| dt \geq \|v\| \int_0^1 u'(t) dt = \|v\| (u(1) - u(0)) = \|v\|$$

e  $L(\gamma_v) = \int_0^1 \|\gamma'_v(u)\| du = \|v\|$

□

esempio



La proprietà minimizzante non è globale

esercizio Determinare le geodetiche del piano  $\{z=0\}$

soluzione  $\underline{x}(u,v) = (u, v, 0)$  par. regolare di  $\Sigma$

$$\underline{x}_u = (1, 0, 0), \underline{x}_v = (0, 1, 0)$$

$$E=1, F=0, G=1$$

$$\Rightarrow \underline{x}_{uu} = \underline{x}_{uv} = \underline{x}_{vv} = 0 \Rightarrow I_{jk}^{ij} = 0$$

$$\begin{cases} u'' + (u' v') \begin{pmatrix} I_{uu}^{uu} & I_{uv}^{uu} \\ I_{vu}^{uv} & I_{vv}^{uv} \end{pmatrix} \begin{pmatrix} u \\ v \end{pmatrix} = 0 \\ v'' + (u' v') \begin{pmatrix} I_{uu}^{vv} & I_{uv}^{vv} \\ I_{vu}^{vv} & I_{vv}^{vv} \end{pmatrix} \begin{pmatrix} u \\ v \end{pmatrix} = 0 \end{cases} \quad \Leftrightarrow \gamma(t) = \underline{x}(u(t), v(t)) \text{ è una geodetica}$$

$$\gamma : I \rightarrow \Sigma = \{z=0\}, \quad \gamma(t) = (u(t), v(t), 0)$$

$$\Rightarrow \begin{cases} u(t) = u(t_0) + u'(t_0)t \\ v(t) = v(t_0) + v'(t_0)t \end{cases}$$

$\Rightarrow$  parametrizza una porzione della retta  $(u(t_0), v(t_0)) + \text{Span}(u'(t_0), v'(t_0))$   
(e viceversa)

$\Rightarrow$  Tutte e sole le geodetiche del piano sono rette

esercizio (1) le geodetiche su una superficie di rotazione soddisfano la relazione di Clairaut

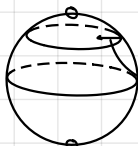
$$r \cos\phi = \text{costante } (*)$$

dove  $r$  è la distanza dall'asse  $z$  e

$\phi$  è l'angolo tra la velocità e il parallelo

(2) Viceversa, se una curva sulla stessa superficie di velocità costante, soddisfa (\*) e  $u' \neq 0$  (non è un parallelo), allora è una geodetica.

esempio



$S^2 \cdot \{S, N\}$  come superficie di rotazione

$x'' \notin TS^2$  se  $\alpha$  non parametrizza l'equatore

$\Rightarrow \alpha$  non è una geodetica

soluzione (1)  $\alpha(u) = (f(u), 0, g(u))$  curva pla, iniettiva,  $f > 0$ ,  $\alpha'$  continua

$$\underline{\alpha}(u, v) = (f(u) \cos v, f(u) \sin v, g(u)) \quad \Sigma = \underline{\alpha}(I \times \mathbb{R})$$

$$\underline{\alpha}_u = (f' \cos v, f' \sin v, g'), \quad \underline{\alpha}_v = (-f \sin v, f \cos v, 0)$$

$$E = (f')^2 + (g')^2 = \alpha' \cdot \alpha' = 1, \quad F = 0, \quad G = f^2(u)$$

$$\underline{\alpha}_{uu} = I_{uu} \underline{\alpha}_u + I_{uv} \underline{\alpha}_v + I_{vv} \underline{\alpha}_v$$

$$\underline{\alpha}_{uu} = (f'' \cos v, f'' \sin v, g''), \quad \underline{\alpha}_{uv} = (-f' \sin v, f' \cos v, 0), \quad \underline{\alpha}_{vv} = -f(\cos v, \sin v, 0)$$

$$E \cdot I_{uu} = \underline{\alpha}_{uu} \cdot \underline{\alpha}_u = f' f'' + g' g'' = 0$$

$$E \cdot I_{uv} = \underline{\alpha}_{uv} \cdot \underline{\alpha}_u = 0$$

$$E \cdot I_{vv} = \underline{\alpha}_{vv} \cdot \underline{\alpha}_u = -f f'$$

$$G \cdot I_{uu} = \underline{\alpha}_{uu} \cdot \underline{\alpha}_v = 0$$

$$G \cdot I_{uv} = \underline{\alpha}_{uv} \cdot \underline{\alpha}_v = f f' \Rightarrow I_{uv} = \frac{f'}{f}$$

$$G \cdot I_{vv} = \underline{\alpha}_{vv} \cdot \underline{\alpha}_v = 0$$

$$\begin{cases} u'' + (u' u') \begin{pmatrix} 0 & 0 \\ 0 & -ff' \end{pmatrix} \begin{pmatrix} u' \\ v' \end{pmatrix} = 0 \\ v'' + (u' u') \begin{pmatrix} 0 & f'/f \\ f'/f & 0 \end{pmatrix} \begin{pmatrix} u' \\ v' \end{pmatrix} = 0 \end{cases} \Leftrightarrow \begin{cases} u'' - ff'(v')^2 = 0 \\ v'' + 2 \frac{f'}{f} u' u' = 0 \end{cases}$$

(1) Equazioni delle

geodetiche su  $\Sigma$

Eq. (2): Se  $v'(t_0) \neq 0 \Rightarrow v' \neq 0$  in un intorno di  $t_0$

$$(2) \Leftrightarrow \frac{v''}{v'} = -2 \frac{f'}{f} u'$$

$$\log(v')' = -2 \log(f(u))'$$

$$\Leftrightarrow \log(v') = -\log(f^2(u)) + C \Leftrightarrow v' = \frac{C}{f^2(u)}$$

$$\gamma(t) = \underline{\alpha}(u(t), v(t)), \quad \gamma'(t) = u'(t) \underline{\alpha}_u + v'(t) \underline{\alpha}_v$$

Parallelo:  $u = u_0 t$

$$\underline{\alpha}_v \cdot \gamma' = f \cdot \text{cost.} \cdot \cos\phi$$

$$v' \cdot f^2 = C$$

Se  $v' = 0 \Rightarrow u'' = 0, v'' = 0$

$$\gamma(t) = \underline{\alpha}(u(t), v_0) \quad \text{meridiano}$$

$t_0 + v'(t_0)t \Rightarrow$  i meridiani a velocità costante sono geodetiche

$$(2) \gamma(t) = \underline{x}(u(t), v(t)), \text{ con } u' \neq 0$$

$$\text{Se } \cos\phi = 0 = r\cos\phi \Rightarrow \phi = \pm \frac{\pi}{2}$$

$\Rightarrow \gamma$  parametrizza un meridiano a velocità costante

$\Rightarrow \gamma$  è una geodetica

$$\text{Se } r \cdot \cos\phi = \text{cost} \neq 0$$

$$\gamma' = u' \underline{x}_u + v' \underline{x}_v$$

$$0 \neq \| \gamma' \| f \cos\phi = \gamma' \cdot \underline{x}_v = v' G \Rightarrow v' \neq 0$$

Equazioni delle geodetiche:

$$\begin{cases} u'' - ff'(v')^2 = 0 & (1) \\ v'' + 2 \frac{f'}{f} u' v' = 0 & (2) \end{cases}$$

Abbiamo visto che, se  $v' \neq 0$ ,  $(2) \Leftrightarrow (*)$

$\gamma$  ha velocità costante

$$\text{cost} = \gamma' \cdot \gamma' = (u')^2 + (v')^2 \cdot f^2$$

$$\xrightarrow{\text{det}} 0 = 2u'u'' + 2v'v''f^2 + 2(v')^2 ff' u'$$

$$\xrightarrow{(2)} 0 = u'u'' + v'f^2(-2 \frac{f'}{f} u'v') + (v')^2 ff' u'$$

$$\Leftrightarrow 0 = u'(u'' - 2ff'(v')^2 + (v')^2 ff') = u'(u'' - ff'(v')^2)$$

$u' \neq 0 \Rightarrow$  vale (1)  $\Rightarrow \gamma$  è una geodetica

Oss Quale paralleli sono geodetiche?

Parallelo:  $\{u=u_0\} \subseteq \Sigma$ .

Se  $f'(u_0) = 0$ :  $\gamma(t) = \underline{x}(u_0, v_0 + t\alpha')$  soddisfa (1) e (2)

$\Rightarrow \gamma$  è una geodetica

Se  $f'(u_0) \neq 0$ :  $\gamma(t) = \underline{x}(u_0, v(t)) \Rightarrow \gamma' = v' \cdot \underline{x}_v$

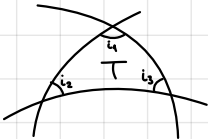
$$0 \neq \text{cost} = \gamma' \cdot \gamma' = (v')^2 G = (v')^2 f(u_0)^2 \Rightarrow v' = \text{cost} \neq 0$$

$$\Rightarrow \gamma'' = (v')^2 \underline{x}_{vv}$$

Avevamo calcolato:  $\underline{x}_{vv} \cdot \underline{x}_u = -ff'$

$$\Rightarrow \gamma'' \cdot \underline{x}_u = -(v')^2 ff' \neq 0 \Rightarrow \gamma \text{ non è una geodetica}$$

## Teorema di Gauß-Bonnet locale

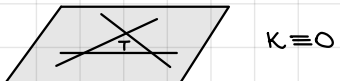


Triangolo geodetico  $T \subseteq \underline{\Sigma}$  superficie

I formulazione del teorema

$$\int_T K dA = i_1 + i_2 + i_3 - \pi$$

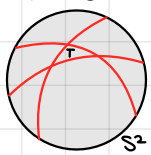
Esempio (1) Piano



$$K=0$$

$$0 = \int_T K dA = i_1 + i_2 + i_3 - \pi \Leftrightarrow i_1 + i_2 + i_3 = \pi$$

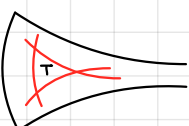
(2) Sfera



$$K > 0$$

$$0 < \int_T K dA \Rightarrow i_1 + i_2 + i_3 > \pi$$

(3)



$$K = -1$$

$$0 > \int_T K dA \Rightarrow i_1 + i_2 + i_3 < \pi$$

**Def.**  $\alpha: [a, b] \rightarrow \Sigma$  superficie, curva chiusa è

semplice e regolare a tratti se

$$\alpha(t) = \alpha(t') \Leftrightarrow \{t, t'\} = \{a, b\}$$

e  $\exists a = t_0 < t_1 < \dots < t_n = b$  t.c.  $\alpha|_{[t_{i-1}, t_i]}$  è regolare  $\forall i=1, \dots, n$

**Def.** Una regione  $R \subseteq \Sigma$  superficie è la chiusura di un aperto

t.c.  $\partial R = R \setminus \bar{R}$  è la traccia di una curva semplice, chiusa, regolare a tratti.

**Def.**  $R \subseteq \underline{\Sigma} \subseteq \Sigma$

Definiamo l'area di  $R$  come

$$\text{Area}(R) := \int_{\underline{\Sigma}(R)} \| \underline{\gamma}_u \times \underline{\gamma}_v \| du dv$$

Questa è una buona definizione:

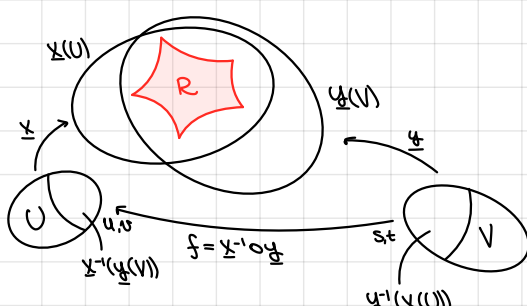
$$f(s, t) = (\underline{\gamma}(s, t), \nu(s, t))$$

$$\begin{cases} \underline{\gamma}_s = u_s \underline{\gamma}_u \circ f + v_s \underline{\gamma}_v \circ f \\ \underline{\gamma}_t = u_t \underline{\gamma}_u \circ f + v_t \underline{\gamma}_v \circ f \end{cases}$$

$$\underline{\gamma}_s \times \underline{\gamma}_t = \det(Df) \cdot \underline{\gamma}_u \times \underline{\gamma}_v \circ f$$

$$\int_{\underline{\Sigma}(R)} \| \underline{\gamma}_s \times \underline{\gamma}_t \| ds dt = \int_{\underline{\Sigma}(R)} \| \underline{\gamma}_u \times \underline{\gamma}_v \| \circ f | \det(Df) | ds dt =$$

$$= \int_{\Sigma(R)} \| \underline{\gamma}_u \times \underline{\gamma}_v \| du dv$$



$R \subseteq \mathbb{X}(U)$  regione,  $\varphi$  funzione in  $R$  definita su un aperto che contiene  $R$   
 (ad esempio  $\mathbb{X}(U)$ )

Def.  $\int_R \varphi dA = \int_{\mathbb{X}^{-1}(R)} \varphi \circ \underline{x} \| \underline{x}_u \times \underline{x}_v \| du dv$

L'integrale è ben definito:

$$\int_{\mathbb{X}^{-1}(R)} \varphi \circ \underline{x} \| \underline{x}_u \times \underline{x}_v \| du dv = \int_{\mathbb{X}^{-1}(R)} \varphi \circ \underline{x} \| \underline{x}_u \times \underline{x}_v \| du dv$$

$\varphi \circ \underline{x} = f^{-1}(\mathbb{X}^{-1}(R))$

Esercizio  $\mathbb{X}: U \rightarrow \Sigma$  par. regolare

$$\| \underline{x}_u \times \underline{x}_v \| = (EG - F^2)^{\frac{1}{2}}$$

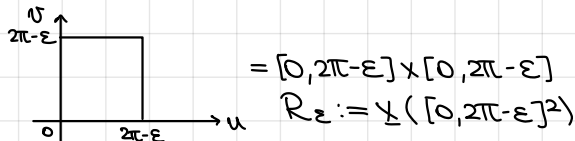
Soluzione  $\underline{x} \times \underline{y} = \det \begin{pmatrix} e_1 & e_2 & e_3 \\ \underline{x} & \underline{y} & \underline{z} \end{pmatrix}$

$$\| \underline{x}_u \times \underline{x}_v \| = \Omega \cdot (\underline{x}_u \times \underline{x}_v) = \det \begin{pmatrix} n & \\ \underline{x}_u & \underline{x}_v \end{pmatrix}$$

$$\| \underline{x}_u \times \underline{x}_v \|^2 = \det \begin{pmatrix} n & \\ \underline{x}_u & \underline{x}_v \end{pmatrix} \begin{pmatrix} 1 & 1 & 1 \\ 1 & \underline{x}_u & \underline{x}_v \\ 1 & 1 & 1 \end{pmatrix} = \det \begin{pmatrix} 1 & 0 & 0 \\ 0 & E & F \\ 0 & F & G \end{pmatrix} = EG - F^2$$

Esercizio In Geometria euclidea elementare si dimostra che  $\text{area}(T_{ab}) = 4\pi^2 ab$

$$T_{ab} = \mathbb{X}(R^2) \cong \mathbb{R}^3 \text{ con } \mathbb{X}(u,v) = ((a+b\cos u)\cos v, (a+b\cos u)\sin v, b\sin u)$$



Verifichiamo se  $\lim_{\epsilon \rightarrow 0} \text{Area}(R_\epsilon) = (2\pi)^2 ab$

Soluzione  $\underline{x}_u = (-b\sin u \cos v, -b\sin u \sin v, b \cos u)$

$$\underline{x}_v = (a + b\cos u, -\sin u, \cos u, 0)$$

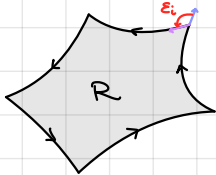
$$E = \underline{x}_u \cdot \underline{x}_u = b^2$$

$$F = \underline{x}_u \cdot \underline{x}_v = 0$$

$$G = \underline{x}_v \cdot \underline{x}_v = (a + b\cos u)^2$$

$$\begin{aligned} \text{Area}(R_\epsilon) &= b \int_0^{2\pi-\epsilon} \int_0^{2\pi-\epsilon} a + b\cos u \, du \, dv = (2\pi - \epsilon)b \int_0^{2\pi-\epsilon} a + b\cos u \, du = \\ &= (2\pi - \epsilon)b \left[ a(2\pi - \epsilon) + b\sin u \Big|_0^{2\pi - \epsilon} \right] \xrightarrow{\epsilon \rightarrow 0} (2\pi)^2 ab \end{aligned}$$

$R \subseteq \Sigma(U) \subseteq \Sigma$  superficie orientata



$\partial R$  è orientato in modo che  $R$  sia alla sua "sinistra".  
 $\epsilon_i$  := angolo con segno di rotazione ( $>0$  se anti-orario)  
 nell' $i$ -esimo vertice di  $\partial R$

**Teorema di Gauß-Bonnet locale**

$R \subseteq \Sigma(U) \subseteq \Sigma$  superficie orientata,  $R$  semplicemente连通的,  $\partial R$  parametrizzato da una curva chiusa, semplice, regolare a tratti con angoli esterni  $\epsilon_1, \dots, \epsilon_e$ . Allora

$$\int_R K dA + \sum_{j=1}^e \epsilon_j + \int_{\partial R} K_g = 2\pi$$

$\alpha: [a, b] \rightarrow \Sigma(U)$  parametrizzazione pla di un segmento regolare di  $\partial R$   
 $K_g := \bar{T} \cdot (\bar{n} \times T)$  curvatura geodetica lungo la curva

Oss Se  $\alpha$  è una geodetica,  $T_\alpha \in (T_{\alpha(s)} \Sigma)^\perp$ , quindi  $K_g = 0$

Oss Cambiando l'orientazione di  $\Sigma$ , ciascun addendo rimane invariato

•  $K \mapsto K \Rightarrow \int_R K dA$  non cambia

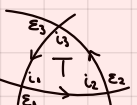
•  $\epsilon_i$  non cambia

•  $\alpha: [0, l] \rightarrow \Sigma$  pla a tratti parametrizzazione del bordo  
 allora  $K_g = T_\alpha \cdot (\bar{n} \times T_\alpha)$

$$T_{\alpha(s)} \Sigma^\perp \cap T_{\alpha(s)} \Sigma = \bar{n} \times T_\alpha \in T_{\alpha(s)} \Sigma$$

$\bar{n} \xrightarrow[\text{cambio orientazione}]{\text{orientazione}} -\bar{n}$ ,  $T_\alpha \mapsto -T_\alpha$  ma  $T_\alpha$  non cambia segno  
 (è come prendere  $\beta(s) = \alpha(l-s)$ , per cui  $T_\beta = -T_\alpha$ ,  $T_\beta = T_\alpha$ )

**corollario**

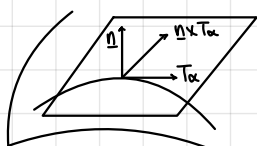


$T$  triangolo geodetico,  $T \subseteq \Sigma(U) \subseteq \Sigma$  superficie orientata  
 allora  $\int_T K dA = i_1 + i_2 + i_3 - \pi$

**DIMOSTRAZIONE**

$$i_j + \epsilon_j = \pi, \text{ inoltre } \partial T \text{ geodetico} \Rightarrow \int_T K_g = 0$$

$$\text{Quindi: } \int_T K dA = 2\pi - \epsilon_1 - \epsilon_2 - \epsilon_3 = 2\pi - 3\pi + i_1 + i_2 + i_3 = i_1 + i_2 + i_3 - \pi \quad \square$$



$\alpha: [0, l] \rightarrow \Sigma$  pla. ( $n, T_\alpha, \bar{n} \times T_\alpha$  base ortonormale)  
 $\Sigma$  superficie orientata

Ora sappiamo che  $T_\alpha \perp T_\alpha$ , ossia

$$T_\alpha = (\bar{T}_\alpha \cdot (\bar{n} \times T_\alpha)) \bar{n} \times T_\alpha + (\bar{T}_\alpha \cdot \bar{n}) \bar{n} = K_g \bar{n} \times T_\alpha + K_n \bar{n}$$

dove  $K_n = K_n(\alpha(s), T_\alpha(s))$  curvatura normale

$$\Rightarrow K_\alpha^2 = K_g^2 + K_n^2$$

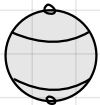
Inoltre da  $T_\alpha = \alpha'$ , possiamo interpretare  $T_\alpha = D_\alpha \alpha'$

$$\Rightarrow T_\alpha \cdot (\bar{n} \times T_\alpha) = (T_\alpha)^T \cdot (\bar{n} \times T_\alpha)$$

$$(D_\alpha \alpha')^T = \nabla_\alpha \alpha' = 0 \Leftrightarrow \alpha \text{ geodetica}$$

Esercizio Calcolare la curvatura geodetica di un parallelo sulla sfera di raggio 1

Soluzione



$$S^2 \cdot \{ \text{piani} \}$$

$$\chi(u, v) = (\sin u \cos v, \sin u \sin v, \cos u)$$

$$\alpha(t) = \chi(u_0, t) = (\sin u_0 \cos t, \sin u_0 \sin t, \cos u_0)$$

$$\text{Ora } \alpha'(t) = \sin u_0 (-\sin t, \cos t, 0) \Rightarrow \beta(s) = \alpha\left(\frac{s}{\sin u_0}\right)$$

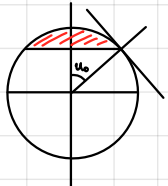
Allora  $\|\beta'(s)\| = 1$ , cioè  $\beta$  è pia

$$T_\beta(s) = \left(-\sin \frac{s}{\sin u_0}, \cos \frac{s}{\sin u_0}, 0\right), \quad \Omega(\beta(s)) = \beta(s)$$

$$\dot{T}_\beta(s) = -\frac{1}{\sin u_0} \left(\cos \frac{s}{\sin u_0}, -\sin \frac{s}{\sin u_0}, 0\right)$$

$$\text{per cui } k_g(s) = \dot{T}_\beta \cdot (\Omega \times T_\beta) = -\frac{1}{\sin u_0} \det \begin{pmatrix} \cos \frac{s}{\sin u_0} & \sin \frac{s}{\sin u_0} & 0 \\ \sin u_0 \cos \frac{s}{\sin u_0} & \sin u_0 \sin \frac{s}{\sin u_0} & \cos u_0 \\ -\sin \frac{s}{\sin u_0} & \cos \frac{s}{\sin u_0} & 0 \end{pmatrix} = \cot u_0$$

Inoltre



$$k_n = 1, \quad k_g = \frac{\cos u_0}{\sin u_0}$$

$$\text{ed effettivamente } k_n^2 = k_n^2 + k_g^2 = \frac{1}{\sin^2 u_0}$$

Esercizio Verificare il Teorema di Gauß-Bonnet per una calotta sferica  $\{u \geq u_0\}$  (nel caso  $u_0 > \frac{\pi}{2}$ )

Soluzione  $U = \{(u, v) \in \mathbb{R}^2 \mid u^2 + v^2 < 1\}$  ( $R \cong U$  è semplicemente connesso)

$$\chi: U \rightarrow S^2 \quad \text{è } C^\infty$$

$$(u, v) \mapsto (u, v, (1-u^2-v^2)^{-\frac{1}{2}})$$

$$\text{Allora } \int_R k da + \sum \varepsilon_j + \int_{\partial R} k_g = 2\pi$$

area(R)  $\int_{\partial R} \cot(u_0) l(\partial R) = 2\pi \cos(u_0)$

$$\text{Ora } \chi_u = (1, 0, -u(1-u^2-v^2)^{-\frac{1}{2}}), \quad \chi_v = (0, 1, -v(1-u^2-v^2)^{-\frac{1}{2}})$$

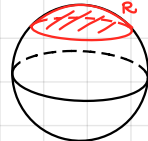
$$\text{Quindi } E = \chi_u \cdot \chi_u = 1 + u^2(1-u^2-v^2)^{-1}$$

$$F = \chi_u \cdot \chi_v = uv(1-u^2-v^2)^{-1}$$

$$G = \chi_v \cdot \chi_v = 1 + v^2(1-u^2-v^2)^{-1}$$

$$\Rightarrow EG - F^2 = 1 + (u^2 + v^2)(1-u^2-v^2)^{-1} = (1-u^2-v^2)^{-1}$$

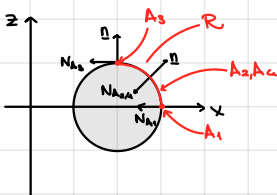
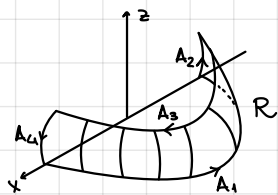
$$\Rightarrow \int_{\chi^{-1}(R)} \sqrt{(1-u^2-v^2)^{-1}} du dv = \int_0^{\sin u_0} \int_0^{2\pi} \sqrt{(1-r^2)^{-1}} r dr d\theta = -2\pi \left[ \sqrt{1-r^2} \right]_0^{\sin u_0} = 2\pi(1-\cos u_0)$$



### Esercizio Verificare Gauss-Bonnet locale per la regione

$$\Sigma([0, \frac{\pi}{2}] \times [0, \pi]) \subseteq T_{2,5} \text{ dove } \Sigma(u, v) = ((5+2\cos u)\cos v, (5+2\cos u)\sin v, 2\sin u)$$

SOLUZIONE



$$A_1 = \{\Sigma(0, t) \mid 0 \leq t \leq \pi\} \text{ traccia di geodetica}$$

(è un parallelo corrispondente a un punto centrico  
della distanza dall'asse di rotazione)

$$A_2 = \{\Sigma(t, \pi) \mid 0 \leq t \leq \frac{\pi}{2}\} \text{ traccia di geodetica (meridiano)}$$

$$A_4 = \{\Sigma(\frac{\pi}{2} - t, 0) \mid 0 \leq t \leq \frac{\pi}{2}\} \text{ traccia di geodetica (meridiano)}$$

$$A_3 = \{\Sigma(\frac{\pi}{2}, \pi - t) \mid 0 \leq t \leq \pi\}$$

Dobbiamo verificare  $\int_{\partial E} k g + \int_E k dA + \sum_{k=1}^4 \varepsilon_k = 2\pi$

$$\varepsilon_k = \frac{\pi}{2} \quad \forall k \Rightarrow \sum_{k=1}^4 \varepsilon_k = 2\pi$$

$$A_3: \alpha(t) = (5\cos(\pi-t), 5\sin(\pi-t), 2) \text{ con } 0 \leq t \leq \pi$$

$$\alpha'(t) = (5\sin(\pi-t), -5\cos(\pi-t), 0)$$

$$\beta(s) = (5\cos(\pi - \frac{s}{5}), -5\sin(\pi - \frac{s}{5}), 0) \text{ p.l.a.}$$

$$T_\beta(s) = (\sin(\pi - \frac{s}{5}), -\cos(\pi - \frac{s}{5}), 0) \quad \dot{T}_\beta(s) = -\frac{1}{5}(\cos(\pi - \frac{s}{5}), \sin(\pi - \frac{s}{5}), 0)$$

$$\underline{\Omega} = (0, 0, 1) \Rightarrow k_g = \dot{T} \cdot (n \times T) = -\frac{1}{5} \begin{vmatrix} \cos(\pi - \frac{s}{5}) & \sin(\pi - \frac{s}{5}) & 0 \\ \sin(\pi - \frac{s}{5}) & -\cos(\pi - \frac{s}{5}) & 0 \\ 0 & 0 & 1 \end{vmatrix} = -\frac{1}{5}$$

Notiamo che  $k_n = \dot{T}_\beta \cdot \underline{\Omega} = 0$  poiché  $\dot{T}_\beta$  è tangente al toro.

Quindi  $k_g^2 = k_g^2 = (\frac{1}{5})^2$  è coerente col fatto  $A_3$  = porzione di cerchio di raggio 5.

La lunghezza di  $A_3$  è  $5\pi$ , quindi  $\int_{\partial E} k g = \int_{A_3} k_g = -\frac{1}{5} \cdot 5\pi = -\pi$

Abbiamo già calcolato  $E, F, G$  e  $k$  per il toro, e ottieniamo

$$E = 4, F = 0, G = (5+2\cos u)^2, k = \frac{\cos u}{2(5+2\cos u)}$$

$$\Rightarrow \int_E k dA = \int_0^{\frac{\pi}{2}} \int_0^\pi \frac{\cos u}{2(5+2\cos u)} \sqrt{4(5+2\cos u)^2} du dv = \pi |\sin u|_0^{\frac{\pi}{2}} = \pi$$

Quindi

$$\int_{\partial E} k g + \int_E k dA + \sum \varepsilon_k = -\pi + \pi + 2\pi = 2\pi \quad \checkmark$$

### Teorema di Gauß-Bonnet globale

$\hat{\Sigma} \subseteq \mathbb{R}^3$  superficie orientata,  $\partial\hat{\Sigma} \neq \emptyset$

$R \subseteq \hat{\Sigma}$  regione,  $\partial R$  traccia di curva semplice chiusa, regolare a tratti

Def.  $\Sigma = \overline{\hat{\Sigma} \setminus R}$  superficie orientata con bordo

### Teorema di Radó

$\Sigma$  ammette una triangolazione  $\mathcal{T} = \{\Delta_\lambda\}_{\lambda=1}^m$ ,  
con  $\Sigma = \bigcup_{\lambda=1}^m \Delta_\lambda$ , e

(i)  $\Delta_\lambda$  è immagine di un triangolo euclideo tramite parametrizzazione regolare compatibile con orientazione

$$(ii) \Delta_\lambda \cap \Delta_\mu = \begin{cases} \emptyset & \text{vertice} \\ \text{lato} & \text{se } \lambda + \mu \end{cases}$$

(iii) se  $\Delta_\lambda \cap \Delta_\mu = 1$  lato, le orientazioni indotte su di esso sono opposte

$$(iv) \Delta_\lambda \cap \partial\Sigma = \begin{cases} \emptyset & \text{vertice} \\ \text{lato} & \forall \lambda \end{cases}$$

L'enunciato è valido (togliendo (iv)) se  $R = \emptyset$



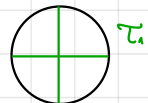
Def.  $\mathcal{T}$  triangolazione di  $\Sigma$  superficie orientata con bordo

$V = \#\text{vertici}$ ,  $L = \#\text{latti}$ ,  $T = \#\text{triangoli}$

$\chi(\Sigma, \mathcal{T}) = V - L + T$  è la caratteristica di Euler di  $\Sigma$

Esempio (1)  $\Sigma = D^2$

$$V=5, L=8, T=4 \Rightarrow \chi(\Sigma, \mathcal{T}_1) = 5-8+4 = 1$$

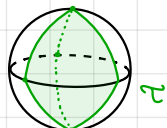


$$V=8, L=16, T=9 \Rightarrow \chi(\Sigma, \mathcal{T}_2) = 8-16+9 = 1$$



(2)  $\Sigma = S^2$

$$V=5, L=9, T=6 \Rightarrow \chi(\Sigma, \mathcal{T}) = 5-9+6 = 2$$



FATTO  $\chi(\Sigma, \mathcal{T})$  non dipende da  $\mathcal{T}$ .

Infatti, superfici omotopicamente equivalenti hanno la stessa caratteristica di Euler  
Quindi la possiamo indicare con  $\chi(\Sigma)$

FATTO Classificazione delle superfici orientabili, compatte, senza bordo,  
chiuse e connesse  $\rightarrow$  superfici di genere g

$$\chi(\Sigma_{2g}) = 2-2g$$



**Teorema di Gauß-Bonnet globale**

$\Sigma$  superficie compatta, con bordo regolare  
 e tratti, angoli esterni  $\varepsilon_1, \dots, \varepsilon_l$  e  
 triangolazione  $T = \{\Delta_1, \dots, \Delta_m\}$ . Allora  
 $\int_{\partial\Sigma} k ds + \int_{\Sigma} K dA + \sum_{k=1}^l \varepsilon_k = 2\pi \chi(\Sigma)$

**corollario**  $\partial\Sigma = \emptyset \Rightarrow \int_{\Sigma} K dA = 2\pi \chi(\Sigma)$

Idea della dimostrazione

Per ogni  $\Delta_i$  vale Gauß-Bonnet locale:  $\int_{\partial\Delta_i} k ds + \int_{\Delta_i} K dA + \sum_{j=1}^3 \varepsilon_j = 2\pi$   
 Sommando su  $\lambda$ , osserviamo che ogni lato interno viene cancellato

$$\int_{\partial\Sigma} k ds + \int_{\Sigma} K dA + \sum \varepsilon_j + 2\pi(L-V) = 2\pi T$$

□

**esercizio** Verificare Gauß-Bonnet nel caso di una regione di  $\Sigma$  cilindro intorno all'asse  $z$

soluzione  $R = \{a \leq z \leq b\} \subseteq \Sigma$

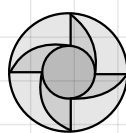
Per GB,  $\int_{\partial R} k ds + \int_R K = 2\pi \chi(R)$

Il cilindro è una superficie piatta  $\Rightarrow \int_R K dA = 0$

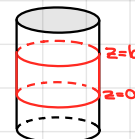
$\partial R = \{z=a\} \cup \{z=b\}$  sono paralleli in punti critici della distanza dall'asse  $z \Rightarrow$  sono geodetiche

e quindi  $\int_{\partial R} k ds = 0$

$\Rightarrow R \cong$  cerchio planare



$$V=8, L=16, T=8$$



**esercizio** Se  $\Sigma \subseteq \mathbb{R}^3$  è una superficie chiusa, compatta e senza bordo, e orientabile,  $\Sigma \neq S^2$  Allora esistono punti in cui  $K > 0, K < 0, K = 0$ .

soluzione Wlog  $\Sigma$  connessa

Sappiamo che punti con  $K > 0$  esistono sempre

Per GB,  $\int_{\Sigma} K dA = 2\pi(2-2g) \leq 0 \quad (g \geq 1)$

Si conclude per continuità: se fosse  $K \geq 0$  ovunque avremmo

$\int_{\Sigma} K dA \geq 0$ . Quindi ci sono punti con  $K < 0$  e per continuità  $K=0$ .

**esercizio** Dire quando può esistere una geodetica chiusa e chiusa

su una superficie  $\Sigma$  nei casi

1.  $K > 0 \Rightarrow$  sfera con cerchio massimo

2.  $K = 0 \Rightarrow$  cilindro con un parallelo, ma non è possibile che la regione sia semplicemente连通 (0 =  $\int_{\partial R} k ds + \int_R K dA + 2\pi$ )

3.  $K < 0 \Rightarrow$

e dire (quando possibile) un esempio di regione semplicemente连通  
 che borda la geodetica

esercizio  $\Sigma = \underline{\gamma}(U) \subseteq \mathbb{R}^3$

$$\underline{\gamma}: U = \{(u, v) \in \mathbb{R}^2 \mid u > 0\} \longrightarrow \mathbb{R}^3$$

$$(u, v) \longmapsto (u \cos v, u \sin v, \log u)$$

(1) Calcolare la curvatura gaussiana in ogni punto di  $\Sigma$

(2) Verificare GB per  $R = \{0 \leq z \leq 1\} \subseteq \Sigma$

(3) Sia  $\gamma: R \rightarrow \Sigma$  la gerolitica t.c.  $\gamma(0) = (1, 0, 0)$ ,  $\gamma'(0) = (1, \sqrt{2}, 1)$

Mostrare che  $\gamma(R) = \{z \geq -\frac{1}{2} \log 2\} \subseteq \Sigma$

soluzione (1) Vediamo dall'equazione che  $\Sigma$  è ottenuta ruotando

$$\alpha: \mathbb{R} \rightarrow \mathbb{R}^3, \quad \alpha(u) = (u, 0, \log u)$$

$$\text{Calcoliamo } K = \frac{Eh - m^2}{EG - F^2}$$

$$\underline{\gamma}_u = (\cos v, \sin v, \frac{1}{u}), \quad \underline{\gamma}_v = (-u \sin v, u \cos v, 0)$$

$$E = \underline{\gamma}_u \cdot \underline{\gamma}_u = 1 + \frac{1}{u^2}, \quad F = \underline{\gamma}_u \cdot \underline{\gamma}_v = 0, \quad G = \underline{\gamma}_v \cdot \underline{\gamma}_v = u^2$$

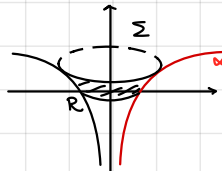
$$\Omega = \frac{\underline{\gamma}_u \times \underline{\gamma}_v}{\|\underline{\gamma}_u \times \underline{\gamma}_v\|} = \frac{u}{\sqrt{EG - F^2}} \left( \begin{array}{c} \cos v \\ \sin v \\ 0 \end{array} \right) \times \left( \begin{array}{c} -\sin v \\ \cos v \\ 0 \end{array} \right) = \frac{u}{\sqrt{1+u^2}} \left( -\frac{1}{u} \cos v, -\frac{1}{u} \sin v, 1 \right) = -\frac{1}{\sqrt{1+u^2}} (\cos v, \sin v, -u)$$

$$L = \underline{\Omega} \cdot \underline{\gamma}_{uu} = \underline{\Omega} \cdot (0, 0, -\frac{1}{u^2}) = -\frac{1}{u\sqrt{1+u^2}}$$

$$M = \underline{\Omega} \cdot \underline{\gamma}_{uv} = \underline{\Omega} \cdot (-\sin v, \cos v, 0) = 0$$

$$N = \underline{\Omega} \cdot \underline{\gamma}_{vv} = \underline{\Omega} \cdot (-u \cos v, -u \sin v, 0) = \frac{u}{\sqrt{1+u^2}}$$

$$\Rightarrow K = -\frac{1}{(1+u^2)^2} < 0$$



(2)  Il versore normale è entrante parametrizzata per  $v$  crescente

$$1 = \log u_0 = 2$$

La curva  $z = \log u_0$  ( $u_0 > 0$ ) è  $\{\underline{\gamma}(u_0, v) \mid v \in \mathbb{R}\}$

$$\underline{\gamma}_{u_0}(v) = \underline{\gamma}(u_0, v) = (u_0 \cos v, u_0 \sin v, \log u_0)$$

$$\beta_{u_0}(s) = (u_0 \cos(\frac{s}{u_0}), u_0 \sin(\frac{s}{u_0}), \log u_0) \text{ P.L.A.}$$

$$T_{\beta}(s) = u_0 \cdot \frac{1}{u_0} (-\sin(\frac{s}{u_0}), \cos(\frac{s}{u_0}), 0)$$

$$\dot{T}_{\beta}(s) = -\frac{1}{u_0} (\cos(\frac{s}{u_0}), \sin(\frac{s}{u_0}), 0)$$

$$k_g = \dot{T} \cdot (\Omega \times T) = \frac{1}{u_0 \sqrt{1+u_0^2}} \det \begin{pmatrix} \cos(\frac{s}{u_0}) & \sin(\frac{s}{u_0}) & 0 \\ \cos(\frac{s}{u_0}) & \sin(\frac{s}{u_0}) & -u_0 \\ -\sin(\frac{s}{u_0}) & \cos(\frac{s}{u_0}) & 0 \end{pmatrix} = \frac{1}{\sqrt{1+u_0^2}}$$

$$\Rightarrow \int_{\mathbb{R}} k_g ds = \int_{\mathbb{R}} k_g ds - \int_{\mathbb{R}} k_g ds = \frac{1}{\sqrt{1+e^2}} \cdot 2\pi e - \frac{1}{\sqrt{1+e^2}} \cdot 2\pi = 2\pi \left( \frac{e}{\sqrt{1+e^2}} - \frac{1}{\sqrt{2}} \right)$$

$$\chi(R) = 0$$

$$\int_R k dA = \int_1^e \int_0^{2\pi} -\frac{1}{(1+u^2)^2} \sqrt{1+u^2} du dv = -2\pi \int_1^e \frac{1}{(1+u^2)^{\frac{3}{2}}} du =$$

$$= -2\pi \int_0^e \frac{1}{u(1+\sinh^2 t)^{\frac{3}{2}}} \cosh t dt = -2\pi \int_0^e \frac{1}{u \cosh^3 t} dt = -2\pi \int_0^e \frac{1}{u} \tanh t dt = -2\pi \left[ \frac{u}{\sqrt{1+u^2}} \right]_1^e = 2\pi \left( \frac{1}{\sqrt{2}} - \frac{e}{\sqrt{1+e^2}} \right)$$

$$(\sinh t)' = \frac{\cosh^2 t - \sinh^2 t}{\cosh^3 t} = \frac{1}{\cosh^2 t}$$

(3) Sappiamo che  $r \cos \phi = \text{cost}$  (costante di Clairaut)

Calcoliamo la costante:  $r = u > 0$

$$(1, 0, 0) = \underline{\gamma}(u, 0) \Rightarrow (u, 0) = (1, 0)$$

$$\gamma'(0) \cdot \underline{\gamma}_v(1, 0) = (1, \sqrt{2}, 1) \cdot (0, 1, 0) = \sqrt{2} = \|\gamma'(0)\| \cdot \|\underline{\gamma}_v(1, 0)\| \cos \phi_0 = 2 \cos \phi_0 \Rightarrow \cos \phi_0 = \frac{1}{\sqrt{2}}$$

$$\Rightarrow r_0 \cos \phi_0 = \frac{1}{\sqrt{2}} \text{ costante di Clairaut}$$

Sappiamo che  $\forall \underline{\gamma}(u, v) \in \gamma(R)$ , vale  $r \cos \phi = u \cos \phi = \frac{1}{\sqrt{2}}$

$$\Rightarrow u \geq u \cos \phi = \frac{1}{\sqrt{2}} \Rightarrow z = \log u \geq -\frac{1}{2} \log 2$$

esercizio Sia  $S = \{(x, y, z) \in \mathbb{R}^3 \mid x^2 + y^2 + 4z^2 = 1\}$

(1) Mostra che  $S$  è una superficie

(2) Trova un triangolo geodetico  $T_S \subseteq S$ ,  $\forall \theta \in (0, \pi/2]$

con vertici  $P_1 = (1, 0, 0)$ ,  $P_2 = (\cos \theta, \sin \theta, 0)$ ,  $P_3 = (0, 0, 1/2)$

e verifica GB per  $T_S$  (assegnando che valga anche per regioni  $R \subseteq \overline{\chi(U)}$ )

soluzione

# TOPOLOGIA DIFFERENZIALE

Def.  $X \subseteq \mathbb{R}^n, Y \subseteq \mathbb{R}^m$  insiemi non vuoti

$f: X \rightarrow Y$  è  $C^\infty$  se

$\forall p \in X \exists W \subseteq \mathbb{R}^n$  aperto,  $p \in W$  e  $\exists$  mappa  $C^\infty F: W \rightarrow \mathbb{R}^m$  t.c.  $F|_{W \cap X} = f|_{W \cap X}$

Se  $f: X \rightarrow Y$   $C^\infty$  ha inversa  $f^{-1}: Y \rightarrow X$   $C^\infty$ ,

$f$  si dice diffeomorfismo tra  $X$  e  $Y$ :  $X \cong Y$  (o  $f: X \xrightarrow{\sim} Y$ )

Oss 1) Se  $X$  è un aperto di  $\mathbb{R}^n$  e  $Y = \mathbb{R}^m$ , una mappa  $f: X \rightarrow Y$  è  $C^\infty$  nel nuovo senso  $\Leftrightarrow$  lo è nel vecchio

(2)  $X \xrightarrow{f} Y \xrightarrow{g} Z$ ,  $f, g \in C^\infty$

Allora  $g \circ f: X \rightarrow Z$  è  $C^\infty$

(3) Se  $f: X \rightarrow Y$  è  $C^\infty$ , allora se  $X' \subseteq X$ ,

$f|_{X'}: X' \rightarrow Y$  è  $C^\infty$

Anche  $f: X \rightarrow f(X) \cong Y$  è  $C^\infty$

Def. Sia  $m > 0$  un intero.

Una **varietà** di dimensione  $m$  è un sottoinsieme  $M \subseteq \mathbb{R}^k$  t.c.

$\forall p \in M \exists$  aperto  $W \subseteq \mathbb{R}^k$ ,  $p \in W$  e diffeomorfismo  $f: W \cap M \rightarrow U \subseteq \mathbb{R}^m$  aperto

Per  $m=0$ , la richiesta è  $W \cap M = \{p\}$

Esempio (1)  $U \subseteq \mathbb{R}^m$  aperto

$p \in U = W$ ,  $f = \text{id}_U: U \xrightarrow{\sim} U \Rightarrow U$  è una varietà

(2)  $\Sigma \subseteq \mathbb{R}^3$  superficie

Sia  $p \in \Sigma$ : intorno a  $p$ ,  $\Sigma$  è un grafico rispetto a

una proiezione  $\pi: \Sigma \rightarrow \mathbb{R}^2$

Quindi  $\exists A \subseteq \mathbb{R}^2$  aperto,  $f: A \rightarrow \mathbb{R}^3$  t.c.

$\underline{\chi}(u, v) = (u, v, f(u, v))$  è una par. regolare intorno a  $p$

$W = \pi^{-1}(A)$  aperto,  $W \cap \Sigma = \underline{\chi}(A)$

$$\begin{array}{c} \pi|_{W \cap \Sigma} \\ \downarrow \\ A \end{array}$$

$\pi|_{W \cap \Sigma} \in C^\infty$ ,

l'inversa è  $(u, v) \mapsto (u, v, f(u, v))$ , che è  $(\pi|_{W \cap \Sigma})^{-1}$

$\Rightarrow \Sigma$  è una varietà di dimensione 2

**Def.**  $U \subseteq \mathbb{R}^k$  aperto,  $x \in U$ .

Lo spazio tangente  $T_x U$  è  $\mathbb{R}^k$ .

Riduciamoci il differenziale secondo il calcolo differenziale:

$U \subseteq \mathbb{R}^k$  aperto,  $V \subseteq \mathbb{R}^l$  aperto,  $f: U \rightarrow V$   $C^\infty$ ,  $x \in U$ ,  $h \in \mathbb{R}^k$

$$df_x(h) = \lim_{t \rightarrow 0} \frac{f(x+th) - f(x)}{t}, \quad df_x: \mathbb{R}^k \rightarrow \mathbb{R}^l \text{ è lineare}$$

e ha matrice  $Jac(f)_x = \left( \frac{\partial f_i}{\partial x_j} \right)_x$

Proprietà:

$$(1) d(g \circ f)_x = dg_{f(x)} \circ df_x$$

$$(2) id_U: U \rightarrow U, U \subseteq \mathbb{R}^k \Rightarrow d(id_U)_x = id_{\mathbb{R}^k} \quad \forall x \in U$$

$$(3) U' \subseteq U \subseteq \mathbb{R}^k \text{ aperti, i.e. } U' \hookrightarrow U \text{ mappa di inclusione}$$

$\Rightarrow d|_{U'} = id_{\mathbb{R}^k} \quad \forall x \in U'$

$$(4) L: \mathbb{R}^k \rightarrow \mathbb{R}^l \text{ lineare} \Rightarrow dL_x = L \quad \forall x \in \mathbb{R}^k$$

**Proposizione** Siano  $U \subseteq \mathbb{R}^k, V \subseteq \mathbb{R}^l$  aperti,  $U \xrightarrow[f]{\cong} V$ .

Allora  $k=l$ ,  $df_x$  isometria  $\forall x \in U$

DIMOSTRAZIONE

$$g: V \rightarrow U \text{ inversa di } f \Rightarrow id_{\mathbb{R}^k} = d(id_U)_x = d(g \circ f)_x = dg_{f(x)} \circ df_x$$

$$id_{\mathbb{R}^l} = d(id_V)_x = d(f \circ g)_{f(x)} = df_x \circ dg_{f(x)}$$

$$\Rightarrow df_x: \mathbb{R}^k \rightarrow \mathbb{R}^l \text{ iniettiva e surgettiva} \Rightarrow f \text{ iso} \Rightarrow k=l$$

□

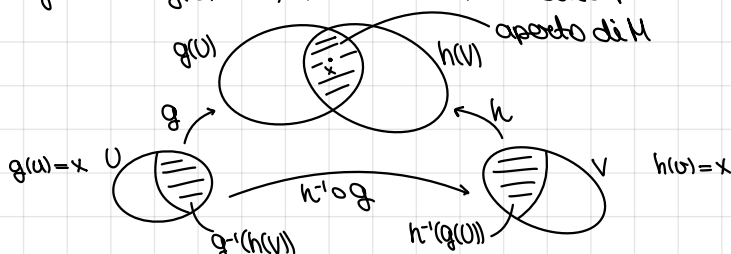
**Def.** Sia  $M \subseteq \mathbb{R}^k$  varietà  $C^\infty$ ,  $x \in M$ ,  $\dim M = m$

$g: U \rightarrow W \cap M$  par. locale intorno a  $x$ ,  $U \subseteq \mathbb{R}^m$  aperto,  $g(u) = x \in W \cap M$

$T_x M := dg_u(\mathbb{R}^m) \subseteq \mathbb{R}^k$  è lo spazio tangente di  $M$  in  $x$ .

Bisogna verificare che  $T_x M$  è ben definito:

Siamo  $g: U \xrightarrow{\cong} g(U) \subseteq M$ ,  $h: V \xrightarrow{\cong} h(V) \subseteq M$  due parametrizzazioni locali intorno a  $x \in M$ .



$h^{-1} \circ g$  è un diffeo perché composizione di diffeomorfismi

$$\Rightarrow dg_u = d(h \circ (h^{-1} \circ g))_u = dh_v \circ d(h^{-1} \circ g)_u \text{ isomorfismo}$$

$$\Rightarrow \text{Im}(dg_u) = \text{Im}(dh_v)$$

**proposizione** Sia  $M \subseteq \mathbb{R}^k$  varietà,  $\dim M = m$   
 $\Rightarrow \forall x \in M \quad \dim T_x M = m$ .

DIMOSTRAZIONE

$g: U \rightarrow W \cap M$ ,  $U \subseteq \mathbb{R}^m$  aperto, par. regolare  
 $x \mapsto x \quad g^{-1} \in C^\infty$   
 $\Rightarrow \dim T_x M = \dim dgu(\mathbb{R}^m) \leq m$   
 $\Rightarrow \exists x \in W \subseteq M$  aperto,  $F: W \rightarrow \mathbb{R}^m \in C^\infty$  t.c.  $F|_{W \cap M} = g^{-1}|_{W \cap M}$

$U \cap g^{-1}(W)$   $\xrightarrow{\quad g \quad}$   $W$   $\xrightarrow{\quad F \quad}$   $\mathbb{R}^m$        $dgu = id_{\mathbb{R}^m} = dF_x \circ dg_u$   
 $\xrightarrow{\quad u \in \mathbb{R}^k \quad}$

$\Rightarrow dgu$  iniettiva  $\Rightarrow \dim dgu(\mathbb{R}^m) = m$

□

Ora vogliamo definire il differenziale di mappe  $C^\infty$  tra varietà:

$$\begin{array}{ccc} & \mathbb{R}^k & \mathbb{R}^l \\ M & \xrightarrow{f} & N \\ x & \longmapsto & y = f(x) \\ & \mathbb{R}^k & \mathbb{R}^l \\ & f \in C^\infty & \end{array}$$

$\Rightarrow \exists W \subseteq \mathbb{R}^k$  intorno aperto di  $x$  e  $F: W \rightarrow \mathbb{R}^l$  con  $F|_{W \cap M} = f|_{W \cap M}$

Definiamo il differenziale di  $f$  in  $x$  come la mappa

$$df_x := dF_x|_{T_x M} : T_x M \rightarrow \mathbb{R}^l$$

**Lemma**  $df_x$  è ben definito e  $df_x(T_x M) \subseteq T_{f(x)} N$ .

DIMOSTRAZIONE

Vogliamo mostrare che  $df_x$  non dipende dall'estensione

$F$ , ma solo  $f$ . Sia  $m = \dim M$ .

Fissiamo par. regolare intorno  $x$  e  $y$ :

$$g: U \rightarrow M, g(u) = x \quad ; \quad h: V \rightarrow N, h(v) = y$$

A meno di cambiare  $U$ , possiamo supporre  $g(U) \subseteq M \cap W$ .

Abbiamo quindi il diagramma commutativo di mappe  $C^\infty$ :

$$\begin{array}{ccc} W & \xrightarrow{F} & \mathbb{R}^l \\ g \uparrow & & \uparrow h \\ U & \xrightarrow{h^{-1} \circ f \circ g} & V \end{array}$$

Quindi

$$\begin{aligned} df_x(dg_u(\mathbb{R}^m)) &= dh_v(d(h^{-1} \circ f \circ g)_u(\mathbb{R}^m)) \\ &\quad \text{Im}(dh_v) = T_y N \\ \Rightarrow df_x|_{T_x M} &= dh_v \circ d(h^{-1} \circ f \circ g)_u \circ (dg_u)^{-1} \\ &\quad \text{non dipende né da } F \text{ né da } W \end{aligned}$$

□

Si verificano le seguenti proprietà del differenziale di mappe tra varietà:

$$(1) \quad d(g \circ f)_x = dg_{f(x)} \circ df_x$$

$$(2) \quad id_M : M \rightarrow M \implies d(id_M)_x = id_{T_x M} \quad \forall x \in M$$

(3)  $M' \subseteq M$  è la restrizione di  $id_M$  a  $M'$ , che è la restrizione di  $id_M$ .

Quindi  $d_{ix} : T_x M' \rightarrow T_x M$  è inieettiva  $\implies T_x M' \subseteq T_x M$  come sottospazio

Oss  $f : M \xrightarrow{\cong} N$  diffeomorfismo di varietà  
 $\implies df_x : T_x M \xrightarrow{\cong} T_{f(x)} N$  isomorfismo  $\forall x \in M$ .

**Def.** Sia  $f : M \rightarrow N$  mappa  $C^\infty$  tra varietà,  $\dim M = m, \dim N = n$ .

$x \in M$  è un punto critico di  $f$  se  $rk(df_x) < n$ , altrimenti è un punto regolare.

$y \in N$  è un valore critico di  $f$  se è immagine di un punto critico,

altrimenti si dice valore regolare.

In particolare, se  $f'(y) = \emptyset$ ,  $y$  è un valore regolare

$F : M \rightarrow N$  mappa  $C^\infty$  tra varietà

$y \in N$  è valore regolare per  $F$  se  $y \notin F(C)$ ,

dove  $C$  è l'insieme dei punti critici

$$C \subset C \iff dF_C : T_C M \rightarrow T_{F(C)} N, \quad rk(dF_C) < \dim N$$

cioè  $y$  regolare  $\iff F^{-1}(y) = \emptyset \quad \forall y \in F^{-1}(y)$   $dF_x : T_x M \rightarrow T_{F(x)} N$  è surgettiva

$M \setminus C$  = punti regolari

### Proposizione

$M, N$  varietà con  $n = \dim M = \dim N$ ,  $F : M \rightarrow N$   $C^\infty$

(1)  $x \in M$  punto regolare per  $F \implies$

$\exists U$  intorno di  $x$  t.c.  $F|_U : U \xrightarrow{\sim} F(U)$

(2)  $M$  compatto. se  $y \in N$  valore regolare,

$$\text{allora } |F^{-1}(y)| < +\infty$$

### DIMOSTRAZIONE

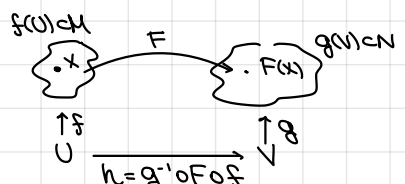
(1)  $f : U \rightarrow M$  par. reg. intorno a  $x$ ,  $f(u) = x$

$g : V \rightarrow N$  par. reg. intorno a  $F(x)$ ,  $g(v) = F(x)$

A meno di restrizioni, possiamo supporre  $F(f(U)) \subset g(V)$

$$dh_u = dg_{F(x)}^{-1} \circ dF_x \circ df_u$$

isomorf. isomorf.



Per ipotesi,  $dF_x$  surgettiva  $\iff dF_x$  isomorfismo

Per il teo della funz. inversa,  $h$  ha inversa  $C^\infty : U' \subset U \rightarrow h(U)$ ,  $h|_{U'} : U' \xrightarrow{\sim} h(U)$

Quindi  $F|_{f(U)} = g|_{h(U)} \circ h|_{U'} \circ f^{-1}|_{f(U')}$  è un diffeo.

(2) Se  $F^{-1}(y) = \emptyset$ , la tesi è vera.

Se  $F^{-1}(y) \neq \emptyset$ , poiché per (1)  $\forall x \in F^{-1}(y)$ , la restrizione ad un opportuno intorno di  $x$  è diffeo,

allora  $F^{-1}(y) \subset M$  è discreto: sia  $U_x$  l'intorno di  $x \in F^{-1}(y)$ .

$$F|_{U_x} : U_x \xrightarrow{\sim} F(U_x), \quad \text{se } x' \in U_x \setminus \{x\}, F(x') \neq y, \text{ cioè } F^{-1}(y) \cap U_x = \{x\}.$$

Ma  $F^{-1}(y) \subset M$  è anche chiuso  $\implies F^{-1}(y)$  chiuso e discreto del compatto  $M$

$$\implies |F^{-1}(y)| < +\infty.$$

□

**Lema della  
pila di dischi**

$F: M \rightarrow N$   $C^\infty$  tra varietà,  $\dim M = \dim N$ ,  $M$  compatta.  
 Se  $y \in N$  valore regolare,  $F^{-1}(y) \neq \emptyset$ , allora  
 $\exists V$  intorno di  $y$  t.c.  $|F^{-1}(y)| = |F^{-1}(y)| \quad \forall y \in V$

**DIMOSTRAZIONE**

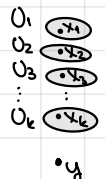
$F^{-1}(y) = \{x_1, \dots, x_k\}$ ,  $U_i$  intorno di  $x_i$  con  $F|_{U_i}$  diff.

Poiché suppongo  $U_i$  disgiunti

$$V = F(U_1) \cap \dots \cap F(U_k) \supset F(M \setminus \bigcup_i U_i)$$

chiuso in  $N \Rightarrow$  compatto  $\Rightarrow F(M \setminus \bigcup_i U_i)$  compatto in  $T_2 \Rightarrow$  chiuso

$\Rightarrow V$  intorno di  $y$



□

**Def.**  $A \subseteq \mathbb{R}^n$  è un insieme di misura nulla se  $\forall \varepsilon > 0$

$\exists$  famiglia numerabile di rettangoli  $\{B_i\}$  t.c.

$$A \subseteq \bigcup_i B_i \text{ e } \sum_i \text{vol}(B_i) < \varepsilon$$

E' chiaro che se  $A \subseteq A$  e  $A$  ha misura zero,  $A$  ha misura zero

Se  $\{A_k\}$  famiglia numerabile,  $A_k \subseteq \mathbb{R}^n$ , con  $A_k$  di misura nulla,  
 allora  $A := \bigcup_k A_k$  ha misura nulla.

**Lema** Se  $B \subseteq \mathbb{R}^n$  è un rettangolo con  $\bar{B} \subset \bigcup_i B_i$ ,  
 $\{B_i\}$  famiglia numerabile di rettangoli, allora  
 $\sum \text{vol}(B_i) \geq \text{vol}(B)$

In particolare,  $\text{vol}(B) > 0 \Rightarrow B$  non ha misura zero.

**Teorema  
di sard**  $F: U \subseteq \mathbb{R}^n \longrightarrow \mathbb{R}^m$   $C^\infty$ ,  $U$  aperto.

Allora l'insieme  $F(C)$  dei valori critici di  $F$   
 ha misura zero.

Ora portiamo questi concetti sulle varietà.

**Def.**  $M \subseteq \mathbb{R}^k$  m-varietà.

$A \subseteq M$  ha misura zero se  $\forall$  carta locale  $(f, W \cap M)$

l'insieme  $f(W \cap A) \subseteq \mathbb{R}^m$  ha misura zero

**Teorema**  $F: M \rightarrow N$   $C^\infty$  tra varietà,  $m = \dim M$ ,  $n = \dim N$   
 Allora, se  $C \subset M$  è l'insieme dei punti critici per  $F$ ,  
 allora  $F(C) \subset N$  ha misura zero.

#### DIMOSTRAZIONE

Sea  $(g, Z \cap N)$  una carta locale su  $N$ .

Vogliamo dimostrare che la misura di  $g(Z \cap F(C))$  è zero.

Gli spazi euclidiani sono a base numerabile

$\Rightarrow \exists$  collezione numerabile  $\{(f_i, W_i \cap M)\}$  di carte locali su  $M$

Ora  $\bigcup g(Z \cap F(C \cap W_i)) = g(Z \cap F(C))$

Mi basta che la misura di  $g(Z \cap F(C \cap W_i)) = 0 \forall i$

$$\begin{array}{ccc} F^{-1}(Z) \cap W_i \cap M & \xrightarrow{F} & F(W_i \cap M) \cap Z \\ \downarrow f_i & & \downarrow g \\ \mathbb{R}^m = f_i(W_i \cap M) \cap F^{-1}(Z) & \xrightarrow{h_i} & g(F(W_i \cap M) \cap Z) \subseteq \mathbb{R}^n \\ \text{e } h_i \text{ è critico per } h_i \Leftrightarrow f_i^{-1}(h_i) \in C \quad (\text{punti critici di } F) \quad (f_i, g \text{ differenti}) \end{array}$$

Perciò per il Teorema di Sard,  $\text{misura}(h_i(\text{crit}(h_i))) = 0$   
 $g(F(W_i \cap M) \cap Z)$

□

**corollario (Brown)**  $F: M \rightarrow N$   $C^\infty$  tra varietà.  
 Allora l'insieme dei valori regolari di  $F$  è denso in  $N$ .

#### DIMOSTRAZIONE

Voglio mostrare che se  $y \in N$  è  $(g, Z \cap N)$  è una carta locale intorno a  $y$ , allora se  $C := \text{crit}(F) \subseteq M$ ,  $(N \setminus F(C)) \cap Z \neq \emptyset$

Perciò quanto appena visto,  $F(C)$  ha misura zero.

$\Rightarrow g(F(C) \cap Z)$  ha misura zero

$g(Z \cap N)$  aperto  $\Rightarrow$  contiene  $\bar{Z}$ , rettangolo

Quindi l'induzione non può essere raggiunta

$\Rightarrow \exists$  punti in  $g(Z \cap N)$ , non in  $g(F(C))$

che equivale a dire  $(Z \cap N) \setminus F(C) \neq \emptyset$

□

esercizio  $M, N$  varietà di dimensioni  $m = \dim M, n = \dim N$ .

Allora  $M \times N$  è una varietà di dimensione  $m+n$  e  
 $\forall (x,y) \in M \times N \quad T_{(x,y)}(M \times N) \cong T_x M \oplus T_y N$

soluzione  $M \subseteq \mathbb{R}^k, N \subseteq \mathbb{R}^l, M \times N \subseteq \mathbb{R}^{k+l}$

Siamo  $f: M \cap W \rightarrow \mathbb{R}^m, g: N \cap V \rightarrow \mathbb{R}^n$  par. locali

Allora  $(M \cap W) \times (N \cap V) \subseteq M \times N$  è aperto e

$f \times g: (M \cap W) \times (N \cap V) \rightarrow \mathbb{R}^m \times \mathbb{R}^n$  è par. locale

Inoltre  $d(f \times g)_{(x,y)} = (df_x, dg_y) \Rightarrow T_{(x,y)}(M \times N) \cong (T_x M) \oplus (T_y N)$

**Lemma**  $f: M \rightarrow N$   $C^\infty$  tra varietà con  $m = \dim M > n = \dim N$

$y \in N$  valore regolare per  $f$ . Allora

$f^{-1}(y) \subseteq M$  è una varietà di dimensione  $m-n$ .

DIMOSTRAZIONE

$x \in f^{-1}(y) \subseteq M$ . So che  $df_x: T_x M \rightarrow T_y N$  è surgettiva

$K := \text{Ker } df_x \subseteq T_x M = \mathbb{R}^k$  con  $\dim K = m-n$  (dove  $M \subseteq \mathbb{R}^k$ )

$\Rightarrow \exists L: \mathbb{R}^k \rightarrow \mathbb{R}^{m-n}$  lineare con  $L|_K: K \xrightarrow{\sim} \mathbb{R}^{m-n}$

Definisco  $F: M \rightarrow N \times \mathbb{R}^{m-n}$  con  $F(x) = (f(x), L(x))$

Ora  $dF_x = (df_x, dL_x = L_x): T_x M \rightarrow T_{(f(x), L(x))}(N \times \mathbb{R}^{m-n})$

con la stessa dimensione

Se  $dF_x(v) = 0 = (df_x(v), L(v))$

$\Rightarrow df_x(v) = 0 \Rightarrow v \in K$  ma  $L|_K$  è iso  $\Rightarrow v = 0$

$\Rightarrow dF_x$  è iso  $\Rightarrow x$  è punto regolare per  $F$

$\Rightarrow \exists U \subseteq M$  intorno di  $x$  t.c.  $F|_U: U \xrightarrow{\cong} V$  intorno di  $F(x) = (f(x), L(x))$

la restrizione di  $F$  manda  $f^{-1}(y) \cap U$  in  $y \times \mathbb{R}^{m-n}$

Infatti,  $V \cap (y \times \mathbb{R}^{m-n})$  è diffeomorfo a un aperto di  $\mathbb{R}^{m-n}$

e  $F$  dà un diffeomorfismo tra  $F^{-1}(V \cap (y \times \mathbb{R}^{m-n}))$  e  $V \cap (y \times \mathbb{R}^{m-n})$   
(intorno di  $x$  in  $f^{-1}(y)$ )

Quindi  $f^{-1}(y)$  è una varietà di dimensione  $m-n$ .

□

ESEMPIO

$S^n = \{(x_1, \dots, x_{n+1}) \in \mathbb{R}^{n+1} \mid \sum_{i=1}^{n+1} x_i^2 = 1\}$  sfera  $n$ -dimensionale

$S^n = f^{-1}(1)$ ,  $f: \mathbb{R}^{n+1} \rightarrow \mathbb{R}$   $f(x_1, \dots, x_{n+1}) = \sum_{i=1}^{n+1} x_i^2$

1 è valore regolare per  $f$ :

$df_x = (Jf)_x = (2x_1, 2x_2, \dots, 2x_{n+1})$

$\text{crit}(f) = \{x \in \mathbb{R}^{n+1} \mid \text{rk}(Jf)_x = 0\} = \{0\}$

$f(0) = 0 \Rightarrow f(C) = \{0\} \Rightarrow 1 \in \text{valore regolare}$

**Lemma**  $f: M \rightarrow N$   $C^\infty$  tra varietà con  $m = \dim M > n = \dim N$   
 $y \in N$  valore regolare per  $f$ ,  $x \in f^{-1}(y)$ ,  $T_x f^{-1}(y) = \text{Ker } df_x$   
e  $df_x|_{T_x f^{-1}(y)^\perp}: T_x f^{-1}(y)^\perp \xrightarrow{\sim} T_y N$

DIMOSTRAZIONE

$$\begin{array}{ccc} x \in f^{-1}(y) & \xrightarrow{i_1} & M \\ \downarrow f|_{f^{-1}(y)} & & \downarrow f \\ y & \xrightarrow{i_2} & N \end{array}$$

diagramma commutativo

$v \in T_x f^{-1}(y)$

$df_x(v) = df_x((d i_1)_x v) = d(f \circ i_1)_x(v) = d(i_2 \circ f)_x(v) =$   
 $= (d i_2)_y \circ (df)_x(v) = 0$  perché  $T_y f(y) = \{0\}$

e  $\dim T_x f^{-1}(y) = m-n = \dim \text{Ker } df_x \Rightarrow T_x f^{-1}(y) = \text{Ker } df_x$

Però  $\dim T_x f^{-1}(y)^\perp = m - (m-n) = n = \dim N$   
 $\Rightarrow df_x|_{T_x f^{-1}(y)^\perp}$  è isomorfismo.

□

ESEMPIO  $x \in S^n$

$\text{Ker } df_x = \text{Ker } (2x_1, \dots, 2x_{n+1})$

$(x_1, \dots, x_{n+1}) \begin{pmatrix} \xi_1 \\ \vdots \\ \xi_{n+1} \end{pmatrix} = x_1 \xi_1 + \dots + x_{n+1} \xi_{n+1} = \langle x, \xi \rangle$

$\Rightarrow \forall x \in S^n \quad T_x S^n = x^\perp \subseteq \mathbb{R}^{n+1}$

## Applicazione

$O(n) = \{A \in M_n(\mathbb{R}) \mid AA^T = I\}$  gruppo ortogonale

$F: M_n(\mathbb{R}) \rightarrow S(n) = \{A \in M_n(\mathbb{R}) \mid A = A^T\}$

$$A \mapsto AA^T$$

$$O(n) = F^{-1}(I) \subseteq M_n(\mathbb{R}) \cong \mathbb{R}^{\frac{n(n+1)}{2}} \text{ e } S(n) \cong \mathbb{R}^{\frac{n(n+1)}{2}} \Rightarrow F \in C^\infty$$

$A \in O(n) = F^{-1}(I)$ : voglio  $dF_A: T_A M_n(\mathbb{R}) \rightarrow T_I S(n)$  surgettivo

$$T_A M_n(\mathbb{R}) = M_n(\mathbb{R})$$

$$dF_A(B) = \lim_{t \rightarrow 0} \frac{F(A+tB) - F(A)}{t} = \lim_{t \rightarrow 0} \frac{(A+tB)(A^t + tB^t) - AA^T}{t} =$$

$$= \lim_{t \rightarrow 0} \frac{1}{t} (AA^T + EA^t + \varepsilon BA^t + \varepsilon^2 BB^t - AA^T) = AB^t + BA^t \in S(n) = T_I S(n)$$

$S(n) \ni C = \frac{1}{2}C + \frac{1}{2}C^t$  Per mostrare che  $dF_A$  è surgettivo, basta trovare  $B$  t.c.  $\frac{1}{2}C = AB^t$

Possiamo prendere  $B = \frac{1}{2}CA$ :  $AB^t = A \frac{1}{2}A^t C^t = \frac{1}{2}C$

$$\Rightarrow O(n) = F^{-1}(I) \text{ è una varietà di dimensione } n^2 - \frac{n(n+1)}{2} = \frac{n(n-1)}{2} \text{ (gruppo di die)}$$

$$H^m = \{x \in \mathbb{R}^m \mid x_m > 0\} \text{ semispaçio superiore}$$

Def. Una  $m$ -varietà con bordo è un insieme  $M \subseteq \mathbb{R}^k$  t.c.

$\forall x \in M \exists U$  intorno aperto,  $x \in U \subseteq M$ , con  $U \cong$  aperto di  $H^m$

Se  $M \subseteq \mathbb{R}^k$  è una varietà con bordo,

$$\partial M = \{x \in M \mid \exists \text{ par. reg. } g: U \cap H^m \rightarrow M, \text{ con } x = g(u), u \in U \cap H^m\}$$

$M \setminus \partial M$  è una varietà

Definiamo  $T_x M$  per  $x \in \partial M$

Se  $g: U \cap H^m \rightarrow M$ , par. reg.,  $g(u) = x$ ,  $u \in U \cap H^m$

$\exists$  estensione di  $g$  a  $\tilde{g}: U' \rightarrow M$   $C^\infty$ ,  $u \in U' \subset \mathbb{R}^m$

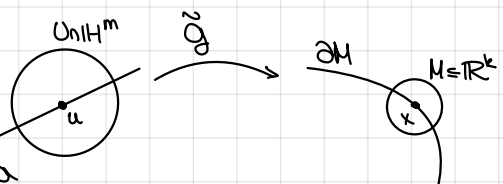
$d\tilde{g}_u$  è iniettiva.

$\exists F: g(U \cap H^m) \rightarrow U \cap H^m$   $C^\infty$  che inverte  $g$

$F: W \cong \mathbb{R}^k$ ,  $F: W \rightarrow R^m$  t.c.  $F|_{W \cap M} = g^{-1}$

$$U \cap H^m \xrightarrow{g} W \quad d\tilde{F}_x \circ d\tilde{g}_u = id_u = id_{\mathbb{R}^m} \Rightarrow d\tilde{g}_u \text{ iniettiva}$$

$$\begin{array}{ccc} i & \downarrow F & \\ & \mathbb{R}^m & \end{array}$$



Definisco  $T_x M = d\tilde{g}_u(\mathbb{R}^m)$

$$d\tilde{g}|_{U \cap H^m} = g$$

Se  $\tilde{g}$  è un'altra estensione di  $g$ :  $\tilde{g} = \tilde{g}' = g$  in  $U \cap H^m$

Prendo  $|u_i| \subseteq H^m \setminus \partial H^m$  con  $u_i \xrightarrow{i \rightarrow \infty} u$

$$\Rightarrow d\tilde{g}_{u_i} = d\tilde{g}'_{u_i} = d\tilde{g}_u$$

$$\begin{array}{c} i \rightarrow \infty \\ \downarrow \\ d\tilde{g}_{u_i} = d\tilde{g}_u \end{array}$$

**proposizione** Se  $M \subseteq \mathbb{R}^k$  è una  $m$ -varietà con bordo, allora  $\partial M$  è una varietà,  $\dim \partial M = \dim M - 1$ .

DIMOSTRAZIONE

$$g: \cup_{U \in \partial M} U \rightarrow g(\cup_{U \in \partial M} U) \subseteq \partial M$$

$g(\cup_{U \in \partial M} U) \subseteq g(\cup_{U \in \partial M} U) \cap \partial M$  se vale =, si conclude.

Possiamo assumere valga  $\nexists: \exists y \in (g(\cup_{U \in \partial M} U)) \cap \partial M \setminus g(\cup_{U \in \partial M} U)$

$$\Rightarrow y = g(u) \text{ con } u \in \cup_{U \in \partial M} U \cap \partial M$$

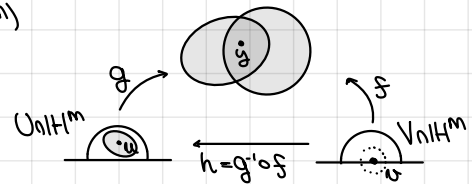
$$y = f(v) \text{ con } f: V \cap M \rightarrow M \text{ per. regolare}$$

$h = g^{-1} \circ f$  si estende a  $\tilde{h}$  su intorno di  $v$ :

$$\tilde{h} = g^{-1} \circ f$$

$d\tilde{h}_v$  è iniettiva  $\Rightarrow \tilde{h}$  difuso tra intorno di  $v$  è intorno di  $u$

$\Rightarrow$  esisterebbe  $\bar{u} \in M \setminus U$  che proviene da  $\bar{v}$  con  $\bar{v} \in U$ , ma  $f(\bar{v}) = g(\bar{u})$  e  $g(\bar{u})$  può provenire solo da  $V \cap M$ .  $\leftarrow$



□

**Lemma**  $M \subseteq \mathbb{R}^k$   $m$ -varietà,  $g: M \rightarrow \mathbb{R} C^\infty$  t.c.

$0 \in \mathbb{R}$  valore regolare per  $g$ .

Allora  $\{x \in M \mid g(x) \geq 0\} \subseteq M$  è una  $m$ -varietà con bordo  $g^{-1}(0)$

DIMOSTRAZIONE

$\{g \geq 0\} \supset \{g > 0\}$  è un aperto di  $M \Rightarrow$  è una varietà

$\{g \geq 0\} \supset \{g = 0\}$

$x \in g^{-1}(0) : dg_x: T_x M \rightarrow \mathbb{R}$  è surgettivo

$K = \text{Ker } dg_x$  ha dim  $m-1$

$L: \mathbb{R}^k \rightarrow \mathbb{R}^{m-1}$  t.c.  $L|_K: K \xrightarrow{\sim} \mathbb{R}^{m-1}$

$M \xrightarrow{G} \mathbb{R}^{m-1} \times \mathbb{R} \quad G(x) = (L(x), g(x))$

$dG_x = (L, dg_x)$

$$0 = dG_x(0) = (L(0), dg_x(0)) \Rightarrow 0 = 0$$

$$G|_U: U \xrightarrow{\sim} G(U) \subseteq \mathbb{R}^{m-1} \times \mathbb{R}$$

$$U \cap \{g > 0\} \longleftrightarrow G(U) \cap M$$

$$U \cap \{g = 0\} \longleftrightarrow G(U) \cap \{g = 0\}$$

$\Rightarrow \exists$  carta locale intorno a  $x \in \{g = 0\} \subseteq \{g \geq 0\}$

$\Rightarrow \{g \geq 0\}$  varietà con bordo

□

Esempio  $D^1 = \{g \geq 0\}$  per  $g: \mathbb{R}^n \rightarrow \mathbb{R}$ ,  $g(x_1, \dots, x_n) = 1 - \sum_{i=1}^n x_i^2$   
 $\nabla g_x = 2(x_1, \dots, x_n) \neq 0 \iff x \neq 0$   
e  $0$  è regolare  $\Rightarrow D^1$  è una  $n$ -varietà con bordo  $\{g=0\} = S^{n-1}$

**Lemma**  $M$  varietà con bordo,  $N$  varietà,  $m = \dim M > n = \dim N$ .

$f: M \rightarrow N$   $C^\infty$ ,  $y \in N$  valore regolare per  $f$  e  $f|_{\partial M}$ .

Allora  $f^{-1}(y)$  è una varietà con bordo di dimensione  $m-n$   
e  $\partial f^{-1}(y) = f^{-1}(y) \cap \partial M$ .

#### DIMOSTRAZIONE

E' sufficiente il caso  $M = \mathbb{H}^m$ ,  $N = \mathbb{R}^n$

(per il caso generale:  $f^{-1}(y)$  è varietà con bordo perché  
se  $x \in f^{-1}(y) \setminus \partial M$ , attorno a  $x$  esiste una carta locale  
se  $x \in f^{-1}(y) \cap \partial M$ , ha un intorno diffuso a  $U \cap \mathbb{H}^m$

$$N \cong g(U \cap \mathbb{H}^m) \xrightarrow{f} N$$

$$\begin{array}{ccc} \uparrow g & & \uparrow g \\ U \cap \mathbb{H}^m & \xrightarrow{(g^{-1})^* \circ f \circ g} & V \cong \mathbb{R}^n \end{array}$$

Sia  $f: \mathbb{H}^m \rightarrow \mathbb{R}^n$ ,  $f^{-1}(y) \cong \mathbb{H}^m$

$$\begin{matrix} \uparrow g \\ x \in \partial \mathbb{H}^m \end{matrix}$$

$$\begin{array}{ccc} \mathbb{H}^m & \longrightarrow & \mathbb{R}^n \\ \uparrow & & \nearrow \begin{matrix} m-n > 0 \end{matrix} \end{array}$$

allora  $\exists$  carta locale intorno a  $x$  in  $f^{-1}(y)$ ,

perché  $f^{-1}(y) \cap (\mathbb{H}^m \setminus \partial \mathbb{H}^m) = f^{-1}|_{(\mathbb{H}^m \setminus \partial \mathbb{H}^m)}(y)$

Se  $x \in f^{-1}(y) \cap \partial \mathbb{H}^m$ ,  $\exists$  estensione  $\tilde{f}$  di  $f$  su intorno di  $x$ .  $\tilde{f}|_{\text{int } \mathbb{H}^m} = f|_{\text{int } \mathbb{H}^m}$

Perché  $y$  è regolare per  $f|_{\partial \mathbb{H}^m}$ ,  $df_x|_{T_x \partial \mathbb{H}^m} = d\tilde{f}_x|_{T_x \partial \mathbb{H}^m}$  è surgettiva, quindi  
a meno di restringere  $U$  possiamo supporre  $\tilde{f}$  non abbia punti critici in  $U$ .

Allora  $\tilde{f}^{-1}(y) \cap U$  è una varietà di dimensione  $m-n$  per quanto già visto.

Sia  $\pi: \tilde{f}^{-1}(y) \rightarrow \mathbb{R}$  la restrizione di  $\pi: \mathbb{H}^m \rightarrow \mathbb{R}$ ,  $\pi(x) = x_m$ .

Allora  $\tilde{f}^{-1}(y) \cap U = \{x \in \tilde{f}^{-1}(y) | \pi(x) \geq 0\}$

Per concludere basta verificare che  $0 \in \mathbb{R}$  è

valore regolare per  $\pi|_{\tilde{f}^{-1}(y)}$ . Abbiamo

$$(\pi|_{\tilde{f}^{-1}(y)})^{-1}(0) = \tilde{f}^{-1}(y) \cap \partial \mathbb{H}^m \quad \text{Se } x \in \tilde{f}^{-1}(y) \cap \partial \mathbb{H}^m,$$

$$T_x \tilde{f}^{-1}(y) = \text{Ker } d\tilde{f}_x = \text{Ker } df_x \text{ ha dimensione } m-n,$$

$$\text{perché } \dim \tilde{f}^{-1}(y) = m-n$$

$$\begin{array}{ccc} \mathbb{H}^m & \xrightarrow{f} & \mathbb{R}^n \\ \uparrow & \nearrow f|_{\partial \mathbb{H}^m} & \end{array} \quad \begin{array}{c} \Rightarrow K := \text{Ker } (d(f|_{\partial \mathbb{H}^m}))_x = \text{Ker } (df_x|_{T_x \partial \mathbb{H}^m}) \\ \text{e valore regolare per } f|_{\partial \mathbb{H}^m} \\ \Rightarrow \dim K = m-n-1 \end{array}$$

$$\text{Ma } T_x \partial \mathbb{H}^m = \text{Ker } d\pi_x \Rightarrow K = \text{Ker } df_x \cap \text{Ker } d\pi_x$$

$$\text{Quindi } m-n-1 = \dim K < \dim \text{Ker } df_x = m-n$$

$$\Rightarrow \text{Ker } df_x = \text{Ker } d\tilde{f}_x \neq \text{Ker } d\pi_x \Leftrightarrow d\pi_x|_{T_x \tilde{f}^{-1}(y)} \neq 0$$

$$\Rightarrow 0 \text{ valore regolare per } \pi$$

□

FATTO Ogni varietà compatta di dim 1 è diffeomorfa ad un'unione finita di copie di  $S^1$  e di intervalli chiusi di  $\mathbb{R}$

**Lemma** M varietà compatta con bordo,  $\dim M > 1$ . Allora non esiste  $f: M \rightarrow \partial M$   $C^\infty$  t.c.  $f|_{\partial M} = \text{id}_{\partial M}$ .

DIMOSTRAZIONE

Se  $y \in \partial M$  valore regolare per  $f$ :  $f^{-1}(y) \subseteq M$  è una 1-varietà

$f^{-1}(y)$  compatta  $\Rightarrow f^{-1}(y) \cong$  finiti  $S^1$  e intervalli

$$\partial f^{-1}(y) = f^{-1}(y) \cap \partial M$$

$$|\partial f^{-1}(y)| \equiv 0 \pmod{2} \quad \& \quad f^{-1}(y) \cap \partial M = \{x \in \partial M \mid f(x) = y\} = \{y\} \quad \square$$

**Teorema di Brouwer  $C^\infty$**  Una mappa  $f: D^n \rightarrow D^n C^\infty$  ha un punto fisso.

DIMOSTRAZIONE

Se così non fosse,  $\frac{x - f(x)}{\|x - f(x)\|} = u \in \partial D^n = S^{n-1}$

Vogliamo costruire  $g: D^n \rightarrow S^{n-1}$  della forma  $g(x) = x + tu$

$$\text{quindi } (x+tu) \cdot (x+tu) = 1 \iff x \cdot x + 2t x \cdot u + t^2 = 1$$

$$\iff t = -x \cdot u \pm \sqrt{(x \cdot u)^2 - x \cdot x + 1} \quad \text{scegliiamo} \quad t =$$

$g$  è di classe  $C^\infty \iff t$  lo è

$$\text{vogliamo } \frac{(x \cdot u)^2 - 1 + x \cdot x}{2} > 0 \quad \forall x$$

$$= 0 \iff x \cdot x = 1, \quad x \cdot u = 0$$

$$x \in \partial D^n \quad \downarrow \quad 1 = x \cdot x = x \cdot f(x)$$

$$\rightarrow f(x) = x \text{ contro l'ipotesi}$$

$$\Rightarrow g \in C^\infty \text{ e fissa } \partial D^n \quad \square$$

**Teorema di Brouwer** Una mappa  $f: D^n \rightarrow D^n C^\infty$  ha un punto fisso.

DIMOSTRAZIONE

Poé Stone-Weierstraß,  $\exists P_i: D^n \rightarrow \mathbb{R}$  funz. polinomiale

$$\text{t.c. } \|P_i(x) - f(x)\| < \varepsilon \quad \forall x \in D^n$$

Vorrei applicare Brouwer  $C^\infty$ , ma non so se manda il disco in sé.

$$\|P_i(x)\| < \|P_i(x) - f(x)\| + \|f(x)\| < 1 + \varepsilon$$

$$P(x) = \frac{1}{1+\varepsilon} P_i(x), \quad P: D^n \rightarrow D^n C^\infty \text{ e manda il disco in sé.}$$

Sicuramente  $P$  ha un punto fisso.

Se  $f$  non avesse punti fissi,  $\|f(x) - x\| \geq \mu > 0$ , dove  $\mu$  è il minimo di  $\|f(x) - x\|$

$$\forall x \quad \|P(x) - f(x)\| = \left\| \frac{1}{1+\varepsilon} P_i(x) - f(x) \right\| = \frac{1}{1+\varepsilon} \|P_i(x) - (1+\varepsilon)f(x)\| \leq \frac{1}{1+\varepsilon} \|P_i(x) - f(x)\| + \frac{\varepsilon}{1+\varepsilon} \|f(x)\| \\ < \frac{2\varepsilon}{1+\varepsilon} < \mu$$

Se  $x$  è punto fisso per  $P$ ,  $\|f(x) - x\| < \mu \quad \square$

## Teoria del grado mod 2

Sia  $f: M \rightarrow N$   $C^\infty$  tra varietà della stessa dimensione,  $M$  compatta.

$y \in N$  valore regolare, allora  $|f^{-1}(y)| < +\infty$ .

Scopo:  $y$  regolare  $\Rightarrow |f^{-1}(y)| \equiv |f^{-1}(y)| \pmod{2}$

**esercizio**  $M$  varietà, allora  $M \times [0,1]$  è varietà con bordo  $M \times \{0\} \cup M \times \{1\}$

soluzione Considero  $\varphi: M \times \mathbb{R} \rightarrow \mathbb{R}$ ,  $\varphi(x,t) = t - t^2$

$\varphi \in C^\infty$  e 0 è un valore regolare per  $\varphi$  ( $d\varphi_{(x,0)} = 1 \quad \forall x \in M$ )

$\Rightarrow M \times \mathbb{R} \setminus \{(x,t) | \varphi(x,t) \geq 0\} = M \times [0,1]$  è una varietà con bordo

$M \times \mathbb{R} \setminus \{(x,t) | \varphi(x,t) = 0\} = M \times \{0\} \cup M \times \{1\}$

**Def.**  $f, g: M \rightarrow N$  sono  $C^\infty$ -omotope se

$\exists H: M \times [0,1] \rightarrow N$   $C^\infty$  t.c.

$H(x,0) = f(x)$ ,  $H(x,1) = g(x)$

**Lemma**  $M, N$  varietà,  $\dim M = \dim N$ ,  $M$  compatta.

$f, g: M \rightarrow N$   $C^\infty$ ,  $y \in N$  valore regolare per  $f$  e  $g$ ,

$f$  e  $g$   $C^\infty$ -omotope.

Allora  $|f^{-1}(y)| \equiv |g^{-1}(y)| \pmod{2}$

### DIMOSTRAZIONE

$$H: M \times [0,1] \rightarrow N, H|_{M \times \{0\}} = f, H|_{M \times \{1\}} = g$$

Per il lemma della pila dei dischi,  $\exists V_1 \subseteq N$  intorno di  $y$ ,

$$\exists V_2 \subseteq N$$
 intorno di  $y$  t.c.  $\forall y' \in V_1 \quad |f'(y')| = |f^{-1}(y')|, \quad \forall y'' \in V_2 \quad |g'(y'')| = |g^{-1}(y'')|$

$$\Rightarrow V_1 \cap V_2 \text{ è intorno di } y \text{ e } \forall y' \in V_1 \cap V_2 \quad |f'(y')| = |f^{-1}(y')|, |g'(y')| = |g^{-1}(y')|$$

Sei  $\tilde{y} \in V_1 \cap V_2$  valore regolare per  $H$

$H^{-1}(\tilde{y})$  è una 1-varietà compatta con  $\partial H^{-1}(\tilde{y}) = H^{-1}(\tilde{y}) \cap (M \times \{0\} \cup M \times \{1\}) =$

$$= f^{-1}(\tilde{y}) \times \{0\} \cup g^{-1}(\tilde{y}) \times \{1\}$$

$$0 \equiv |\partial H^{-1}(\tilde{y})| = |f^{-1}(\tilde{y})| + |g^{-1}(\tilde{y})| = |f^{-1}(y)| + |g^{-1}(y)|$$

□

**Def.** Un'omotopia  $C^\infty$   $H: M \times [0,1] \rightarrow N$  si dice isotopia se

$\forall t \in [0,1] \quad H_t: M \rightarrow N, H_t(x) = H(x,t)$  è un diffeomorfismo.

**Lemma di omogeneità**

$N$  varietà connessa,  $y, z \in N$ .

Allora esiste un'isotopia  $H: N \times [0,1] \rightarrow N$

t.c.  $h: N \rightarrow N, h(x) = H(x,0), h(y) = z, H(x,1) = x \quad \forall x$ .

Inoltre  $\exists K \subset N$  compatto t.c.  $\forall x \in N \setminus K, H(x,t) = x \quad \forall t \in [0,1]$ .

### DIMOSTRAZIONE

Mostriamo che, fissato  $y$ , è sufficiente dimostrare la tesi  
per i punti  $z$  in un intorno di  $y$ .

Definiamo la relazione di equivalenza su  $N$ :

$y \sim z \iff \exists h : N \xrightarrow{\cong} N$  isotopico a  $\text{id}_N$  con  $H = \text{id}$  fuori da un compatto,

- $y \sim y$ : basta  $h = \text{id}_N$

- $y \sim z \Rightarrow z \sim y$ :  $H : N \times [0,1] \rightarrow N$  isotopia da  $h$  a  $\text{id}_N$

$$N \times [0,1] \longrightarrow N \times [0,1] \xrightarrow{H} N \text{ isotopia da } h^{-1} \text{ a } \text{id}_N$$

$$(x,t) \longmapsto (h^{-1}(x), 1-t)$$

- $y \sim z, z \sim w \Rightarrow y \sim w$ :  $N \times [0,1] \xrightarrow{H} N$  isotopia da  $h$  a  $\text{id}_N$ ,  $h(y) = z$

$$N \times [0,1] \xrightarrow{G} N \text{ isotopia da } g \text{ a } \text{id}_N, g(z) = w$$

$$N \times [0,1] \xrightarrow{H \times \text{id}} N \times [0,1] \xrightarrow{G} N \text{ isotopia da } goh \text{ a } \text{id}_N$$

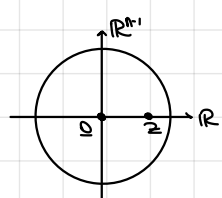
Per concludere, basta far vedere che ogni classe  
di equivalenza è un aperto di  $N$  ( $\dim N = n$ )

E' sufficiente: dato  $r > 0 \exists 0 < r < r$  t.c. se  $z \in B_r(0) \subseteq \mathbb{R}^n$

$\exists$  isotopia  $H : \mathbb{R}^n \times [0,1] \rightarrow \mathbb{R}^n$  con  $\text{supp } H \subseteq B_r(0)$

Inoltre, possiamo supporre  $z = (a, 0, -d, 0) > 0$ ,

poiché



se  $z \in B_r(0) \setminus \{0\}$ , pongo  $a = ||z|| > 0$ ,

$\exists A \in O(n)$  t.c.  $A(a, 0, -d, 0) = z$

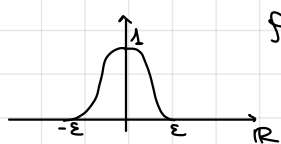
Se  $h(0) = (a, 0, -d, 0)$  ed è isotopica a  $\text{id}$   
con un'isotopia a supp compatto.

$$AhA^{-1}(0) = Ah(0) = A(a, 0, -d, 0) = z$$

$AhA^{-1}$  è l'isotopia

Prendiamo per buona l'esistenza di:

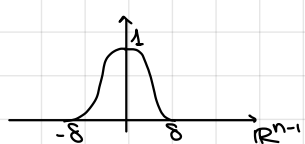
$$\forall \varepsilon > 0$$



$$p : \mathbb{R} \rightarrow \mathbb{R} \text{ C}^\infty$$

$$0 \leq p(x) \leq 1, p(0) = 1, p(x) = 0 \quad \forall x \notin (-\varepsilon, \varepsilon)$$

$$\forall \delta > 0$$



$$\sigma : \mathbb{R}^{n-1} \rightarrow \mathbb{R} \text{ C}^\infty$$

$$0 \leq \sigma(x) \leq 1, \sigma(0) = 1, \sigma(x) = 0 \quad \forall \|x\| \in (-\delta, \delta)$$

$$\mathbb{R}^n = \mathbb{R} \times \mathbb{R}^{n-1} \quad h_t(x, y) = (x + t p(x) \sigma(y) a, y) \text{ isotopia da } \text{id}_{\mathbb{R}^n} \text{ a } h_t$$

$$\text{t.c. } h_t(0) = (a, 0, -d, 0)$$

$$h_t : \mathbb{R}^n \rightarrow \mathbb{R}^n$$

$$h_t(\mathbb{R} \times \{y\}) \cong \mathbb{R} \times \{y\}$$

$$\mathbb{R}^n = \bigcup_{\substack{s \in \mathbb{R}^n \\ s \neq 0}} \mathbb{R} \times \{s\}$$

$$Q(x) = x + t p(x) \sigma(s) a \quad Q'(x) = 1 + t p'(x) \sigma(s) a$$

Se  $a$  è suff. piccolo,  $|tp'(x) \sigma(s) a| \leq |p'(x)| a < 1 \quad \forall x \in [-\varepsilon, \varepsilon]$

$\Rightarrow Q'(x) > 0 \Rightarrow h_t$  è una biiezione  $\forall s$

$h_t : \mathbb{R}^n \rightarrow \mathbb{R}^n$  diffeo locale

$$Jh_t(x, y) = \begin{pmatrix} 1 + t p'(x) a & * \\ 0 & I \\ 0 & 0 \end{pmatrix} \quad \det Jh_t(x, y) = 1 + t p'(x) a > 0$$

$\Rightarrow h_t$  diffeo  $\forall t$  e ha le proprietà volute

□

**Teorema**

$M$  varietà compatta,  $N$  connessa,  $\dim M = \dim N$ .

$f: M \rightarrow N$   $C^\infty$ ,  $y, z \in N$  valori regolari per  $f$ . Allora

$$(1) \quad |f^{-1}(y)| \equiv |f^{-1}(z)| \pmod{2}$$

il numero  $|f^{-1}(y)| \pmod{2}$  è il grado mod 2 di  $f$ ,  $\deg_2(f)$

(2) se  $f, g: M \rightarrow N$   $C^\infty$  sono omotope, allora

$$\deg_2(f) = \deg_2(g).$$

**DIMOSTRAZIONE**

(1) Sia  $h: N \rightarrow N$  mappa  $C^\infty$  isotropa a  $\text{id}_N$ ,  $h(y) = z$ .

Considero  $z \in N$ : è valore regolare per  $f$  per ipotesi,

e per  $h \circ f$  poiché  $dhy: T_y N \xrightarrow{\cong} T_z N$  iso.

$$(h \circ f)^{-1}(z) = f^{-1}(y) \ni x \xrightarrow{\text{df}_x} T_x M \xrightarrow{d(h \circ f)_x} \text{e surg}$$

$$M \xrightarrow[f]{h \circ f} N \quad M \times [0,1] \xrightarrow{f \times \text{id}} M \times [0,1] \xrightarrow{H} N \text{ omotopia } C^\infty$$

$$\text{con } H_1 = h \circ f, H_0 = \text{id}_N \circ f = f$$

$$|f^{-1}(z)| \stackrel{\text{mod 2}}{\equiv} |(h \circ f)^{-1}(z)| = |f^{-1}(y)|$$

(2)  $C \subset M$  punti critici di  $f$ :  $C$  chiuso, quindi compatto

$\Rightarrow f(C)$  compatto quindi chiuso  $\Rightarrow N \setminus f(C)$  aperto

$\Rightarrow \exists y \in N \setminus f(C)$  valore regolare per  $g$

$$\deg_2(f) = |f^{-1}(y)| \pmod{2} = |g^{-1}(y)| \pmod{2} = \deg_2(g). \quad \square$$

**ESEMPIO**

$$f: S^1 \xrightarrow{\cong} S^1 \text{ diffuso, } \deg_2(f) = |f^{-1}(y)| \pmod{2} = 1 \pmod{2}$$

$\Rightarrow f$  non è  $C^\infty$  omotopa a  $C_{x_0}: S^1 \rightarrow S^1$ ,  $C_{x_0}(x) = x_0$

$$\deg_2(C_{x_0}) = |C_{x_0}^{-1}(y)| \pmod{2} = 0 \pmod{2}$$

$y \in S^1, f(x_0)$  è regolare

### Teoria del grado (su $\mathbb{Z}$ )

Il grado mod 2 ci permette di dimostrare che un diffeomorfismo non è omotopo a una mappa costante.

d'intuizione suggerisce: se  $\exists$  campo vettoriale tangente a  $S^2$   
 $\Rightarrow \text{id}: S^2 \xrightarrow{\cong} S^2$  è  $C^\infty$ -omotopo a  $A: S^2 \xrightarrow{\cong} S^2$   
 $\deg_2(\text{id}) = \deg_2(A)$

$\deg_2$  non è sufficiente a escludere l'esistenza di  
omotopie  $C^\infty$  da  $\text{id}_{S^2}$  a  $A$ .

Vedremo che ne esiste un raffinamento  $\deg$  a valori in  $\mathbb{Z}$   
t.c.  $\deg(\text{id}_{S^2}) \neq \deg(A)$

Sia  $V$   $\mathbb{R}$ -spazio vettoriale,  $\dim V = n$

$b = (b_1, \dots, b_n)$ ,  $b' = (b'_1, \dots, b'_n)$  basi di  $V$  sono equivalenti  
se  $b'_j = \sum_{i=1}^n a_{ij} b_i$ , vale  $\det(a_{ij}) > 0$

Un'orientazione su  $V$  è una classe di equivalenza  $[b]$ .

L'insieme delle orientazioni su  $V$  ha due elementi

$\mathbb{R}^n$  ha un'orientazione canonica associata alla base canonica.  
la indicheremo con  $\mathcal{O}_0$

Oss Se  $L: V \xrightarrow{\cong} W$  è iso di  $\mathbb{R}$ -spazi vettoriali,  
allora  $L$  induce una mappa

$$\mathcal{O}_V \longrightarrow \mathcal{O}_W$$

$$[b] \longmapsto [Lb]$$

è ben definita: se  $[b'] = [b]$ ,  $b'_j = \sum_{i=1}^n a_{ij} b_i$ ,  $\det(a_{ij}) > 0$   
 $\Rightarrow [Lb'_j] = \sum_{i=1}^n a_{ij} Lb_i \Rightarrow [Lb'] = [Lb]$

Def. Sia  $M$  m-varietà (anche con  $\partial M \neq \emptyset$ ),  $\dim M > 1$ .

Un'orientazione su  $M$  è  $\mathcal{O} = \{\mathcal{O}_x\}_{x \in M}$ , dove  $\mathcal{O}_x$  orientazione di  $T_x M$

t.c.  $\forall x_0 \in M$  è par. locale  $g: U \xrightarrow{\cong} g(U) \subset M$  intorno a  $x_0 = g(x_0)$

$$dg_{x_0}(\mathcal{O}_0) = \mathcal{O}_{g(x_0)} \quad \forall U \in \mathcal{U}$$

La coppia  $(M, \mathcal{O})$  si dice varietà orientata.

Una par. locale  $g$  che soddisfa la condizione, si dice compatibile con  $\mathcal{O}$ .

Se  $\dim M = 1$ ,  $M$  compatta e connessa con  $\partial M \neq \emptyset$

$$g: [0, 1] \xrightarrow{\cong} M \quad [dg_{x_0}(1)] = \mathcal{O}_{g(x_0)} \text{ orientazione su } T_{g(x_0)} M$$

$\mathcal{O} = \{\mathcal{O}_{g(x_0)}\}$  è un'orientazione su  $M$ .

Oss Se  $\mathcal{O} = \{\mathcal{O}_x\}_{x \in M}$  è un'orientazione su  $M$  m-varietà,  
allora  $-\mathcal{O} = \{-\mathcal{O}_x\}_{x \in M}$  è un'orientazione su  $M$   
Data una par. locale  $g: U \rightarrow g(U) \subset M$  compatibile con  $\mathcal{O}$ ,  
dato  $x \in g(U)$ ,  $\exists$  par. locale  $\mathcal{O}$ -compatibile  
intorno a  $x$  con dominio  $B_\varepsilon(x)$ ,  $\varepsilon > 0$   
 $\Rightarrow \exists$  ricoprimento di carte locali di  $M$   
 $\mathcal{O}$ -compatibili ciascuna della forma  $g(B(\Omega))$

$B(\Omega) \xrightarrow{\varphi_m} B(\Omega) \xrightarrow{g} M$   
 $(x_1, \dots, x_m) \mapsto (\varphi_m(x_1), \dots, \varphi_m(x_m))$   
 $Dg(\mathcal{O}_0) = \mathcal{O}_{g(x)}$   
 $J\varphi_m = \begin{pmatrix} 1 & & \\ & \ddots & \\ & & 1 \end{pmatrix}$   
 $\Rightarrow d(g \circ \varphi_m)_u(\mathcal{O}_0) = dg_{\varphi_m(u)} \circ d\varphi_m|_u(\mathcal{O}_0) = dg_{\varphi_m(u)}(-\mathcal{O}_0) = -Dg_{\varphi_m(u)}(\mathcal{O}_0)$   
 $\Rightarrow g \circ \varphi_m$  è una carta locale  $-\mathcal{O}_0$ -compatibile

**proposizione**  $M$  m-varietà (anche con  $\partial M \neq \emptyset$ ) connessa e orientabile.  
Allora ammette al più due orientazioni.

#### DIMOSTRAZIONE

Sia  $\mathcal{O} = \{\mathcal{O}_x\}_{x \in M}$  un'orientazione su  $M$ .  
È sufficiente mostrare che, se  $\mathcal{O}' = \{\mathcal{O}'_x\}_{x \in M}$  è un'altra  
orientazione su  $M$ ,  $\mathcal{O}' = \mathcal{O}$  oppure  $\mathcal{O}' = -\mathcal{O}$

$$A = \{x \in M \mid \mathcal{O}_x = \mathcal{O}'_x\}, B = \{x \in M \mid \mathcal{O}_x = -\mathcal{O}'_x\}, A \cup B = M$$

Vogliamo  $A = \emptyset$  oppure  $B = \emptyset$ . Siccome  $M$  è connessa,  
è sufficiente mostrare  $A$  e  $B$  aperti.

Dimostriamo che  $A$  è aperto (per  $B$  è analogo)

$$x \in A, \mathcal{O}_x = \mathcal{O}'_x$$

$g: U \rightarrow M$  par. locale  $\mathcal{O}$ -compatibile

$h: V \rightarrow M$  par. locale  $\mathcal{O}'$ -compatibile

$$d(g' \circ h)_v(\mathcal{O}_0) = dg'_x^{-1} \circ dh_v(\mathcal{O}_0) =$$

$$= (dg)'_x(\mathcal{O}'_x) = (dg)'_x(\mathcal{O}_x) = \mathcal{O}_0$$

$$\Leftrightarrow \det J(g' \circ h)_v > 0$$

$$\Leftrightarrow \det J(g' \circ h) > 0 \text{ su un intorno di } v$$

$$\Rightarrow \mathcal{O}' = \mathcal{O} \text{ su un intorno di } x$$

Caso  $\dim M = 1$ ,  $M$  compatto,  $\partial M \neq \emptyset$ , connessa

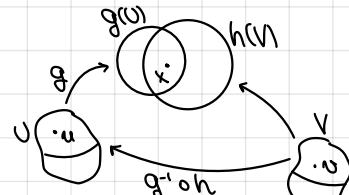
Sia  $\{[d\varphi_t(1)]\}_{t \in [0,1]}$ ,  $\varphi: [0,1] \xrightarrow{\cong} M$  diffeo, un'orientazione.

Sia  $\{[d\psi_t(1)]\}_{t \in [0,1]}$ ,  $\psi: [0,1] \xrightarrow{\cong} M$  diffeo

Poiché  $\psi' \circ \varphi$  ha derivata positiva o negativa (in ogni punto),

$$\text{sia } \varepsilon = \operatorname{sgn}((\psi' \circ \varphi)'(t)) \in \{\pm 1\}$$

$$\text{Allora } d(\psi' \circ \varphi)_t(1) = \varepsilon \Rightarrow [d\psi_t(1)] = \varepsilon [d\varphi_t(1)] \quad \forall t$$



□

**Def.**  $M$  compatta,  $N$  varietà connessa con  $\dim M = \dim N$   
 $(M, \partial M), (N, \partial N)$  orientate

$f: M \rightarrow N$   $C^\infty$  con  $y \in N$  valore regolare  
 $x \in f^{-1}(y)$ ,  $df_x: T_x M \xrightarrow{\cong} T_y N$

$$\operatorname{sgn}(df_x) = \begin{cases} +1 & \text{se } df_x(\partial_x^M) = \partial_y^N \\ -1 & \text{se } df_x(\partial_x^M) = -\partial_y^N \end{cases}$$

Definiamo il grado di  $f$  in  $y$

$$\deg(f, y) := \sum_{x \in f^{-1}(y)} \operatorname{sgn}(df_x) \in \mathbb{Z}$$

**Def.**  $M$  m-varietà con bordo,  $x \in \partial M$ ,  $g: U \cap H^m \rightarrow M$  par. locale intorno a  $x = g(u)$ ,  $u \in \partial H^m$   
 $H^m \setminus \partial H^m = \{(x_1, \dots, x_m) | x_m > 0\}$   
 $dg_u(H^m \setminus \partial H^m) \subset dg_u(\mathbb{R}^m) = T_x M$   
 vettori tangenti interni di  $M$  in  $x$

Verifichiamo che se  $h: V \cap H^m \rightarrow M$  è un'altra par. locale intorno a  $x = h(v)$ ,  $v \in \partial H^m$ ,

$$\text{allora } dh_v(H^m \setminus \partial H^m) = dg_u(H^m \setminus \partial H^m)$$

$$\iff d(g^{-1} \circ h)_v(H^m \setminus \partial H^m) = H^m \setminus \partial H^m$$

$$\mathbb{R}^m = \mathbb{R}^{m-1} \times \mathbb{R} \quad g^{-1} \circ h: h^{-1}(g(V \cap H^m)) \rightarrow g^{-1}(h(V \cap H^m))$$

$$g^{-1} \circ h(x, y) = (\phi_1(x, y), \phi_2(x, y))$$

$$\phi_2(x, 0) \equiv 0$$

$$y > 0 \Rightarrow \phi_2(x, y) > 0$$

$$J(g^{-1} \circ h)_v = \left( \begin{array}{c|c} * & * \\ \hline 0 & \dots & 0 \end{array} \right) \quad \text{con } \lambda = \frac{\partial \phi_2}{\partial y} \Big|_v = \lim_{\varepsilon \rightarrow 0} \frac{\phi_2(x, \varepsilon) - \phi_2(x, 0)}{\varepsilon} > 0$$



$M$  varietà orientata con bordo,  $x \in M$ .

Sia  $(v_1, \dots, v_m)$ ,  $m = \dim M$ , una base positiva di  $T_x M$  con  $v_1$  esterno e  $(v_2, \dots, v_m)$  base di  $T_x \partial M$

**Lemma** L'orientazione  $[v_2, \dots, v_m]$  di  $T_x \partial M$  non dipende dalla scelta di  $(v_1, v_2, \dots, v_m)$  né da quella di  $v_1$ .

#### DIMOSTRAZIONE

Fissiamo par. locale  $g: U \cap H^m \rightarrow g(U \cap H^m) \ni x$  compatibile con l'orientazione.

Allora, se  $x = g(v_i)$ ,  $v_i \in U \cap \partial M$ ,  $dg_{v_i}(v_i) \in \mathbb{R}^{m-1} \times \mathbb{R}$  ha ultima coordinata  $< 0$  e  $dg_{v_i}(v_i)$  ce l'ha nella pos.  $i=2, \dots, m$ .

Se  $(v'_1, \dots, v'_m)$  è un'altra base con le stesse proprietà, la matrice di cambiamento di base è:

$$\begin{matrix} dg_{v_i}(v_1) & dg_{v_i}(v_2) & \dots & dg_{v_i}(v_m) \\ dg_{v'_i}(v'_1) & 1 & 0 & \dots \\ dg_{v'_i}(v'_2) & * & & \\ \vdots & & & A \\ dg_{v'_i}(v'_m) & * & & \end{matrix} = M$$

$\lambda > 0$  perché le ultime coordinate di  $dg_{v_i}(v_1)$  e  $dg_{v'_i}(v'_1)$  hanno lo stesso segno. Inoltre,  $\det M > 0$  perché  $(v_1, \dots, v_m)$  e  $(v'_1, \dots, v'_m)$  sono entrambe positive e  $M$  coincide con la matrice del cambio di base  $(v_1, \dots, v_m) \rightarrow (v'_1, \dots, v'_m)$ . Quindi  $\det A > 0$ .

Poiché  $A$  è la matrice del cambio di base

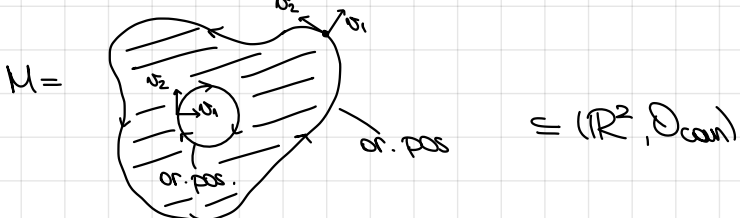
$(v'_1, \dots, v'_m) \rightarrow (v_2, \dots, v_m)$ , si conclude. □

**Def.** Data una varietà orientata con bordo  $M$ , la famiglia  $\{\mathcal{O}_x^M\}_{x \in M}$  di orientazioni di  $T_x \partial M$  indotte dall'orientazione di  $M$  è un'orientazione su  $\partial M$  detta orientazione indotta sul bordo o **orientazione di bordo**.

$\dim M = 1$ ,  $M$  compatta,  $\partial M \neq \emptyset$



#### ESEMPIO



Esempio  $S^n = \partial D^{n+1}$ ,  $D^{n+1} \subseteq \mathbb{R}^{n+1}$

Ogni spazio tangente di  $D^{n+1}$  è identificato con  $\mathbb{R}^{n+1}$

$\implies D^{n+1}$  eredita un'orientazione da  $\mathbb{R}^{n+1}$

$\implies D^{n+1}$  orientata con bordo  $\implies S^n$  orientata come bordo

$$f: M \longrightarrow N$$

vareietà chiusa  
(compatto  $\partial M = \emptyset$ )  
orientata

$$\dim M = \dim N$$

vareietà connessa,  
 $\Omega^k, \Omega^N$  orientazioni su  $M, N$

$x \in M$  punto regolare per  $f$

$\implies df_x: T_x M \xrightarrow{\sim} T_{f(x)} N$  isomorfismo

$$\operatorname{sgn}(df_x) = \begin{cases} +1 & \text{se } df_x(\Omega_x^k) = \Omega_{f(x)}^N \\ -1 & \text{se } df_x(\Omega_x^k) = -\Omega_{f(x)}^N \end{cases}$$

$y \in N$  valore regolare per  $f$

$$\implies \deg(f; y) := \sum_{x \in f^{-1}(y)} \operatorname{sgn}(df_x) \in \mathbb{Z}$$

Claim  $\deg(f; y)$  è costante in un intorno di  $y$ .

$$M \supset g(U) \xrightarrow{f} h(V) \subset N \quad g, h \text{ par. reg. compatibili con } \Omega^k, \Omega^N$$

$\begin{array}{ccc} g_x & & h_y \\ \downarrow & & \downarrow \\ U & \xrightarrow{k} & V \\ h^{-1} \circ g & & \end{array}$

$$\operatorname{sgn}(df_x) > 0 \iff \det(J(h^{-1} \circ g)_x) > 0$$

Questo ragionamento si applica  $\forall x \in f^{-1}(y)$

$\implies$  per il TDD della pila dei dischi,

$$\deg(f; y') = \deg(f; y) \quad \forall y' \text{ e intorno di } y$$

□

**Lemma 1**  $X$  vareietà compatta con bordo,  $N$  vareietà connessa orientata

con  $\dim N = \dim X - 1$ .  $F: X \rightarrow N \in C^\infty$

Se  $f = F|_{\partial X}$  e  $y \in N$  valore regolare per  $f$ ,

$$\text{allora } \deg(f; y) = 0.$$

#### DIMOSTRAZIONE

Poiché la densità dei valori regolari di  $F$  e il fatto che un intorno di  $y$  è fatto di valori regolari di  $f$ , possiamo supporre  $y$  valore regolare per  $F$ .

Quindi  $F^{-1}(y)$  è una vareietà di dim-1 con bordo  $F^{-1}(y) \cap \partial X = f^{-1}(y)$

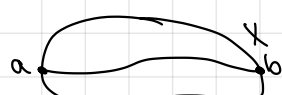
$F^{-1}(y)$  è unione finita di cerchi e archi.

Sia  $A \subset F^{-1}(y)$  uno degli archi:  $\partial A = \{a\} \cup \{b\}$

Claim  $\operatorname{sgn}(dfa) + \operatorname{sgn}(df_b) = 0$

Fissiamo un diffuso  $\varphi: [0, 1] \xrightarrow{\sim} A$  e poniamo  $\vartheta_t(t) := d\varphi_t(t) \in T_{\varphi(t)} A$

$$\forall t \in [0, 1], \text{ dove } \vartheta_t \in T_t A, [\vartheta_0] = \vartheta_a$$



$\text{Ker}(dF_{\varphi(t)})$

Abbiamo  $T_{\varphi(t)}X = T_{\varphi(t)}A \oplus (T_{\varphi(t)}A)^\perp$ ,  $dF_{\varphi(t)}|_{(T_{\varphi(t)}A)^\perp} : (T_{\varphi(t)}A)^\perp \xrightarrow{\sim} T_y N$  isom.

Fissiamo base positiva  $(v_2, \dots, v_m)$  di  $T_y N$  e

poniamo  $v_i(t) = dF_{\varphi(t)}(v_i)$ ,  $i=2, \dots, m$ ,  $\forall t \in [0,1]$

Claim  $(v_1(t), \dots, v_m(t))$  è una base di  $T_{\varphi(t)}X$  che è positiva  $\forall t \in [0,1]$  o negativa  $\forall t \in [0,1]$ .

Infatti, se  $g : U \rightarrow g(U)$  è una par. locale compatibile, se la base  $d\varphi_t(v_i(t))$  è positiva, allora per continuità  $d\varphi_t(v_i(t'))$  è positiva

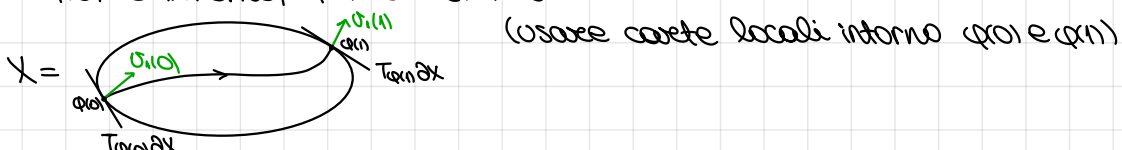
$\forall t' \in \text{intorno}(t)$ , e lo stesso vale se è negativa.

Dalla connessione di  $[0,1]$  segue il claim.

A meno di usare  $\varphi(1-t)$  al posto di  $\varphi$ , possiamo supporre:

$(v_1(t), \dots, v_m(t))$  base positiva di  $T_{\varphi(t)}X$   $\forall t \in [0,1]$

Eserc  $v_1(0)$  è interno,  $v_1(1)$  è esterno



Fissiamo base  $(v'_2, \dots, v'_m)$  di  $T_{\varphi(0)}X$  t.c.  $(dF_{\varphi(0)}(v'_i))_{i=2}^m$  è base positiva di  $T_y N$ .

La matrice del cambio di base  $(v_1(0), \dots, v_m(0)) \rightarrow (v_1(0), v'_2, \dots, v'_m)$  è data da

$$\begin{array}{ccccc} v_1(0) & v_2(0) & \cdots & v_m(0) \\ \hline v_1(0) & 1 & * & & \\ v_2 & 0 & & & \\ \vdots & & & B & \\ v_m & 0 & & & \end{array}$$

$\det B > 0$ , perché  $B$  è matrice del cambio di base  
 $(dF_{\varphi(0)}(v_i(0)))_{i=2}^m \longrightarrow (dF_{\varphi(0)}(v'_i))_{i=2}^m$   
entrambe basi positive di  $T_y N$ .

$\Rightarrow (v_1(0), v'_2, \dots, v'_m)$  base positiva di  $T_{\varphi(0)}X$

Ma  $dF_{\varphi(0)}|_{T_{\varphi(0)}X} = df_{\varphi(0)}$ ,  $f = F|_{\partial X}$

Poiché  $v_1(0)$  è interno,  $(v'_2, \dots, v'_m)$  base negativa di  $T_{\varphi(0)}X \Rightarrow \text{sgn}(df_{\varphi(0)}) = -1$ .

In  $\varphi(1)$  si fa lo stesso ragionamento, solo che  $v_1(1)$  è esterno,  
quindi  $\text{sgn}(df_{\varphi(1)}) = +1$ . Sommando su tutti gli indici ottieniamo

$$\deg(f, y) = \sum_{x \in f^{-1}(y)} \text{sgn}(df_x) = 0$$

□

**Lemma 2**

$M, N$  varietà orientate,  $\dim M = \dim N$ ,  $M$  chiuso

$F : [0,1] \times M \rightarrow N$  omotopia  $C^\infty$

$f(x) := F(x, 0)$ ,  $g(x) := F(x, 1)$   $\forall x \in M$

$y \in N$  valore regolare comune a  $f$  e  $g$ ,

allora  $\deg(f; y) = \deg(g; y)$ .

**DIMOSTRAZIONE**

La varietà  $[0,1] \times M$  è un prodotto, e quindi acquisisce  
un'orientazione da quelle di  $[0,1]$  e  $M$ .

Costruzione generale.  $V, V'$  spazi vettoriali con orientazioni  $O=[b], O'=[b']$ .  
L'orientazione prodotto su  $V \otimes V'$  è  $O \otimes O' := [(b, b')]$ , dove  
( $b, b'$ ) è la giustapposizione delle due basi.

Questa è una buona definizione (ex.)

Se  $M, M'$  sono varietà con orientazioni  $O^M, O^{M'}$ , è facile verificare  
che, poiché  $T_{(x,x')} M \times M' = T_x M \oplus T_{x'} M' \quad \forall (x,x') \in M \times M'$ ,  
su  $M \times M'$  è definita un'orientazione prodotto  $O^M \times O^{M'}$ ,  
tale che  $(O^M \times O^{M'})_{(x,x')} = O_x^M \times O_{x'}^{M'} \quad \forall (x,x') \in M \times M'$ .

Consideriamo quindi  $[0,1] \times M$  con l'orientazione prodotto di quella  
canonica su  $[0,1]$  con quella su  $M$  esistente per ipotesi.

Quindi se  $b$  è base positiva di  $T_x M$ , allora  $(1,b)$  è base positiva  
di  $T_{(t,x)} [0,1] \times M \quad \forall t \in [0,1]$ . Inoltre  $[0,1] \times M$  è varietà  
con bordo  $\partial([0,1] \times M) = \partial X \cup X \times M$ .

Determiniamo l'orientazione indotta sul bordo:

poiché  $(1,0) \in T_{(0,y)} ([0,1] \times M) = T_0 [0,1] \oplus T_y M$  è interno,  
mentre  $(1,0) \in T_{(1,y)} ([0,1] \times M) = T_1 [0,1] \oplus T_y M$  è esterno.  
Il bordo orientato è  $X \times M \cup \partial X$ .

Per quanto visto,  $\forall y' \in \text{intorno}(y)$ , abbiamo  
 $\deg(f; y') = \deg(f; y)$  e  $\deg(g; y') = \deg(g; y)$ .

Usando la densità dei valori regolari, posso supporre  
che  $y$  sia regolare anche per  $F$ .

Per il lemma 1, si ha  $\deg(F|_{\partial([0,1] \times M)}; y) = 0$

Poiché  $F|_{\partial X} = f$ ,  $F|_{X \times M} = g$ , tenendo conto delle  
orientazioni, questo implica  $\deg(F|_{\partial([0,1] \times M)}; y) = \deg(g; y) - \deg(f; y)$ ,  
quindi  $\deg(f; y) = \deg(g; y)$ . □

### Teorema

$M, N$  orientabili,  $\dim M = \dim N$ ,  $N$  chiusa,  $N$  connessa.

$f: M \rightarrow N \subset \infty$ ,  $y, z \in N$  valori regolari per  $f$ .

Allora  $\deg(f; y) = \deg(f; z)$

### DIMOSTRAZIONE

Per il lemma di omogeneità, esiste un diffuso  $h: N \rightarrow N$ ,  
 $h$  isotopo a  $\text{id}_N$ , tale che  $h(y) = z$ .

Consideriamo la mappa  $\psi: [0,1] \rightarrow \{\pm 1\}$ ,  $t \mapsto \varepsilon_t$ ,  
con  $(dh_t)_y (O_y^N) = \varepsilon_t O_{h_t(y)}^N$ , dove  $\{h_t\}$  è l'isotopia.

Notiamo che: (1)  $\psi(1) = +1$ ,

(2)  $\psi$  è localmente costante (si verifica uscendo per locali  
e il solito argomento di continuità con il determinante jacobiano)

(1), (2) e  $[0,1]$  connesso implicano

$$(dh_t)_y (O_y^N) = O_{h_t(y)}^N \quad \forall t \in [0,1]$$

In particolare:  $d_{hy}(0_y^*) = 0_z^*$ . Quindi  $\deg(f; y) = \deg(hof; z)$   
 chiaramente  $y$  è valore regolare per  $hof$ .

D'altra parte,  $z$  è regolare per  $f$  e  $f, hof$  sono  $C^\infty$ -omotope  
 tramite l'omotopia  $\{h_t of\}$ .

Quindi per il lemma 2  $\deg(hof; z) = \deg(f; z)$ . □

**Def.** Se  $f: M \rightarrow N$   $C^\infty$ ,  $M$  compatta,  $N$  connessa,  $\dim M = \dim N$   
 $y \in N$  valore regolare.

$$\deg(f) := \deg(f; y) \in \mathbb{Z}$$

**Oss** Se  $f$  è  $C^\infty$ -omotopa a  $g$ , allora  $\deg(f) = \deg(g)$   
 Infatti  $C = \text{Gr}(f) \subseteq M$  compatta è compatto, quindi  $f(C)$  è compatto  
 e quindi chiuso  $\Rightarrow$  l'inf. reg. di  $f|_Y = N, f(C)$  aperto  
 $\Rightarrow \exists y \in N, f(C)$  val. reg. per  $g$ , poi segue dal risultato precedente.

**Esempio**

- (1)  $c_{y_0}: M \rightarrow N$   $c_{y_0}(x) = y_0$ ,  $N \neq \{y_0\}$   
 $c_{y_0}'(y) = \emptyset$  se  $y \neq y_0 \Rightarrow \deg(c_{y_0}) = 0$
- (2)  $M = S^1 \Rightarrow \deg(\text{id}_{S^1}) = +1$   
 Se  $f: S^1 \rightarrow S^1$  è un diffeo di grado  $-1$ ,  
 allora  $f$  non è  $C^\infty$ -omotopa a una mappa costante né all'identità

**Esempio**  $S^1 = \{z \in \mathbb{C} \mid |z|^2 = 1\}$  è la 1-sfera

$f_k: S^1 \rightarrow S^1$   $k \in \mathbb{Z}$  :  $f_k$  è la restrizione di  $F_k: \mathbb{C} \xrightarrow{\frac{z}{2^k}} \mathbb{C}^\infty$

Se  $k=0$ ,  $f_0 = c_1 \Rightarrow \deg(f_0) = 0$

Sia ora  $k \neq 0$

Dimostriamo che 1 è valore regolare per  $f_k$

$(df_k)_1: T_1 S^1 \rightarrow T_1 S^1$

$$T_1 S^1 = (1, 0)^\perp = \text{Span}((i))$$

$$(df_k)_1(1) = (dF_k)_1(1) = \frac{d}{ds}|_{s=0} F_k(e^{is}) = \frac{d}{ds}|_{s=0} e^{ik} = ik$$

$$r: (-\varepsilon, \varepsilon) \xrightarrow{\frac{d}{ds}} \mathbb{C} \quad r(0) = i$$

$$\Rightarrow (df_k)_1 = k \cdot : T_1 S^1 \rightarrow T_1 S^1$$

$$f_k^{-1}(1) = \{z \in S^1 \mid z^k = 1\}$$

$$z \in f_k^{-1}(1) : z = e^{i\theta}$$

**Oss**  $\tilde{z} \cdot: S^1 \rightarrow S^1$   $C^\infty$ , rotazione di angolo  $\tilde{\theta}$

$$z \mapsto \tilde{z} \cdot z$$

diffemorfismo, isotopo a  $\text{id}_{S^1}$

$$S^1 \xrightarrow{\tilde{z} \cdot} S^1 \xrightarrow{f_k} S^1$$

$$z \mapsto \tilde{z} \cdot z \mapsto (\tilde{z} \cdot z)^k = \tilde{z}^k \cdot z^k = z^k = f_k(z) \Rightarrow f_k \circ \tilde{z} \cdot = f_k$$

$$(df_k)_{z=\tilde{z} \cdot} \circ d\tilde{z} \cdot = d(f_k \circ \tilde{z} \cdot)_z = (df_k)_z = k \cdot$$

$$\Rightarrow \text{sgn}(d\tilde{z} \cdot)_z = \text{sgn}(k \cdot) \quad \forall z \in f_k^{-1}(1)$$

Infatti 1 è valore reg. per  $f_k$

$$\Rightarrow \deg(f_k) = \deg(f_k; 1) = \sum_{z \in f_k^{-1}(1)} \text{sgn}(df_k)_z = \text{sgn}(k) \cdot |k| = k$$

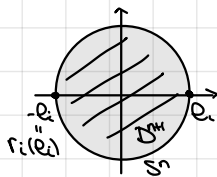
esempio  $A : S^n \rightarrow S^n$  mappa antipodale

$$(x_1, \dots, x_{n+1}) \mapsto (-x_1, \dots, -x_{n+1})$$

$r_i : S^n \rightarrow S^n$  i-esima riflessione,  $r_i^2 = \text{id}_{S^n}$  diffeo  
 $(x_1, \dots, x_{n+1}) \mapsto (x_1, \dots, -x_i, \dots, x_{n+1})$

$$A = r_i \circ \dots \circ r_{n+1} \implies \deg(A) = \deg(r_i) \cdot \dots \cdot \deg(r_{n+1})$$

Dobbiamo calcolare  $\text{sgn}(\text{dr}_i)$  in un punto di  $S^n$



$$S^n = \partial D^{n+1}$$

$$T_{e_i} S^n = Q_i^\perp = \underbrace{\text{Span}(e_1, \dots, \hat{e}_i, \dots, e_{n+1})}_{\text{base}} \cong \mathbb{R}^{n+1}$$

$$T_{-e_i} S^n = T_{e_i} S^n$$

$$r_i = \tilde{r}_i|_{S^n}, \tilde{r}_i : \mathbb{R}^{n+1} \xrightarrow{(x_1, \dots, x_{n+1}) \mapsto (x_1, \dots, -x_i, \dots, x_{n+1})}$$

$$\mathcal{Q}_{e_i}^{n+1} = \mathcal{Q}_0, \quad d\tilde{r}_i = \tilde{r}_i, \quad \text{matrice } \begin{pmatrix} 1 & 0 & \dots & 0 \\ 0 & 1 & \dots & 0 \\ \vdots & \vdots & \ddots & \vdots \\ 0 & 0 & \dots & 1 \end{pmatrix} \text{ ha det} = -1$$

$$\implies d\tilde{r}_i(\mathcal{Q}_0) = -\mathcal{Q}_0$$

$$dr_i = d\tilde{r}_i|_{T_{e_i} S^n} = e_i^\perp$$

$$\text{base di } T_{e_i} D^{n+1} : (e_i, e_1, \dots, \hat{e}_i, \dots, e_{n+1}) \xrightarrow[\text{vett. est.}]{} (-e_i, e_1, \dots, \hat{e}_i, \dots, e_{n+1}) \xrightarrow[\text{vett. est.}]{} \text{base di } T_{-e_i} D^{n+1}$$

Oss siccome  $\deg(dr_i|_{e_i}) = -1$ , solo una di queste due basi è positiva rispetto a  $\mathcal{Q}^{n+1}$

⇒ solo una delle due basi di bordo è positiva rispetto a  $\mathcal{Q}^n$

$$\implies \deg(r_i) = \text{sgn}((dr_i)_{e_i}) = -1$$

$$\implies \deg(A) = (-1)^{n+1}$$

$M \subseteq \mathbb{R}^k$  varietà

Un campo vettoriale tangente a  $M$  è una mappa  $C^\infty$ :

$$v : M \rightarrow \mathbb{R}^k \quad t.c. \quad v(x) \in T_x M \quad \forall x \in M$$

$$M = S^n \subseteq \mathbb{R}^{n+1} \quad v : S^n \rightarrow \mathbb{R}^{n+1} \quad C^\infty, \quad v(x) \cdot x = 0 \quad \forall x \in S^n$$

Esiste un campo vettoriale tangente su  $S^n$  con  $v(x) \neq 0 \quad \forall x \in S^n$ ?

Se  $n$  è dispari, sì:

$$v : S^n \rightarrow \mathbb{R}^{n+1=2k}$$

$$(x_1, x_2, \dots, x_{2k+1}, x_{2k}) \mapsto (x_2, -x_1, \dots, x_{2k}, -x_{2k-1}) \neq 0$$

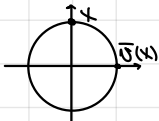
Se  $n$  è pari,  $\deg(A) = -1$

⇒ A non è  $C^\infty$ -omotopica a  $\text{id}_{S^n}$

Per assurdo, sia  $v : S^n \rightarrow \mathbb{R}^{n+1}$  campo vettoriale mai nullo.

Possò definire  $\bar{v}(x) = \frac{v(x)}{\|v(x)\|} : S^n \rightarrow S^n \quad C^\infty, \quad \bar{v}(x) \cdot x = 0$

Sia  $x \in S^n : S^n \cap \text{Span}(x, \bar{v}(x))$



$$F(x, \theta) := \cos(\pi\theta)x + \sin(\pi\theta)\bar{v}(x), \quad \theta \in [0, 1]$$

è omotopia  $C^\infty$  tra  $\text{id}_{S^n}$  e A

## Indici di campi vettoriali

**Def.** Un campo vettoriale è una funzione  $v: U \subseteq \mathbb{R}^m \longrightarrow \mathbb{R}^m \cup \infty$

**Esempio**  $U = \mathbb{R}^2$ ,  $v: \mathbb{R}^2 \longrightarrow \mathbb{R}^2$   
 $(x, y) \longmapsto (xy, x^2 - y^2)$

$z_0 \in U$  zero isolato di  $v$

$\exists \varepsilon > 0$  t.c.  $z_0 \in B_\varepsilon(z_0)$  è l'unico zero di  $v$  in  $B_\varepsilon(z_0)$ .

$\bar{v}_\varepsilon: \partial B_\varepsilon(z_0) \longrightarrow S^{m-1}$  è  $C^\infty$

$$x \longmapsto \frac{v(x)}{\|v(x)\|}$$

**Def.** L'indice di  $v$  in  $z_0$  è  $i(v, z_0) = \deg(\bar{v}_\varepsilon; z_0)$

Verifichiamo che se  $\varepsilon, \varepsilon' > 0$ , con  $\varepsilon' > \varepsilon$ , t.c.  $B_\varepsilon(z_0), B_{\varepsilon'}(z_0)$  hanno le proprietà richieste, allora  $\deg(\bar{v}_\varepsilon) = \deg(\bar{v}_{\varepsilon'})$

$$\begin{array}{ccccc} \Sigma_t = t\varepsilon + (1-t)\varepsilon' & & & & \\ \mathbb{S}^{m-1} & \xrightarrow[\cong]{\psi_\varepsilon} & \partial B_\varepsilon(z_0) & \xrightarrow{\bar{v}_\varepsilon} & \mathbb{S}^{m-1} \\ x & \longmapsto & z_0 + \varepsilon x & \longmapsto & \frac{v(x)}{\|v(x)\|} \end{array}$$

$\psi_\varepsilon$  diffeo  $\Rightarrow$  conserva l'orientazione

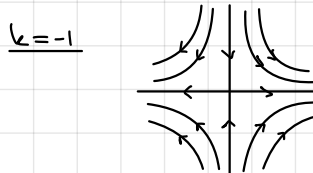
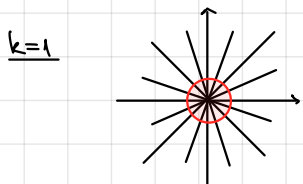
$$i(v, z_0) = \deg(\bar{v}_\varepsilon) = \deg(\bar{v}_\varepsilon \circ \psi_\varepsilon)$$

$\{\bar{v}_{\varepsilon_t} \circ \psi_{\varepsilon_t}\}_{t \in [0,1]}$  è un'omotopia  $C^\infty$  da  $\bar{v}_{\varepsilon'} \circ \psi_\varepsilon'$  a  $\bar{v}_\varepsilon \circ \psi_\varepsilon$

$$\Rightarrow \deg(\bar{v}_\varepsilon) = \deg(\bar{v}_\varepsilon \circ \psi_\varepsilon) = \deg(\bar{v}_{\varepsilon'} \circ \psi_\varepsilon) = \deg(\bar{v}_{\varepsilon'})$$

**Esempio**  $F_k: \mathbb{C} \longrightarrow \mathbb{C}$   $C^\infty$ ,  $k \neq 0$ .  
 $z \longmapsto z^k$

è un campo vettoriale con  $0 \in \mathbb{C}$  come zero isolato



$$\begin{aligned} i(F_k, 0) &= \deg \left( \frac{F_k(z)}{\|F_k(z)\|} \Big|_{\partial B_\varepsilon(0)} \right) = \deg (\bar{F}_k|_{\partial B_\varepsilon(0)} \circ \psi_\varepsilon : \mathbb{S}^1 \longrightarrow \mathbb{S}^1) \\ &\stackrel{\bar{F}_k \text{ diffeo}}{=} \deg (f_k : \mathbb{S}^1 \longrightarrow \mathbb{S}^1) = k \end{aligned}$$

Campo tangente su  $M \subseteq \mathbb{R}^k$  è  $v: M \longrightarrow \mathbb{R}^k$ ,  $v(x) \in T_x M$

Sia  $z_0 \in M$  uno zero isolato di  $v$

$h: U \longrightarrow h(U) \subseteq M$  cartella locale intorno a  $z_0$ .

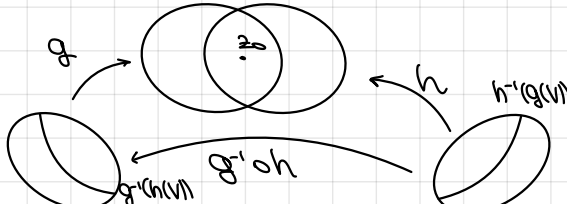
$$u \in U, dh_u: \mathbb{R}^m \xrightarrow{\sim} T_{h(u)} M$$

$$\xi(u) = dh_u^{-1}(v(h(u))) \quad \text{dove } \xi := dh^{-1} \circ v \circ h$$

**DEF.** L'indice di  $v$  in  $z_0$  è  $i(v, z_0) := i(\xi, u_0)$ , dove  $h: U \rightarrow h(U)$  curva locale intorno a  $z_0$  con  $h(u_0) = z_0$ .

**FATTO**  $i(v, z_0)$  non dipende da  $h$

$w: M \rightarrow \mathbb{R}^k$ ,  $M = \mathbb{R}^k$ ,  $z_0 \in M$  zero isolato di  $w$   
 $g: U \rightarrow g(U) \subseteq M$ ,  $g(u_0) = z_0$  par. locale  
 $i(w, z_0) = i(\xi, u_0)$  dove  $d\varphi(\xi(u)) = w(g(u))$



$\xi, \eta$  si corrispondono tramite  $g'oh$   
(dalle proprietà del differenziale)

La buona definizione di  $i(w, z_0)$  segue da  $i(\xi, u_0) = i(\eta, v_0)$ ,  
assumendo che  $Q: V \xrightarrow{\sim} U$ ,  $d\varphi_Q(\eta(v)) = \xi(Q(v))$   
 $Q(v_0) = u_0$

1° passo: tramite traslazioni, si può supporre che  $u_0 = v_0 = 0$

2° passo:  $Q$  è omotopo a  $d\varphi_Q$

3° passo: si conclude che  $i(\xi, u_0) = i(\eta, v_0)$

Per il 2° passo:  $F(x, t) = \begin{cases} \frac{Q(x,t)}{t} & t > 0 \\ d\varphi_Q(x) & t = 0 \end{cases}$  omotopia  
si scrive, intorno a 0,  $Q$  così:

$$Q(x) = x_1 q_1(x) + x_2 q_2(x) + \dots + x_m q_m(x) \quad \text{con } q_i \in C^\infty, q_i(0) = \frac{\partial Q}{\partial x_i}(0)$$

$$\Rightarrow \frac{Q(tx)}{t} = x_1 q_1(tx) + \dots + x_m q_m(tx) \xrightarrow{t \rightarrow 0} x_1 q_1(0) + \dots + x_m q_m(0) = d\varphi_Q(x)$$

La formula segue da:

$$Q(x_1, \dots, x_m) = Q(x_1, \dots, x_m) - Q(x_1, \dots, x_{m-1}, 0) + Q(x_1, \dots, x_{m-1}, 0) - Q(x_1, \dots, x_{m-2}, 0, 0) + Q(x_1, \dots, x_{m-2}, 0, 0) \dots$$

$$\text{dove } Q(t) = \sum_{i=1}^m Q(x_1, \dots, tx_i, 0, \dots, 0)|_{t=0} = \sum_{i=1}^m x_i \underbrace{\int_0^1 \frac{\partial Q}{\partial x_i}(x_1, \dots, tx_i, 0, \dots, 0) dt}_{q_i(x)} = \sum_{i=1}^m x_i \cdot q_i(x)$$

$$\text{con } q_i(0) = \frac{\partial Q}{\partial x_i}(0)$$

**Def.** Un **m-simplesso**  $\Delta^{(m)}$  in  $\mathbb{R}^k$  ( $k \geq m$ ) è l'inviluppo convesso di  $m+1$  punti  $P_0, \dots, P_m$  affinamente indipendenti:  

$$\Delta^{(m)} = \left\{ \sum_{i=0}^m t_i P_i \mid 0 \leq t_i \leq 1, \sum_{i=0}^m t_i = 1 \right\} \subseteq \mathbb{R}^k$$

Una **faccia** di un **m-simplesso**  $\Delta^{(m)}$  è il simplexo ottenuto come inviluppo convesso dei punti di qualche sottoinsieme di  $\{P_0, \dots, P_m\}$ .  
Un **complejo simpliciale**  $C \subseteq \mathbb{R}^k$  è unione di simplexi che, a due a due, si intersecano nell'insieme vuoto o in una faccia.

**C** complejo finito

$$S_i(C) = \# i\text{-simplexi di } C$$

$$\chi(C) = \sum_{i=0} (-1)^i S_i(C)$$

FATTO Se  $M \subseteq \mathbb{R}^k$  è una varietà compatta (anche con bordo), allora  $M \cong C$  complejo simpliciale  
 $\xrightarrow{\text{anotopicamente equivalente}}$

**Def.** Se  $M \cong C$  complejo simpliciale finito, la **caratteristica di Euler** di  $M$  è  $\chi(M) := \chi(C)$

**Teorema di Poincaré-Hopf**

$M \subseteq \mathbb{R}^k$  varietà compatta con bordo (anche  $\partial M = \emptyset$ ).  
 $v: M \rightarrow \mathbb{R}^k$  campo vettoriale t.c.  $v(x)$  esterno  $\forall x \in \partial M$  e  $v$  ha un numero finito di zeri.  
Allora  $\chi(M) = \sum_{z \in v^{-1}(0)} i(v, z)$

**Def.**  $U \subseteq \mathbb{R}^m$  aperto,  $v: U \rightarrow \mathbb{R}^m$  campo vettoriale  
 $z_0$  zero di  $v$  si dice **non degenero** se  $Dv_{z_0}$  è non singolare

Oss.  $z_0$  è necessariamente isolato.

FATTO  $v: U \subseteq \mathbb{R}^m \rightarrow \mathbb{R}^m$  campo vettoriale,  $z_0 \in U$  zero isolato  
 Allora  $i(v, z_0) = \begin{cases} +1 & \text{se } \det(dv_{z_0}) > 0 \\ -1 & \text{se } \det(dv_{z_0}) < 0 \end{cases}$

**Lemma**  $v: M \rightarrow \mathbb{R}^k$  campo vettoriale,  $M \subseteq \mathbb{R}^k$  m-varietà,  $v(z_0) = 0, z_0 \in M$   
 Allora  $Dv_{z_0}(T_{z_0}M) \subseteq T_{z_0}M$ .  
 Inoltre  $i(v, z_0) = \begin{cases} 1 & \text{se } \det(Dv_{z_0}) > 0 \\ -1 & \text{se } \det(Dv_{z_0}) < 0 \end{cases}$

**DIMOSTRAZIONE**

Sia  $h: U \rightarrow h(U)$  param. locale intorno a  $z_0 = h(u_0) \in M$

$T_{u_0}U = \mathbb{R}^m$  {e<sub>j</sub>} base canonica,  $t_j = dh_{u_0}(e_j)$

$T_{z_0}M = \text{Span}(t_1, \dots, t_m)$

$Dv_{z_0}(t_j) \in T_{z_0}M$

$\xi = dh^{-1} \circ v \circ h : dh_u \xi(u) = v(h(u)) \quad \forall u \in U, \xi(u_0) = 0$

$\xi: U \rightarrow \mathbb{R}^m, \xi(u) = \sum_{j=1}^m a_j(u) e_j$

$$\begin{aligned} Dv_{z_0}(dh_{u_0}(e_i)) &= (Dv_{z_0} \circ Dh_{u_0})(e_i) = D(v \circ h)_{u_0}(e_i) = D(Dh \circ \xi)_{u_0}(e_i) = \\ &= D\left(\sum_{j=1}^m a_j(u) Dh_u(e_j)\right)_{u_0}(e_i) = \frac{\partial}{\partial u_i}|_{u=u_0} \left(\sum_{j=1}^m a_j(u) Dh_u(e_j)\right)_{a_j(u_0)=0} = \sum_{j=1}^m \frac{\partial a_j}{\partial u_i}(u_0) \underbrace{Dh_{u_0}(e_j)}_{t_j} \in T_{z_0}M \end{aligned}$$

$\Rightarrow \left(\frac{\partial a_j}{\partial u_i}(u_0)\right)$  è la matrice di  $Dv_{z_0}: T_{z_0}M \rightarrow T_{z_0}M$

$$\Rightarrow \det(Dv_{z_0}) = \det\left(\frac{\partial a_j}{\partial u_i}(u_0)\right) = \det(D\xi_{u_0})$$

da cui si conclude per il fatto sopra □

**ESEMPIO** Calcolo di  $\chi(S^m)$  tramite Poincaré-Hopf

$S^m \subseteq \mathbb{R}^{m+1}$ ,  $p \in S^m$  fissato.

Poniamo  $v: J^m \rightarrow \mathbb{R}^{m+1}$  campo vettoriale  
 $x \mapsto p - (p \cdot x)x$

•  $v$  è un campo tangente:  $\forall x \in S^m \quad v(x) \cdot x = p \cdot x - (p \cdot x)x \cdot x = 0$

•  $v(x) = 0 \iff p = (p \cdot x)x \iff 1 = p \cdot p = (p \cdot x)^2 \iff p \cdot x = \pm 1 \iff x = \pm p$

{zeri di  $v$ } = { $p, -p$ }

$$dv_{\pm p}(\xi) = \lim_{t \rightarrow 0} \frac{v(\pm p + t\xi) - v(\pm p)}{t} = \lim_{t \rightarrow 0} \frac{p - (p \cdot (\pm p + t\xi))(\pm p + t\xi)}{t} =$$

$$= \lim_{t \rightarrow 0} \frac{p \mp (\pm p + t\xi)}{t} = \lim_{t \rightarrow 0} \frac{\mp t\xi}{t} = \mp \xi$$

$$\Rightarrow dv_p = -id_{T_p S^m}, dv_{-p} = id_{T_{-p} S^m}$$

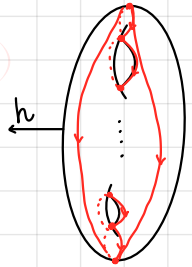
$$i(v, p) = \det(-id_{T_p S^m}) = (-1)^m$$

$$i(v, -p) = \det(id_{T_{-p} S^m}) = 1$$

$$\chi(S^m) = i(v, p) + i(v, -p) = 1 + (-1)^m = \begin{cases} 2 & \text{se } m \text{ è pari} \\ 0 & \text{se } m \text{ è dispari} \end{cases}$$

**OSS** (1) Sapremo che su  $S^m$ ,  $m$  dispari, esistono campi vettoriali mai nulli  
 Quindi il Teo. di Poincaré-Hopf diceva già che  $\chi(S^m) = 0$

(2) Il Teo. di Poincaré-Hopf e  $\chi(S^{2k}) = 2$  implica che non esistono campi tangenti mai nulli.

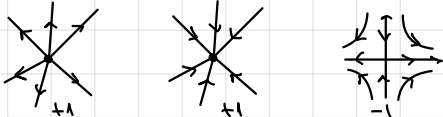


$$= \sum_g \chi(\Sigma_g) = 2 - 2g$$

$$\chi(\Sigma_g) = \sum_{p \in \pi^{-1}(0)} i(w, p)$$

$$h: \Sigma_g \rightarrow \mathbb{R}$$

$\nabla h_x$  = "duale" di  $dh_x$ :  $\langle \nabla h_x, \xi \rangle := dh_x(\xi)$ ,  $\xi \in T_x \Sigma_g$



Lemma  
di HOPF

$U \subseteq \mathbb{R}^m$  varietà con bordo compatto,  $w: U \rightarrow \mathbb{R}^m$  campo vettoriale con  $w|_{\partial U} \neq 0$  e con zeri isolati.

$$\text{Allora } \sum_{z \in w^{-1}(0)} i(w, z) = \deg\left(\frac{w}{\|w\|}: \partial U \rightarrow S^{m-1}\right)$$

#### DIMOSTRAZIONE

$W := \overline{U \setminus \cup \text{palle disgiunte intorno agli zeri di } w}$  varietà con bordo

$$\bar{w}: W \rightarrow S^{m-1}$$

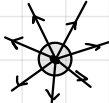
$$x \mapsto \frac{w(x)}{\|w(x)\|}$$

Sappiamo che  $\deg(\bar{w}|_{\partial W}) = 0$

$$\text{ma } \deg(\bar{w}|_{\partial W}) = \deg(\bar{w}|_{\partial U}) + \sum_{z \in w^{-1}(0)} \underbrace{\deg(\bar{w}|_{\partial B_{\varepsilon}(z)})}_{-i(w, z)}$$

□

#### ESEMPIO

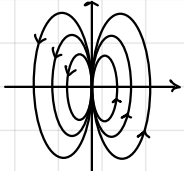


$$\begin{matrix} \mathbb{C} & \longrightarrow & \mathbb{C} \\ z & \mapsto & z \end{matrix}$$

$$i(w, 0) = +1 = \chi(D^2)$$

$$\deg\left(\frac{w}{\|w\|}|_{\partial D^2}\right)$$

$$\begin{matrix} \mathbb{C} & \longrightarrow & \mathbb{C} \\ z & \mapsto & z^2 \end{matrix}$$



**Teorema fondamentale dell'algebra**

Sia  $p(z) \in \mathbb{C}[z]$ , allora

$$\deg(p) = \sum_{z \in p^{-1}(0)} \text{mult}(p, z)$$

### DIMOSTRAZIONE

$p: \mathbb{C} \xrightarrow{z \mapsto p(z)}$  campo vettoriale con radici di  $p=0$  del campo  
l'enunciato seguirà dai fatti seguenti:

- (1)  $\forall z_0 \in p^{-1}(0) \quad \text{mult}(p, z_0) = i(p, z_0)$
- (2)  $\deg\left(\frac{p(z)}{\|p(z)\|} \Big| \partial B_r(0) \rightarrow S'\right) = \deg(p)$
- (3)  $\exists z_0 \in p^{-1}(0) : p(z) = (z-z_0)^l q(z)$  con  $q(z_0) \neq 0$ ,  $l = \text{mult}(p, z_0)$

$$i(p, z_0) = \deg\left(\frac{p(z)}{\|p(z)\|} \Big| \partial B_\varepsilon(z_0) \rightarrow S'\right)$$

$$g: S' \xrightarrow{\frac{p(z)}{\|p(z)\|}} \partial B_\varepsilon(z_0) \xrightarrow{\frac{p(z)}{\|p(z)\|}} S' \Rightarrow \deg(p) = \deg(p \circ g)$$

g diffeo che conserva l'orientazione

$$h(z) = \overline{p}(q(z)) = \overline{p}(z_0 + \varepsilon z) = \frac{(\varepsilon z)^l q(z_0 + \varepsilon z)}{\varepsilon^l |z|^l |q(z_0 + \varepsilon z)|}$$

$$h_t(z) = \frac{z^l q(z_0 + t\varepsilon z)}{|q(z_0 + t\varepsilon z)|} \text{ omotopia da } h_0 \text{ a } h, \text{ con } h_0(z) = \Omega^\infty z^l, \Omega^\infty := \frac{q(z_0)}{|q(z_0)|}$$

$$\deg(h) = \deg(h_0)$$

$$\begin{array}{ccc} S' & \xrightarrow{\quad} & S' \\ z \mapsto & & z \mapsto \\ z^l & \xrightarrow{\quad} & z^{l+1} \end{array} \text{ diffeo iso a id}$$

$$\Rightarrow \deg(p) = \deg(z \mapsto z^l)$$

$$(2) \deg\left(\frac{p}{\|p\|} \Big| \partial B_r(0)\right) = \sum_{z \in p^{-1}(0)} \underset{\substack{\text{dimostr} \\ \text{di Hopf}}}{i(p, z)} = \sum_{z \in p^{-1}(0)} \text{mult}(p, z)$$

$$p(z) = a_n z^n + \underbrace{a_{n-1} z^{n-1} + \dots + a_1 z + a_0}_{g(z) := p(z) - a_n z^n}, a_n \neq 0, \text{ cioè } n = \deg p$$

$$p_t(z) = a_n z^n + (1-t)g(z) \quad t \in [0, 1]$$

$$\frac{p_t(z)}{z^n} = a_n + (1-t) \frac{g(z)}{z^n} \quad \left| \frac{g(z)}{z^n} \right| \xrightarrow{|z| \rightarrow \infty} 0$$

$$\left| \frac{p_t(z)}{z^n} \right|_{\partial B_r(0)} \geq |a_n| - \left| \frac{(1-t)g(z)}{z^n} \right| > 0 \text{ per } r \gg 0$$

$$\frac{p_t(z)}{\|p_t(z)\|} \Big| \partial B_r(0) \quad \text{omotopia da } \frac{p(z)}{\|p(z)\|} \text{ a } \frac{p_0(z)}{\|p_0(z)\|}$$

$$\text{Basta: } n = \deg(z \mapsto \frac{p(z)}{\|p(z)\|})$$

$$\frac{p_0(z)}{\|p_0(z)\|} = \frac{a_n}{|a_n|} \frac{z^n}{|z^n|} \Rightarrow \deg\left(\frac{p_0}{\|p_0\|} \Big| \partial B_r(0)\right) = \deg\left(\frac{z^n}{|z^n|} \Big| \partial B_r(0)\right) = i(z^n, 0) = n$$